

B.I.G

226

ghh86

INSTITUTUL GEOLOGIC

DĂRI DE SEAMĂ  
ALE  
ŞEDINȚELOR

VOL. LIX

1972

2. ZĂCĂMINTE

ghh86

BUCUREŞTI  
1973



Institutul Geologic al României



Institutul Geologic al României





Institutul Geologic al României

INSTITUTUL GEOLOGIC

DĂRI DE SEAMĂ

A L E  
ŞEDINTELOR  
VOL. LIX  
(1972)

2. ZĂCĂMINTE

93486

BUCUREŞTI  
1973



Institutul Geologic al României



## 2. ZĂCĂMINTE

### ZONALITATEA GEOCHIMICĂ A ELEMENTELOR MAJORE ÎN ZĂCĂMÎNTUL DE SULFURI METALICE ȘI MAGNETITĂ DE LA ALTÎN TEPE (DOBROGEA CENTRALĂ)<sup>1</sup>

DE

ANDREI GURĂU<sup>2</sup>

#### Abstract

**Geochemical Study of Major Elements of the Polymetallic Sulphides and Magnetite from the Altin Tepe Locality.** These elements have evidenced in the ore lenses a mineralization showing a zinc-cupriferous or copper-zinkiferous character, a zonary geochemical (concentrical) distribution of Cu and Zn in cross-section on the ore bodies; likewise negative or close to zero correlations among Cu, Zn, Pb, at the level of upper horizons, and median and positive ones along the dip of lenses at the lower horizons. The results of the geochemical study correlated with the structural micro-tectonic ones and the morphology of ore bodies are pleading in the favour of some post-metamorphic metasomatic hydrothermal mineralizations, which had formed mostly along (hol) fractures, and  $S_1$  surfaces when geochemical differentiation processes of major elements had also occurred.

Zăcămîntul de sulfuri metalice și magnetită de la Altîn-Tepe (dealul de aur) a constituit obiectul a numeroase cercetări îndreptate în scopul cunoașterii raportului mineralizației cu rocile înconjurătoare, metamorfismul și magmatismul, în vederea studierii caracteristicilor structurale și genetice ale zăcămîntului — elemente de bază pentru orientarea lînerărilor de prospecție — explorare în extindere și stabilirea metodologiei de cercetare.

Plecind de la premiza cunoscută că legile de distribuție ale elementelor sulfofile în zăcămîntele polimetalice reflectă modul lor de formare, lucrarea

<sup>1</sup> Comunicare în ședință din 26 mai 1972

<sup>2</sup> Întreprinderea geologică de prospecție (I.G.P.), Calea Griviței nr. 64, București.



de față își propune studierea geo chimiei elementelor majore atât prin metoda interpolării valorilor procentuale (a Zn și Cu), în lucrările de la nivelul orizonturilor de bază, cât și interpretarea conținuturilor de Zn, Cu, Pb, Au, S pe baze statistico-matematice (chimico-statistice). De asemenea, prin corelarea cu studiul microtectonic se va căuta o nouă explicație asupra raportului dintre mineralizație, tectonică, metamorfism și magmatism.

Din cercetările anterioare se știe că zăcământul de la Altin-Tepe este format dintr-un număr de 5-6 lentele stratiforme (!) cu lungimi (pe inclinare) în jur de 1000 m, lățimi cuprinse între 50-120 m și grosimi între 1-18 m. Aceste lentele sunt dispuse cîșalonat pe o direcție generală ESE-WNW. Înclinarea generală a lentelelor este cuprinsă între 25-50° către SSE (Gurău, 1956, 1969). Lentele sunt paralele atât între ele cât și cu axele de cutie (axele B) sau liniații  $b_1$  (fig. 1; pl. I, fig. 1). Lentilele de mineral compact (pl. I fig. 2) sunt localizate într-o zonă de sisturi cristaline epimetamorfice (faciesul sisturilor verzi) după Cosma et al. (1958) și Mureșan (1969), sau sisturi cristaline mezometamorfice (faciesul almandin amfibolitic) retromorfozate Ianovici, Gingea, (1961) reprezentate prin sisturi cristaline cuarțitice clorito-sericitoase. Cloritizarea biotitului și granaților, tremolitizarea hornblendei ca și sericitizarea silicătilor de aluminiu prezintă după Giuşcă et al. (1967) indici ai retromorfismului sisturilor mezometamorfice.

Din cercetările petrografice pe care le-am efectuat în 1970 rezultă o situație mai complicată a petrografia și structurii zăcământului. În mai multe secțiuni subțiri făcute pe eșantioane colectate din aflorimentele zonelor de oxidație ale lentelelor I, III și de la dinamitiera nouă au fost evidențiate intercalări de metagrauwacke cu sisturile retromorfozate alterate hidrotermal. Compoziția mineralologică a metagrauwackelor (pl. I, fig. 3) intercalate este următoarea: cuarț: 25-55% (0,05-0,60 mm), feldspat potasic 25-30% (0,05-0,45 mm), plagioclaz: 5-7% (0,05-0,35 mm), muscovit + sericit 6%, clorit ~ 5%, granați 2%, limonit 3%, apatit < 0,1% (0,02-0,15 mm), fragmente de cuarțite ~ 10% (în unele secțiuni), masa fundamentală (matricea) cuarț, sericit, clorit ~ 35%.

Cuarțul se prezintă în granule xenomorfe de origine metamorfică, are extincție ondulatorie și în cea mai mare parte apare corodat.

Feldspatul potasic apare în cristale cu frecvențe incluzioni de sericit, are contur neregulat și este adesea corodat.

Feldspatul plagioclaz (albitul) apare în cristale maclate polisintetic după legea albitului, prezintă rare incluziuni de sericit și fenomene de coroziune.

Muscovitul apare asociat cu sericitul și cloritul în matricea rocii.

Granații apar în cristale rotunjite în matricea rocii, adesea fiind fisurați.

Apatitul se prezintă sub formă de cristale prismatice rotunjite.

Fragmentele de cuarț sunt constituite din cuarț metamorfic corodat, adesea asociat cu feldspat plagioclaz.

Structura rocii este granulară sau blastopsamitică, iar textura șistosă. În unele secțiuni s-a observat prezența sporadică a zirconului, sfenului și a piritei limonizate (în zona pălăriei de fier de la dinamitiera nouă). În zona zăcamintului aceste intercalații de roci se prezintă sub forma șisturilor cuarțitice sericitoase + clorit pe biotit, cu aspect de metagrauwacke structură granolepidoblastică și textură șistosă.

Astfel de intercalații în șisturile alterate au fost identificate și în galeriile de la orizonturile: — 210 m (cca 70 m sud de lenta I), orizontul — 400 m la cca 50 m sud-vest și la 100 m est de lenta I, la 5—13 m est de lenta II, orizontul — 170 m, orizontul — 350 m cca 5 m est de lenta I.

Prezența unor intercalații de roci slab metamorfozate cu alterații hidrotermale și impregnații slabe de sulfuri în apropierea lentilelor de minereu constituie un indiciu care ar pleda în favoarea unor mineralizații epigenetice. În limita lentilelor, mineralizația de sulfuri și magnetită se dezvoltă pe fracturi hol și în jurul acestora concordant cu șistoziata de stratificație, prezintându-se atât sub formă compactă cât și de impregnație sau șistosă.

Din punct de vedere mineralologic s-au putut separa pe înclinarea lentilelor o zonă de oxidație cu o grosime de aproximativ 50—60 m urmată de o zonă de cimentație care se extinde pe înclinare pînă la orizontul —250 m de unde se face trecerea spre zona cu minereu primar (fig. 1).

În zona de oxidație se dezvoltă: limonitul, malachitul, azuritul, cupritul, magnetitul. Pastriciu (1933) a descris pentru prima dată ziegelberzul, un amestec pămîntos constituit din cuprit și limonit. Grosimea relativ mare a zonei de oxidație și circulația intensă a apelor explică concentrația ridicată a cuprului și zincului în apele de zăcamint (cca 0,70—0,90 g/l). În zona de cimentație sunt prezente: pirita, melanteritul (descris de Nițulescu et al. 1967), caleozina, covelină, cuprul nativ

(acesta s-a găsit la orizontul -125 (+192 m), magnetitul, calcanitul (descriș tot de N i ț u l e s c u et al. 1967), galena, blenda.

În zona de minereu primar predomină pirita aproape (45–50%) magnetitul, cca 20%, urmată de calcopirită, blendă, galenă, pirotină,

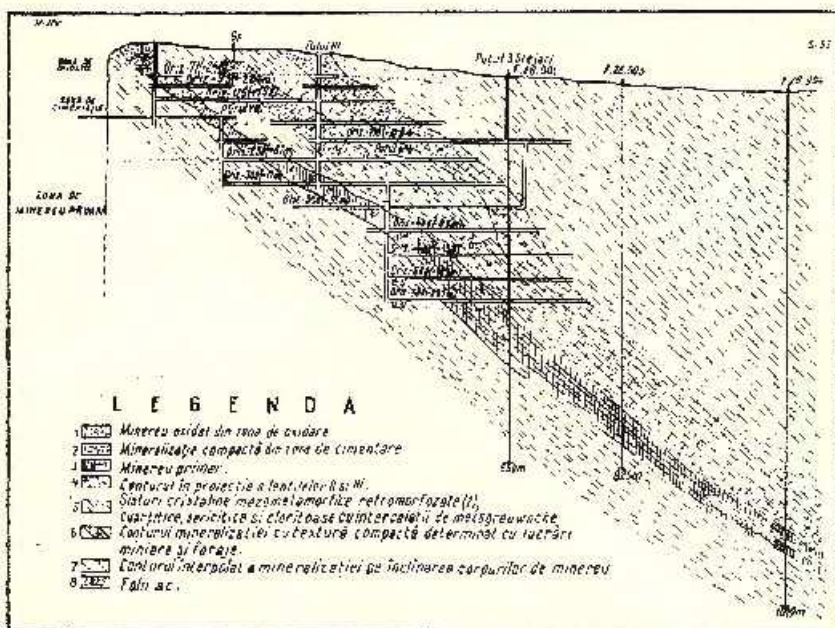


Fig. 1. — Secțiune longitudinală prin zăcămîntul Altin Tepe.

1. minereu oxidat din zona de oxidație; 2. minereul său compacț din zona de cimentare; 3. minereu primar; 4. contururi și proiecția lantilor II și III; 5. schisturi cristaline mezoamfibolice retrotransformate (quartzitice, sericitice și cloritice); 6. conturul subteranării cu textură compacță determinat de lucările miniere și forajele; 7. conturul interpolat a minerației pe înclinarea corpurilor de minerale; 8. fâșii „ac”.

#### Coupe longitudinale à travers le gisement de Altin Tepe.

1. minéral oxydé de la zone d'oxydation; 2. minéralisation compacte de la zone de cimentation; 3. minéral primaire; 4. contours et projection des lentilles II et III; 5. schistes cristallins mésoamfiboliques rétrotransformés (quartzites, sericitites et chlorites); 6. contour de la minéralisation à texture compacte résultant de l'évidence par des travaux miniers et par forages; 7. contour interpolé de la minéralisation en direction du pourage des corps de minéral; 8. failles „ac”.

oligist, bornit, calcozină și covelină. Ca minerale de gangă predomină enartul și baritina în proporție de cca 20%.

Asupra modului de formare a zăcămîntului se cunosc următoarele ipoteze: ipoteza injecției metalice (P a s c u 1907), potrivit căreia minerația ar reprezenta un diferențiat magmatic care s-a introdus în stare fluidă și a umplut spațiile libere din sisturi; ipoteza genezei mixte (C o ă n a r-

că, Petruțian, 1948)<sup>3</sup>. Potrivit acestei ipoteze, pirita și magnetitul ar avea origine sedimentară, iar sulfurile de Cu, Zn, Pb să fie depus din soluții hidrotermale generate de porfirele cuaițifere care apar pe aliniamentul fracturii Peceneaga – Camena; ipoteza sedimentară (Gheorghiu, 1958); ipoteza vulcanogen-sedimentară (Mureșan, 1969); ipoteza hidrotermal-sedimentară (Gurău, 1969). Ianovici et al. (1971) în urma cercetărilor chimico-statistice consideră că geneza mineralizației compacte este mixtă – vulcanogen-sedimentară – peste care s-au suprapus procese hidrotermale care au dat naștere la mineralizația de impregnație Motăș (1913). Patriciu, 1933<sup>4</sup>, Bujor (1936), Nitulescu et al. (1967), Socolescu<sup>5</sup> au considerat că zăcamintul Altin-Tepe are origine hidrotermală postmetamorfică.

#### I. STUDIUL GEOCHIMIC AL ELEMENTELOR MAJORE

##### A). Zonalitatea geochemicală a Zn și Cu, în corpurile de minereu

În vederea studierii modului de repartiție a Zn și Cu (principalele elemente metalice în zăcamint) s-a procedat la construirea (la nivelul orizonturilor de bază) a izolinilor valorilor izoprocentuale a conținuturilor de Zn și Cu cuprinse între 0–1–3–2–4–5–6–7–% pe lentele I, II, III, IV în exploatare. Pentru aceasta s-au folosit rezultatele analizelor chimice din raportul geologic al minei cu situația rezervelor<sup>6</sup>. Pentru studierea caracteristicilor distribuției Zn, Cu și Pb s-au folosit metoda statistică matematică.

**1. Repartiția zincului.** Repartiția acestui element în zăcamint s-a studiat numai la nivelul orizontului –450 (–133) al lentei I (pl. III A). Din figură rezultă că Zn are o distribuție zonată concentrică cu zonele mai bogate în partea de mijloc a lentei. În același timp se mai observă o tendință de concentrare a Zn în partea sudică a lentei.

<sup>3</sup> A.I. Codareea, N. Petruțian. Zăcamintul de pirită cupriferă de la Altin Tepe, 1948. Arh. Inst. Geol. București.

<sup>4</sup> În prezent V. Patriciu susține ipoteza vulcanogen-sedimentară (comunicare verbală).

<sup>5</sup> Comunicare verbală.

<sup>6</sup> Elena Dumitru, C. Munteanu, N. Pirvu. Raport geologic cu situația rezervelor de pirită cupriferă și rocă impregnată cu pirită de la zăcamintul Altin Tepe la 1.I.1971. 1971, Arh. M.M.P.G. București.

**2. Repartiția cuprului.** Repartiția cuprului s-a studiat pe lentilele I, II, III, IV (pl. III A,B,C,D ; pl. IV A,B,C,D ; pl. V A, B).

*Lentila I.* S-au întocmit izolinii de contur la nivelul orizonturilor -450 (-133), -500 (-183) și -550 (-223). Din analiza figurilor A,B,C,D din planșa III, se observă după suprafetele hașurate că zonele cu conținuturi mai bogate în Cu ocupă partea centrală (mijlocie) a lentilei în care loc și grosimea este mai mare. Zonele cu conținuturi mai scăzute se găsesc la periferia lentilei.

Forma zonelor cu valori egale a conținuturilor în Cu este concentrică, alungită paralel cu pereții lentilei. Fenomenul de zonalitate concentrică (transversală pe grosimea lentilci) este mai evident la mijlocul lentilei. La extremități, unde și grosimea acesteia este mai mică, se observă în unele cazuri o creștere a conținutului în Cu, deși și aici se poate sesiza aceeași regulă a distribuției cind zonele mai bogate sunt înconjurate de zone cu conținuturi mai scăzute (pl. III B,C,D). Făcând o paraleлизare a distribuției Zn și Cu la nivelul orizontului -450 se constată că zonele cele mai bogate în Zn nu se suprapun cu zonele cele mai bogate în Cu, în timp ce zonele cu conținuturi mai reduse în Cu și Zn, dar egale ca valoare, aproape coinează.

Din aceste date ar rezulta că între Cu și Zn există o legătură genetică în cea mai mare parte. Nesuprapunerea zonelor mai bogate în Cu cu cele mai bogate în Zn s-ar putea explica fie prin fenomenul de pulsărie (dar în acest caz n-ar mai fi posibilă zonalitatea), fie o consecință a proceselor de diferențiere geochemicală în soluții hidrotermale, ceea ce ar fi mai plauzibil în cazul unei singure pulsări (fază de mineralizare cu sulfuri).

Diagrama ternară a Cu, Zn, Pb (fig. 2a) arată că mineralizația din lentila I are caracter complex de tip zinco-cuprifer, deoarece în porțiunea studiată cuprinsă între orizonturile -450 și -550, conținutul de Zn este cu ceva mai ridicat față de cel de Cu.

Pentru studiul variației cuprului pe inclinarea lentilei, s-a întocmit diagrama din fig. 2 b. Din această figură se observă că în zona cu minereu primar, pe o lungime de peste 300 m, pe inclinarea lentilei, nu se observă o variație vizibilă a cuprului, care se menține în cadrul unor limite constante. Cum e și firesc în zona de cimentație (de imbogățire secundară a sulfurilor), crește conținutul de cupru.

*Lentila II.* Repartiția cuprului în lentila II a fost studiată la nivelul orizonturilor -350 m (-33 m) -450 m (-133 m), -500 m (-183 m), -550 m (-223 m) (pl. IV, A,B,C,D). Repartiția zonară concentrică a

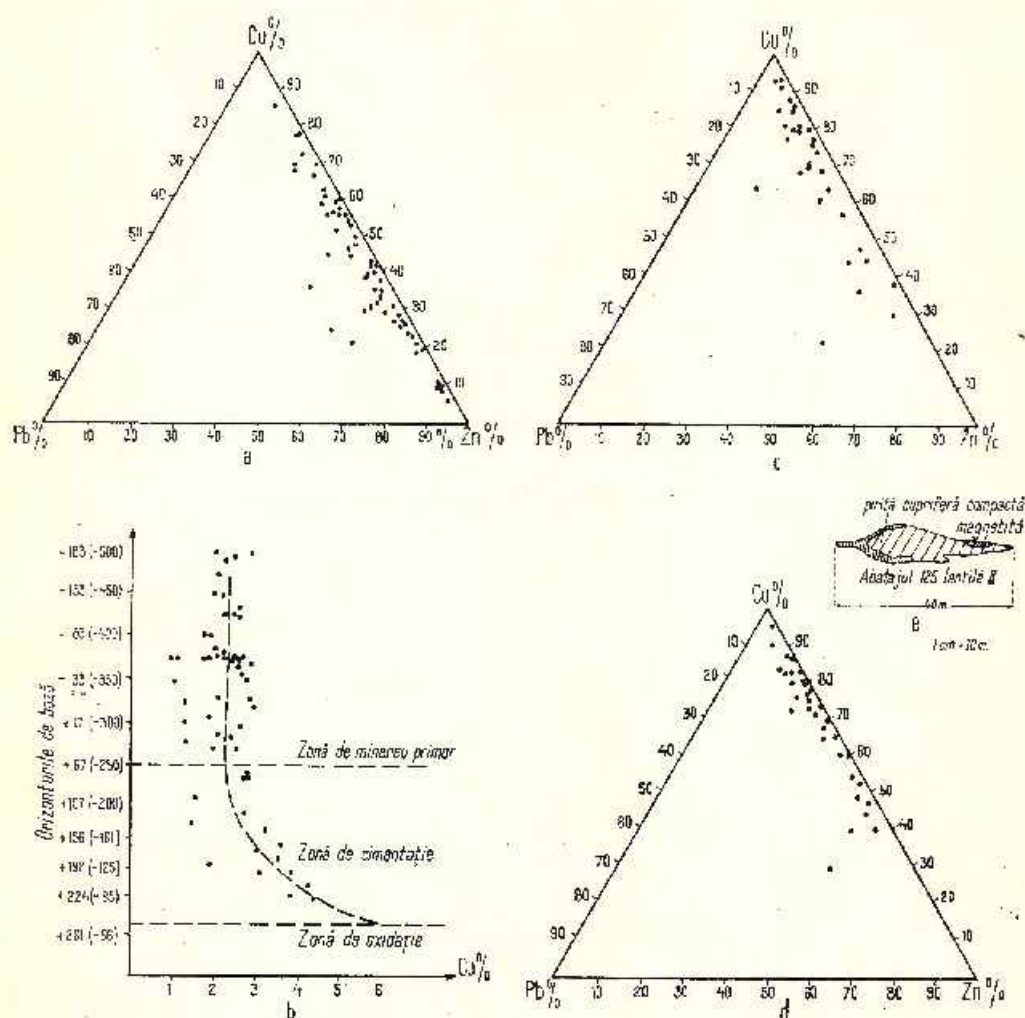


Fig. 2. — Diagrama ternară

a, cupru, zinc și plumb în lentică I orizontal - 450-500 m pe 55 probe; b, Diagrama de variație a conținutului mediu în cupru pe înălțimea lentică I (între orizontal + 224 m și 192 m) după datele documentate; întocmită de „Credîtul Minier” și după culegătorul EM - Alpin Tepe; c, Diagrama ternară a cuprului, zincului și plumbului în lentică II (-450-500 m); d, Diagrama ternară a cuprului, zincului și plumbului în lentică II orizontal - 450-500 m (33 probe); e, Relație dintre mineralizarea sulfuri și a magnetite în lentică II orizontal - 125 m.

#### Diagramme Ternaire

a, pour le cuivre, zinc et plomb de la lentille I de l'horizon -450...500 m pour 55 échantillons; b, diagramme de la variation de la teneur moyenne en cuivre en direction du périclase de la lentille I (entre les horizons + 224 m et 192 m selon les renseignements fournis par „Credîtul Minier” suivant les données EM - Alpin Tepe); c, diagramme ternaire pour le cuivre, zinc et plomb de la lentille III (-450-500 m); d, diagramme ternaire pour le cuivre, le zinc et le plomb de la lentille IV de l'horizon - 450...500 m (33 échantillons); e, relations entre la mineralisation à sulfures et à magnétite dans la lentille II de l'horizon -125 m.

cuprului în această lentilă pare mai evidentă. Această constatare rezultă din analiza celor patru planuri de orizont în care zonele cu conținuturi egale în cupru sunt mai uniforme, mai clare și mai mari, deși și aici zonalitatea este evidentă tot în locurile unde lentila are grosime mai mare.

Diagrama ternară a Cu, Zn, Pb pentru poziunea studiată din lentila II, între orizonturile - 450 și - 500, reflectă o mineralizație complexă cupro-zinciferă (fig. 2 c). Repartiția cuprului în lentila II este similară cu cea din lentila I. O caracteristică a mineralizației din lentila II este prezența magnetitului și a oligistului în coama inferioară a lentilei II în prelungirea acesteia spre nord-vest sau pe marginea lentilei (fig. 2c).

*Lentile III și IV.* La nivelul orizontului - 350 (- 33 m) lentilele III și IV (pl. V A, C) prezintă același caracteristici ale repartiției cuprului ca și lentilele I și II — o zonă cu conținut mai bogat în cupru la mijlocul lentilelor înconjurată de zone concentrice cu conținut mai scăzut. La orizontul - 450 m (- 133 m) a lentilei III (pl. V, B) există o deosebire, în sensul că în partea centrală, mai groasă, repartiția cuprului este inversă decât în lentilele I și II sau lentila III la orizontul - 350 m. În această lentilă la marginea ei predomină zone cu conținut mai ridicat în cupru, iar în centrul lentilei se face trecerea la zone cu conținut mai scăzut în cupru.

În extremitățile mai subțiri, îndeosebi în cea nord-estică, conținutul în cupru este mai mare și mai neuniform răspândit. De acest orizont se mai poate constata că zone cu același conținut (între 1—2%) sunt caracteristice atât mineralizației en textură compactă cît și celei de impregnație. Textura compactă masivă a mineralizației este proprie, îndeosebi, zonelor unde predomină pirita. Această caracteristică a distribuției cuprului în lentila III este o dovedă că atât mineralizația compactă cît și cea de impregnație aparțin același faze de mineralizare. De asemenea zonalitatea geochemicală a cuprului și zincului în toate cele patru lentile este un indiciu că și mineralizația de sulfuri cu textură compactă sănătoasă reprezintă efectul unei singure faze de mineralizare. Diagrama ternară a Cu, Zn, Pb indică și pentru lentila III același caracter complex al mineralizației, de tip cupro-zincifer cu conținut scăzut de Pb (fig. 2d).

Repartiția geochemicală zonară a cuprului și zincului în toate lentilele de minereu este specifică mineralizațiilor de origine hidrotermală cu diferențieri geochemicice ale elementelor sulfofile. Zonalitatea cuprului cu separarea acestuia în partea centrală a filoanelor, (lentilelor zăcăminteelor) este o proprietate geochemicală a sulfurilor de Cu și Fe în asociere cu

cuarțul cu sau făcă baritina, depuse din soluții hidrotermale (Gurău)<sup>7</sup>. În filoanele cu sulfuri de cupru și fier în care umplutura filoniană apare într-unui singur stadiu de mineralizare (sau unui stadiu principal) și mineralele de gangă sunt reprezentate îndeosebi prin cuarț, atât pirita cît și calcopirita tind să se separe în partea centrală (mediană) a filonului. În corpurile metalifere sub formă de volburi, unde predomină cuarțul ca mineral de gangă, de asemenea conținuturile mai bogate în cupru se găsesc în partea lor centrală. Un asemenea exemplu îl constituie zăcămîntul de cupru de la Deva (Petruțian et al. 1964). Sulfurile de Zn și Pb asociate cu cuarțul au tendință de separare către marginea corpilor metaliferi, iar dacă există și cupru acesta ocupă partea centrală (zăcămîntul Djezcazgan — Seifullin, Nuralin, 1961). În associație cu carbonații sulfurile de Zn, Pb, Cu, Fe se separă la periferia corpului metalifer. Un exemplu de acest fel l-a descris Mendelsohn (1961) la zăcămîntul Mfulira (Zambia) în care pirita și calcopirita se întâlnesc în părțiile laterale ale filioanelor cuarțo-carbonatice. Asociate cu sulfatii de bariu, sulfurile metalice de Cu, Fe, Zn, Pb au tendință de separare în partea centrală a filoanelor, de ex. zăcămîntul Ostra din Carpații Orientali (Tănăsescu, Pitulea, 1962); Gurău, Pitulea, Tănăsescu, 1965), zăcămîntul Mil-Closse (Anglia), Dunham, Dines (1945), zăcămîntul Malin (Franța), Routhier (1965). Datorită acestor relații spațiale dintre sulfuri și mineralele de gangă în zăcămîntele zonate, raporturile lor cantitative apar invers proporționale. Așa s-ar explica raportul invers proporțional dintre sulfuri și baritina cu cuarț determinat de Iosof, Mureșan (1968) în zăcămîntul Altin-Tepe<sup>8</sup>.

Cauzele principale ale zonalității geochemicale le constituie: temperatura și presiunea soluțiilor (Emons, 1936), mărimea spațiului pe care îl ocupă soluțiile, valoarea coeficientului energetic (EC) și al paragenilor (prg) mineralelor (Fersman, 1934) concentrația sulfului și a oxigenului în soluții (Betehtin, 1955).

#### B) Caracteristicile chimico-statistice ale elementelor majore (Cu, Zn, Pb, S) în zăcămîntul Altin-Tepe.

Caracteristicile chimico-statistice ale elementelor majore din lentilele cu mineralizație polimetalică și pirotoasă compactă și de impregnație au

<sup>7</sup> A. Gurău. Geochimia proceselor hidrotermale. Referat pentru minimum de candidat la doctoratură. 1969 Universitatea Babeș-Bolyai, Cluj.

<sup>8</sup> V. Iosof, M. Mureșan. Studiu petrochimic al zăcămîntului de sulfuri polimetale de la Altin Tepe. 1968 Arh. Inst. Geol. București.

fost studiate cu ajutorul curbelor și histogramelor de frecvență și coeficienților de corelație simpli și parțiali, calculați după metoda directă recomandată de Iancovici, Dimitriu (1968, 1971 a), cît și prin metoda

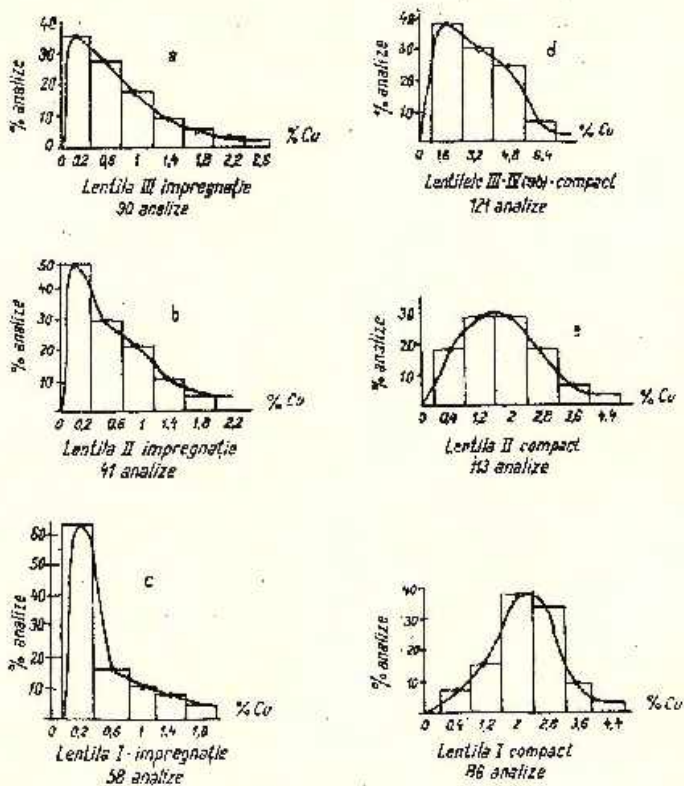


Fig. 3. — Histogrammele și curbele de frecvență la scară aritmetică a cuprului în zonele de impregnație ale lenticilor III, II și I (a,b,c) și în mineralizația compactă a lenticilor III, IV, II și I (d,e,f).

Histogrammes et courbes de fréquence à l'échelle arithmétique pour le cuivre des zones d'impregnation des lentilles III, II et I (a,b,c) et de la minéralisation compacte des lentilles III, IV, II et I (d,e,f).

mai simplă recomandată de Matheron (1962). În 1967, Mureșan, Volanschi au întocmit un studiu al geo chimiei elementelor minore din zăcămîntul Altin-Tepe<sup>9</sup>.

<sup>9</sup> M. Mureșan, Ernestina Volanschi. Studiu geo chimic al zăcămîntului de sulfuri de la Altin Tepe. 1967, Arh. Inst. Geol. București.

Pentru Cu și S de la orizonturile superioare, situate deasupra orizontului -100 m, studiul distribuției l-a făcut în valori aritmetice separat pentru mineralizația de impregnație și cea compactă (fig. 3 ; 4). Verificarea legii de distribuție s-a făcut prin metoda grafică cu hîrtie de probabilită-

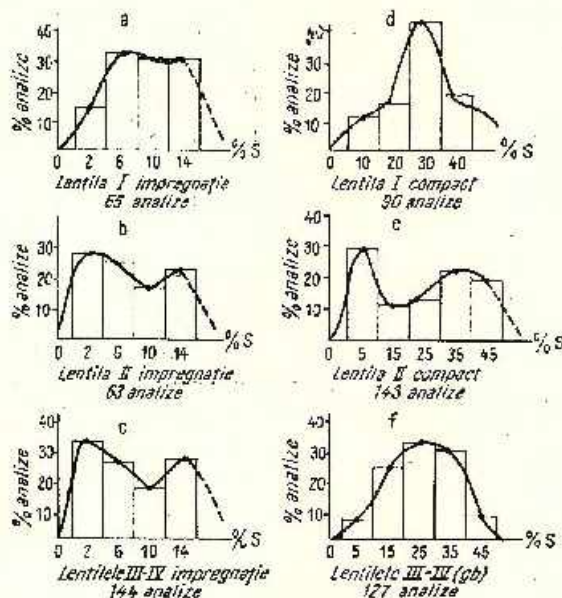


Fig. 4. — Histogramme și curbele de frecvență la scară aritmetică a sulfului în zonele de impregnație a lentilelor I, II, și III-IV (a,b,c,) și în mineralizația compactă a lentilelor I, II, III-IV (d,e,f).

Histogrammes et courbes de fréquence à l'échelle arithmétique pour le plomb des zones d'imprégnation des lentilles I, II et III-IV (a,b,c) et de la minéralisation compacte des lentilles I, II et III-IV (d,e,f).

tate normală sau lognormală (S a r a p o v, 1968). Pentru aceea se pot juca din lentilele cu mineralizație compactă (orizontul -450 și -500 m) unde au fost analizate chimic cele trei elemente principale Cu, Zn, Pb, studiul distribuției s-a făcut în valori logaritmice (Ln) a limitelor claselor de conținuturi (fig. 5 ; 6). Pentru evidențierea particularităților repartitionei, extinderea intervalelor dintre clase s-a calculat în ambele cazuri după formula:  $d = \frac{X_{\max} - X_{\min}}{1 + 3,322 \ln N}$ , iar numărul (n) al intervalelor s-a calculat după formula:  $n = \frac{X_{\max} - X_{\min}}{d}$ .

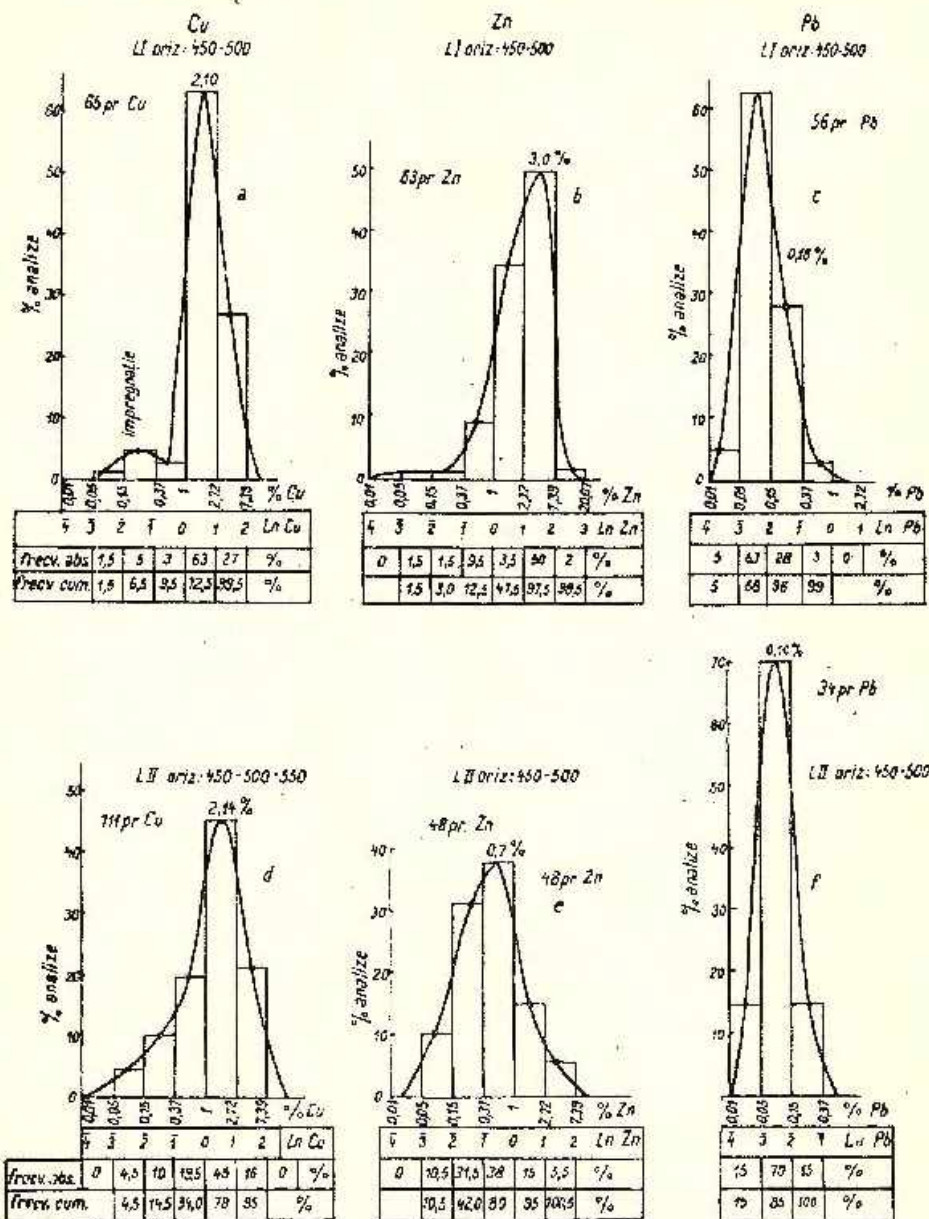


Fig. 5. - Histogrammele și curbele de frecvență la scara logaritmică (Ln) a cuprului, zincului și plumbului în lentică I, orizontul - 450-500 (a,b,c) și în lentică II (d,e,f.).

Histogrammes et courbes de fréquence à l'échelle logarithmique (Ln) pour le cuivre, le zinc et le plomb de la lentille I, horizon - 450, - 500 m (a,b,c) et de la lentille II (d,e,f.).

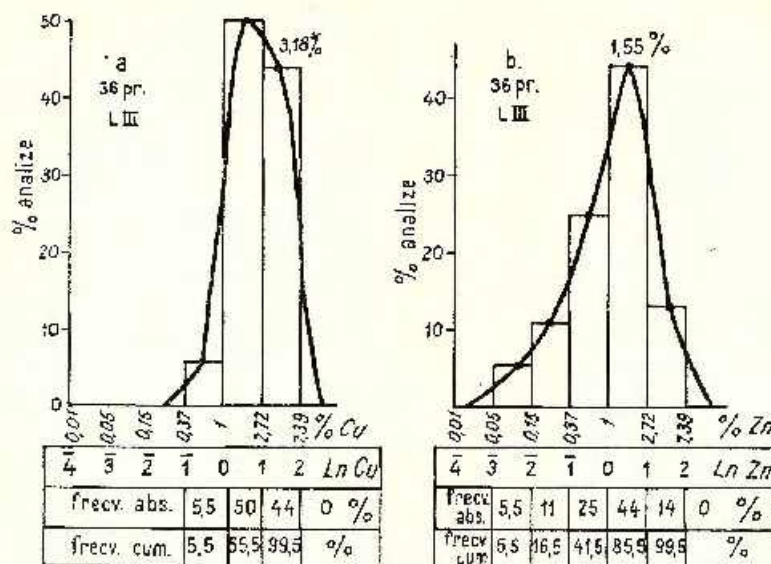


Fig. 6. — Histogrammele și curbele de frecvență la scară logaritmică (Ln) a cuprului și zincului în lentila III (a,b) 36 probe.

Histogrammes et courbes de fréquence à l'échelle logarithmique (Ln) pour le cuivre et le zinc de la lentille III (a,b) 36 échantillons.

**1. Frecvența cuprului.** Din analiza (fig. 3 a,b,c) se vede că curbele de frecvență ale cuprului în zona de impregnație a lentilelor I,II,III sunt monomodale și prezintă o accentuată simetrie de stînga. În aceste histogramme un număr de cca 50 % din probe participă cu un conținut de numai 0,1 % Cu. Verificarea legii de distribuție a cuprului din zona de impregnație a lentilelor II și III, cu hirtia de probabilitate, atestă pentru acest element o distribuție mixtă cu predominarea legii de distribuție normală (fig. 3 a,c) și legea de distribuție normală pentru cuprul din impregnațiile lentilei I (fig. 3 c).

Histogrammele și curbele de frecvență ale cuprului din mineralizația completă (fig. 3 d,e,f) au fie o alură slab asimetrică de stînga (fig. 3 d) fie simetrică (fig. 3 e, f). Verificarea legii de distribuție a cuprului pe toate cele trei lentile reflectă legea de distribuție normală.

**2. Frecvența sulfului.** Pentru sulful din impregnații, curbele de frecvență sunt bimodale (mai accentuate pentru lentilele II și III—IV (fig. 4 a,b,c), iar curbele lor cumulative sunt specifice distribuției normale. Cele două mode cu maximele la 2 % S (6 % pentru sulful din impregnația

lentilei I) și respectiv 14% S s-ar putea explica fie ca urmare a două procese de mineralizare suprapuse, fie că este vorba de zone mai bogate cu pirită care aparțin unui singur stadiu de mineralizare.

Pentru lentilele de minereu cu textură compactă curbele de frecvență sunt simetrice, monomodale (pentru sulful din lentilele I și III–IV fig. 4 d,f) și bimodale, simetrice pentru sulful din lentila II. Pe hîrtia de probabilitate normală valorile cumulative se înscriu pe o linie dreaptă, ceea ce atestă grafic caracterul normal al repartiției sulfului și în mineralizația cu textură compactă. Cele două mode (vîrfuri) ale histogramelor sulfului din lentila II (fig. 4 e) ar arăta că un număr de cca 30% din probe cu 5% S provin din sulfurile metalice (galenă, blenda, calcopirită) mai sărace în sulf, iar cca 24% din probe cu 10% S, să provină din pirita cu textură compactă.

**3. Frecvența cuprului, zincului și plumbului.** Pentru orizonturile mediane ( $-450$ ,  $-500$ ) s-a studiat separat tipul de repartitie ale Cu, Zn, Pb cu ajutorul histogramelor și a curbelor de frecvență a logaritmilor naturali ai conținuturilor (fig. 5 ; 6). Curbele de frecvență a cuprului sunt în general simetrice și monomodale pentru lentilele II și III (fig. 5 d, fig. 6 a), sau bimodale pentru lentila I (fig. 5 a). După tipul de repartitie, curbele de frecvență corespund legii de distribuție normală. Caracterul bimodal al curbei de frecvență a cuprului reflectă două colectivități; moda mai mică din stînga caracterizează frecvența cuprului din impregnații, iar moda din dreapta, mai înaltă, caracterizează cuprul din probele de minereu piroz cu textură masivă, compactă (fig. 5 a).

O caracteristică a acestor histograme este faptul că modelelor lor pentru Cu și S sunt date de valori egale ale frecvențelor analizelor. Histogramele și curbele de frecvență ale zincului (fig. 5 b, e și 6 b) sunt simetrice și corespund legii de repartitie normală pentru Zn din lentilele I, II, III. O histogramă separată pentru zincul total din cele trei lentile (fig. 7 b) corespunde de asemenea legii de distribuție normală.

Din histogramele logaritmilor naturali ai cuprului și zincului se vede că aceste elemente sunt în raport invers proporțional. Pentru Pb histogramele și curbele de frecvență reflectă o distribuție mixtă lognormală în lentila I, (fig. 5 c) și normală în lentila II (fig. 5 f), iar pentru aur (fig. 7a) o distribuție lognormală.

Rodionov (1961) și Ianovici et al. (1971) arată că legea de distribuție normală reflectă o caracteristică a elementelor chimice care intră în componența mai multor minerale, iar legea de distribuție log-

normală reflectă caracteristica elementelor chimice concentrate într-un singur mineral. Așa cum s-a mai arătat în zona cu minereu primar, în afară de calcopiritea au mai fost determinate mineralogic și alte minerale de cupru (bornitul, calcozina și covelina) care ar explica legea de distribuție normală a cuprului în mineralizația cu textură compactă. Această

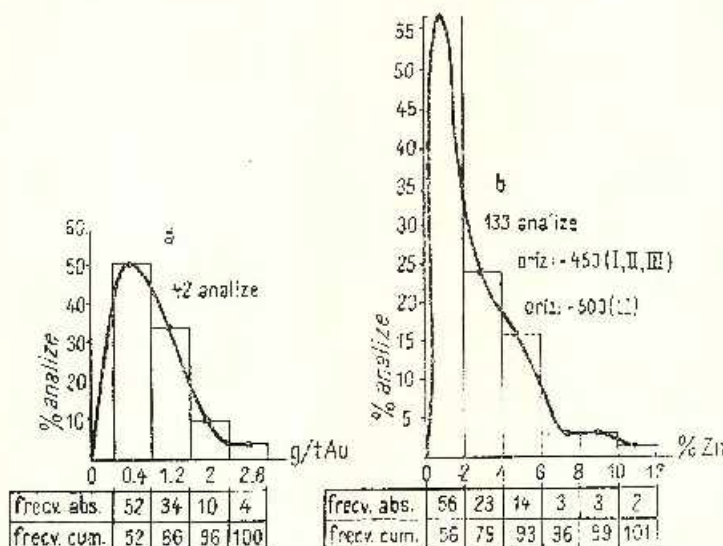


Fig. 7. Histogrammele și curbele de frecvență la scară aritmetică a aurului (a) și zincului (b) în lenticile I, II, III.

Histogrammes et courbes de fréquence à l'échelle arithmétique pour le cuivre (a) et le zinc (b) des lentilles I, II et III.

caracteristică a distribuției ar mai putea reflecta, arată Ianovici, et al. (1971), două stadii principale de formare a calcopiritei evidențiate și mineralogice. Zonalitatea geochimică a cuprului și zincului în lente sprijină primul punct de vedere.

**4. Corelația elementelor majore.** Determinarea chimică a Cu, Pb, Zn, la orizonturile - 450, - 500, - 550 m a făcut posibilă studierea pentru prima dată a corelației dintre aceste elemente în mineralizație polimetalică și piritoasă compactă la aceste orizonturi. Aprecierea corelației dintre S și Cu s-au făcut numai pe baza imaginii care o dau norii de corelație dintre aceste elemente pentru fiecare lentilă în parte (fig. 8). Așa cum se poate vedea din fig. 8 (lentila I) gruparea punctelor sub forma mai multor nori de corelație cu conținuturi diferite de S este cauzată de prezența

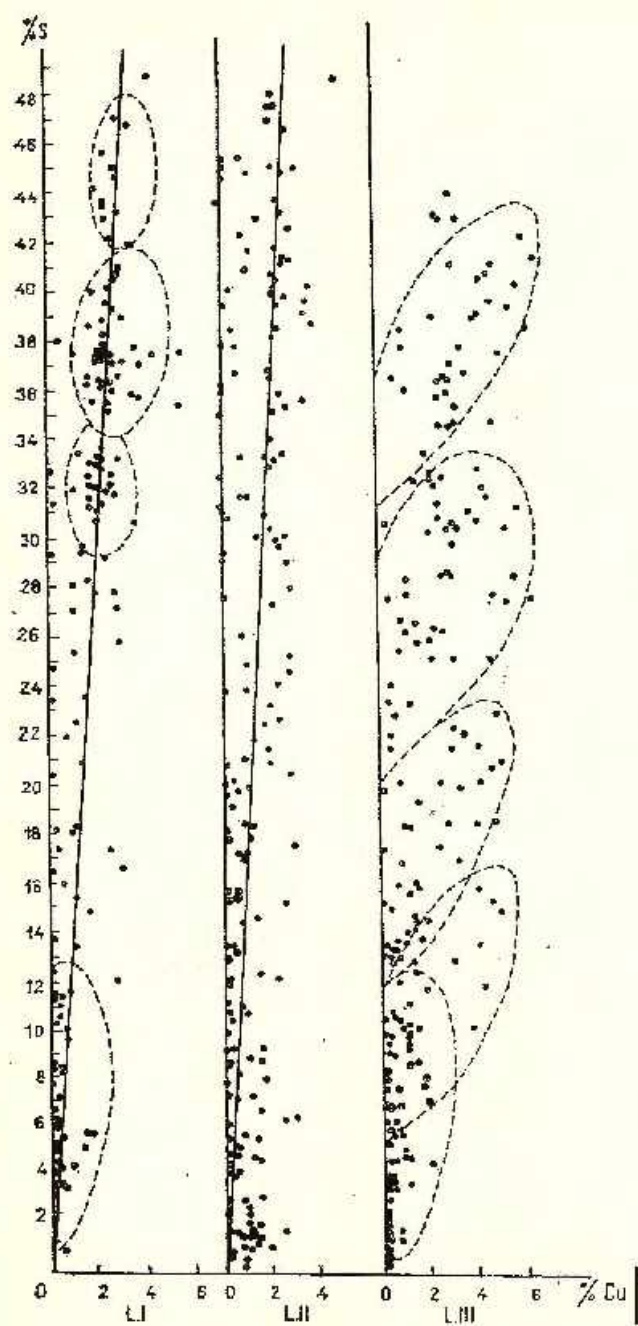


Fig. 8. — Norul de corelație sulf-cupru în lenticila I, lenticila II și lenticila III.

Diagramme de corrélation soufre-cuivre dans la lentille I, la lentille II et la lentille III.

polisulfurilor și a varietăților lor texturale. Coeficientul simplu de corelație,  $r$  dintre Cu – Zn, Zn – Pb, Cu – Pb, s-a calculat pe cale directă după formula:  $r_{x-y} = \frac{\sum ax \cdot ay}{\sqrt{\sum a^2 x \cdot \sum a^2 y}}$ .

Pentru evaluarea legăturii directe dintre două elemente cu excluderea influenței celui de al treilea element, s-au calculat coeficienții de corelație parțiali după formula dată de řarapov (1968):

$$r_{x-z(y)} = \frac{r_{xz} - r_{xy} - r_{yz}}{\sqrt{(1 - r^2_{xy}) \cdot (1 - r^2_{yz})}} = \dots \dots$$

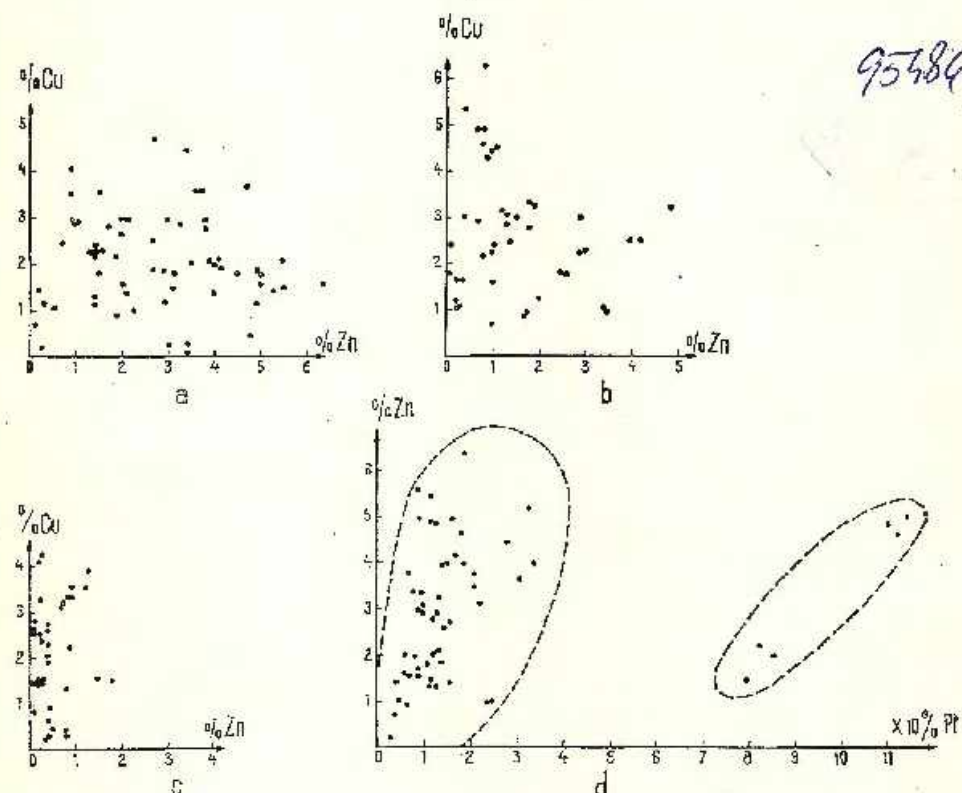


Fig. 9. — Nori de corelație.

a, pentru cupru-zinc în lentila II orizontul -450, -600 m; (84 analize); b, pentru cupru-zinc în lentila III, orizontul -450, -500 m; (36 analize); c, pentru cupru-zinc în lentila II, orizontul -450, -500 m; (37 analize); d, pentru zinc-plumb ( $\times 10$ ) în lentila I, orizontul -450, -500 m.

#### Diagrammes de corrélation

a, pour le cuivre-zinc de la lentille II de l'horizon -450, -600 m (84 analyses); b, pour le cuivre-zinc de la lentille III, horizon -450, -500 m (36 analyses); c, pour le cuivre-zinc de la lentille II, horizon -450, -500 m (37 analyses); d, pour le zinc-plumb ( $\times 10$ ) de la lentille I, horizon -450, -500 m.

Norul de corelație, Cu—Zn din mineralizația compactă a lentilelor I și III (fig. 9 a,b) reflectă o legătură negativă testată și de calculele coeficienților simpli și parțiali de corelație prin metoda directă ca și prin metoda Matheron (1962 — tab.). O confirmare a legăturii negative dintre Cu — Zn din lentilele I, III o dă și raportul dintre conținutul mediu al acestor elemente (vezi tabelul) ca și diagrama din fig. 10, a raportului procentual, Zn — Cu față de totalul Cu, Zn, Pb, din cele trei lentile.

TABEL  
*Coefficienții de corelație Cu—Pb—Zn din zăcămîntul Altin-Tepe*

Lentila orizont	Nr. probei	Conținut mediu %			r Cu—ZN			r Cu—Pb			r Zn—Pb		
		Cu	Zn	Pb	simpl.	part.	Math.	simpl.	part.	Math.	simpl.	part.	Math.
L. I —450 —500	55	2,10 (2,11)*	3,00 (3,22)*	0,18 (0,18)*	-0,36	0,37	-0,278	-0,036	0,03	-	0,19	0,19	0,343
	—	—	—	—	—	—	—	—	—	—	—	—	—
L. II —450 —500	32	2,14 (2,10)*	0,70 (0,65)*	0,10	0,023	0,02	0,194	0,1	-0,09	—	-0,06	0,99	—
	—	—	—	—	—	—	—	—	—	—	—	—	—
L. III —450	12	3,08 (2,82)*	1,55 (1,35)*	0,08	-0,12	-0,12	-0,265	-0,27	-0,27	—	0,036	0,002	—

\* calculul după metoda Matheron.

Pentru lentila II, atât norul de corelație Cu—Zn (fig. 9c) ca și coefficientul de corelație reflectă o legătură slab pozitivă (0,02) apropiată de 0 (tab.). Corelația dintre Cu — Pb în lentilele I, II și III este peste tot negativă, doar pentru lentila I coefficientul de corelație parțial este slab pozitiv (0,03).

Între Zn—Pb din lentilele I și III coefficientul de corelație reflectă, de asemenea, o legătură slab pozitivă (sub 0,2) în lentila I și 0,002 în lentila III; fig. 9 d reflectă și grafic această caracteristică pentru lentila I. Pentru lentila II coefficientul simplu de corelație reflectă o legătură slab negativă (-0,06), iar coefficientul de corelație parțial, din contră atestă o legătură pronunțat negativă (-0,99).

Din analiza tabelului rezultă că în general între elementele sulfide majore (Cu—Zn—Pb) la nivelul orizonturilor —450, —500, predomină o legătură slabă apropiată de 0. Coeficienți de corelație negativi între elemente sau apropiati de 0 sunt o cauză a proceselor de diferențiere geo-chimică a elementelor în soluții hidrotermale. Valoarea și semnul coefficientilor de corelație determinați pentru lentilele I, II, III — IV la nivelul

orizonturilor — 450 și — 500 m reflectă zonalitatea geochemicală a elementelor majore în secțiune transversală pe corpurile de minereu, fiind o consecință a acestei zonalități.

Dacă pentru mineralizarea cu textură compactă din orizonturile — 450 și — 500 coeficienții de corelație dintre Cu—Zn—Pb—Cu sunt nega-

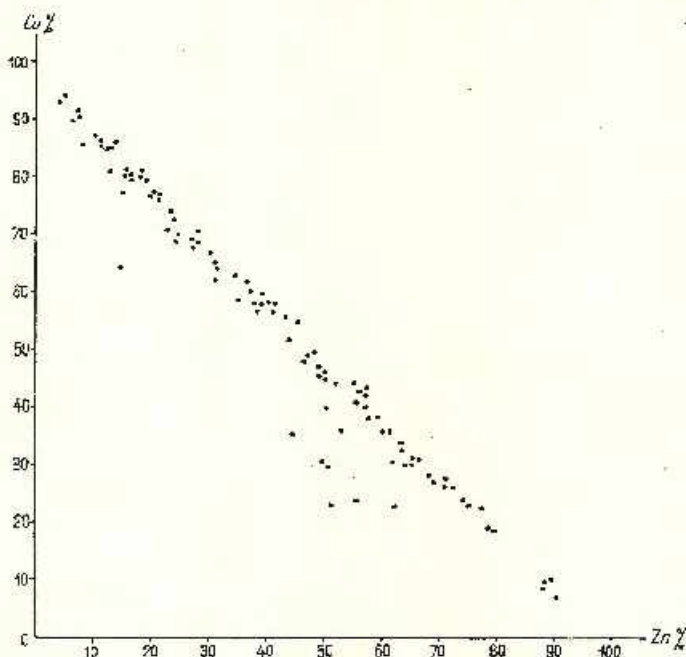


Fig. 10. -- Corelația cantitativă procentuală cupru-zinc față de totalul cupru, zinc, plumb din lentilele I, II, III, orizontul, — 450, — 500 m.

Corrélation quantitative de la proportion en cuivre et en zinc par rapport au total du cuivre, zinc et plomb des lentilles I, II et III de l'horizon — 450, — 500 m.

tivi sau slab pozitivi apropiati de 0, în schimb la orizonturile inferioare, interceptate cu forajele 901, 903, 904, 906, coeficienții de corelație pentru aceste elemente determinați de I a n o v i c i , D i m i t r i u (1971) sunt pozitivi, cuprinși între 0,4—0,8 atât în interiorul lentilelor cât și în impregnațiile din acoperișul și culcușul lor.

Variatia pe verticală a coeficienților de corelație de la pozitiv în adâncime spre negativ la nivelele superioare, constituie o dovadă că procesul de diferențiere geochemicală a Cu, Zn, Pb a avut loc și pe verticală

pe inclinarea lentilelor. Diferențierea cea mai pronunțată se remarcă pentru Cu și Zn din lenta I, urmată de lenta III, precum și de Zn și Pb din lenta II (vezi tabelul). Din tabel rezultă că intensitatea proceselor de diferențiere geochemicală a elementelor majore diferă de la o lentilă la alta și de la un element chimic la altul.

Din datele prezentate se mai desprinde ideea că valoarea pozitivă apropiată de 1 a coeficientilor de corelație dintre elementele majore, reflectă apropierea mineralizațiilor de sursa care le-a generat, iar valoarea negativă a lor, cu cît este mai apropiată de -1, cu atât intensitatea procesului de diferențiere geochemicală și distanța de sursa de mineralizare sunt mai mari. Mărimea și semnul coeficientului de corelație poate să aibă, prin urmare, atât o valoare științifică pentru studierea intensității proceselor de diferențiere geochemicală a elementelor în corporile de minereu cît și practică pentru aprecierea distanței acestora de sursa de mineralizare.

Distribuția zonară a elementelor majore în secțiune transversală po corporile de minereu lenticulare ca și variația coeficientilor de corelație între aceste elemente pe inclinarea lentilelor constituie dovada unei diferențieri geochemică a elementelor atât pe orizontală, de la peretei lentilelor spre centrul lor, cît și pe verticală pe inclinarea lor.

Zonalitatea geochemicală a elementelor majore din lentilele de minereu de la Altin Tepe aduce elemente noi în discutarea genezei zăcămîntului, putîndu-se concluziona pe baza acestor observații că natura mineralizației de sulfuri este hidrotermală, fără să se poată preciza deocamdată și raportul mineralizației cu metamorfismul dacă este hidrotermală, epigenetică (premetamorfică, sinmetamorfică, postmetamorfică) sau singuristica recristalizată și remobilizată în timpul metamorfismului regional.

Din literatura de specialitate din țară și străinătate, care ne-a stat la dispozitie, nu rezultă care ar fi efectele metamorfismului regional asupra unui zăcămînt de sulfuri cu zonalitate geochemicală primară, dacă amprentele acesteria se sterg sau dimpotrivă se poate credea o zonalitate dacă inițial nu a fost ca urmare a recristalizării și remobilizării metamorfice. Schneider h ö hn (1957) consideră că activitatea metamorfismului asupra zăcămîntelor de sulfuri conduce la remobilizarea lor totală și migrarea substanței metalifere în alte spații structurale cu formarea de zăcămînt noi de regenerare. Alți autori (R a m d o h r , 1957 ; A n d r e a t t a , 1957) combat posibilitatea proceselor de regenerare a zăcămîntelor primare la scara la care le vede Schneider h ö hn , arătînd că zăcămîntele își pot schimba doar forma și structura inițială, fără să-și părăsească spațiul primar în care s-au format.

În legătură cu aceasta, prezentăm spre comparare caracteristicile geochemice principale ale zăcămîntului de sulfuri polimetaleice de la Muncelul Mic, concordant cu șisturile cristaline și foarte cutat (Gurău, 1967), despre care se știe că este metamorfozat regional (Kräutner, 1961; Gurău, 1967). Raportul Zn—Pb la toate orizonturile este constant (în medie 1,5—1,7), iar coeficienții de corelație sunt în majoritatea cazurilor pozitivi, în jur de 0,8 (Gurău, 1972)<sup>10</sup> și nu se constată o diferențiere geochemicală a elementelor majore în zăcămînt și nici o zonalitate geochemicală a Zn și Pb la scară și mărimea probelor colectate.

Prin procesele de recristalizare și mobilizare metamorfică mineralizația de sulfuri a putut migra de pe planurile  $S_1$  pe planurile  $S_2$  sau acel mult 1—2 cm, prin aceasta s-a păstrat neschimbă raportul Zn—Pb. La contactul dintre mineralizația complexă fin cristalizată și cuarțul, care fie că inconjoară mineralizația fie că este înconjurat de ea, se dezvoltă o microzonă concentrică de blendă galbenă (cleofan) de 1 mm grosime, foarte rar ajungind pînă la 2 mm. Această slabă zonalitate s-ar putea interpreta în două feluri și anume: sau a existat o zonalitate primară în zăcămînt pe care metamorfismul regional a șters-o, rămînind doar amprentele slabe ale unei zonalități mineralogice la contactul dintre cuarț și mineralizația de sulfuri; sau inițial nu a existat o zonalitate primară dar procesele de recristalizare și remobilizare metamorfică au generat o microzonătate a blendei la limita cuarț — mineralizație.

Oricare din aceste două explicații am admite-o, nici una nu convinge asupra zonalității mineralogice sau geochemice cu zone de grosime mai mari în zăcămîntele primare singenetic metamorfozate regional. Această observație impune aceeași concluzie că zonalitatea geochemicală este un atribut al proceselor de diferențiere geochemicală în soluții hidrotermale epigenetice.

## II. STUDIUL MICROTECTONIC

Rezultatele studiului geochemical impun o nouă corolare în microtectonica zăcămîntului și morfologia corporilor de minereu pentru a se vedea care a fost rolul structurii în formarea mineralizației.

<sup>10</sup> A. Gurău. Raport geologic privind cercetările pentru minereuri polimetaleice din zona Muncel-Vețel-Valea Bâtrîna, jud. Hunedoara NE masivul Potana Rusă. 1972. Arh. I.G.P. București.

Studii microtectonice la zăcămîntul Altîn Tepe au făcut Gurău (1966; 1970, 1969)<sup>11</sup>, Ionescu et al., 1966<sup>12</sup>, Ianovici et al. (1967), Mureșan (1969; 1972). Au fost studiate elementele microtectonice și răspîndirea lor spațială în seria șisturilor mezometamorfice, zăcămînt și seria șisturilor verzi, apărînd astfel mai evident relațiile structurale dintre aceste formațiuni. S-a demonstrat de asemenea cutarea strinsă de ordinul decimetrilor și metrîlor a șistozității de stratificatie, atât în zăcămînt cît și în șisturile mezometamorfice, coaxialitatea lenticelelor de sulfuri cu lineațiile  $b_1$  și axele  $B_1$  din șisturi, precum și dispunerea lor eșalonată pe direcția WNW — ESE. Menționăm că poziția eșalonată a lenticelor la orizonturile —125 și —161 pe direcția E—W reiese și din lucrarea lui Bujor (1936).

Zonalitatea geochimică a elementelor majore în zăcămînt ca atribut al originii hidrotermale epigenetice a mineralizațiilor, impune studierea structurii disjunctive, a căilor principale de acces și localizare a mineralizațiilor.

#### A) Migrarea elementelor microtectonice lineare

Pentru aprecierea intensității dezvoltării faliilor care constituie căile principale de acces a soluțiilor mineralizatoare s-a studiat fenomenul de migrare a elementelor microtectonice lineare (lineați  $b_1$ , axe  $B$ , polii  $\beta$ , polii ac)<sup>13</sup> după metoda descrisă de Turner și Weiss (1963) și utilizată de Bereia (1967) în studiul microtectonic al zonei Teliu-Ghelar.

Prin proiectarea și prelucrarea statistică diferențiată în diagrame structurologice<sup>14</sup> a tuturor elementelor microtectonice s-a surprins poziția medie a acestor elemente care se reflectă de obicei prin prezența unui maxim mai pregnant. Din aceste diagrame însă nu se poate surprinde fenomenul de migrare. Migrarea se poate deduce în cazul cînd aceasta este progresivă pe o anumită direcție (într-un singur plan) și cînd se fac mai multe măsurători. Pentru zone restrînse însă cum este cazul zăcă-

<sup>11</sup> A. Gurău. Studiu proiect privind prospectarea în extindere spre Movila Goală a zăcămîntului Altîn-Tepe (Dobrogea Centrală). 1969. Arh. MMPC. București.

<sup>12</sup> C. Ionescu, V. Ignat, Venâra Codarcea, M. Mureșan, R. Ciocânelca, V. Botoran. Raport geologic de sinteză asupra regiunii Altîn-Tepe - Ceamurlja de Sus. 1966. Arh. MMPC. București.

<sup>13</sup> Op. cit. pet. 11.

<sup>14</sup> Termen folosit de G. Guitard (1960). Bull de la Soc. Géol. de France, 7-ème série, 11, 7 et dernier.

mintelor unde măsurătorile se rezumă la suprafețe mici, fenomenul de migrare a elementelor lineare se poate surprinde cel mai bine prin proiecțarea directă în diagramele locale ale tuturor clementelor liniare în parte.

**Migrarea liniaților  $b_1$ .** Fenomenul de migrare a liniaților  $b_1$  s-a surprins în tectonogrammele  $D_5$ ,  $D_{13}$ ,  $D_{14}$ ,  $D_{18}$  și  $D_{22}$  (pl. VI). Prin caracterul alungit al izoliniielor după două planuri, unul cu direcția NNW—SSE ( $D_5$  în șisturi mezometamorfice) și altul cu direcția NNE—SSW ( $D_{13}$ ,  $D_{14}$ ,  $D_{18}$ ,  $D_{22}$  - pl.VI). Unghiul mediu de migrare a liniaților  $b_1$  este în jur de  $50^\circ$ .

**Migrarea polilor ac.** În tectonogrammele  $D_5$ ,  $D_{12}$ ,  $D_{19}$  (pl. VI) se vede că izoliniiile polilor ac sunt alungite în cadrul unui plan cu direcția NNE—SSW, demonstrând predominarea unor planuri de forfecare pe această direcție.

**Migrarea polilor  $\beta$ .** În tectonogramma  $D_3$  (planșa VI) poziția izoliniielor cu alungirea pe direcția NNW—SSE de formă dreaptă sugerează poziția unor planuri de forfecare verticale pe această direcție. Unghiul de migrare a polilor  $\beta$  este aproape de  $90^\circ$ , ceea ce demonstrează intensitatea forfecărilor pe direcția NNW—SSE, în zona măsurătorilor.

Din datele de migrare a liniaților  $b_1$ , polilor ac și axelor  $\beta$  rezultă că în zona zăcămîntului și în rocile înconjurătoare predomină faliile direcționale de tip hol, atât cu direcția, NNW—SSE, cât și pe direcția NNE—SSW, așa cum rezultă și din tectonogramma  $D_{20}$ . Înclinarea acestor fali variază între  $60^\circ$ — $90^\circ$ .

Suprafețele  $S_1$  (șistozitatea de stratificatie) au în general o poziție verticală (maximele polilor  $S_1$  sunt dispuse pe cercul tectonogramelor (planșa VI, $D_1,D_5,D_8,D_7,D_9,D_{13}$ ), iar prezența în unele cazuri a celni de al doilea maxim  $S_1$  ( $D_5,D_6,D_7,D_{17}$ , planșa VI) ca și alungirea lor în planul AC, demonstrează cutarea lor strânsă. Valoarea medie a poziției elementelor structurale microtectonice este arătată în tectonogrammele respective.

În tectonogrammele  $D_8$  și  $D_{23}$  intersecția planurilor  $S_1$ , cutate fixeză poziția polilor  $\beta$  și  $\pi$  în cîteva aflorimente, la suprafață ( $D_8$ ) și în mină la orizontul —550 ( $D_{23}$ ).

**Fisurăția.** În zăcămîntul Altin Tepe se dezvoltă o fisurăție de cutare și post cutare de tip hol și ac. În figurile 11 și 12 sunt prezentate caracteristicile fisurăției la orizonturile —400 (- 83 m) fig. 11 și —450 (-133 m) fig. 12. Din analiza fig. 11 se observă că în zona lentilei I predomină fisurăția hol ( $D_5$ ,  $D_6$ ,  $D_7$ ,  $D_8$ ) cu direcția NNW—SSE și incli-

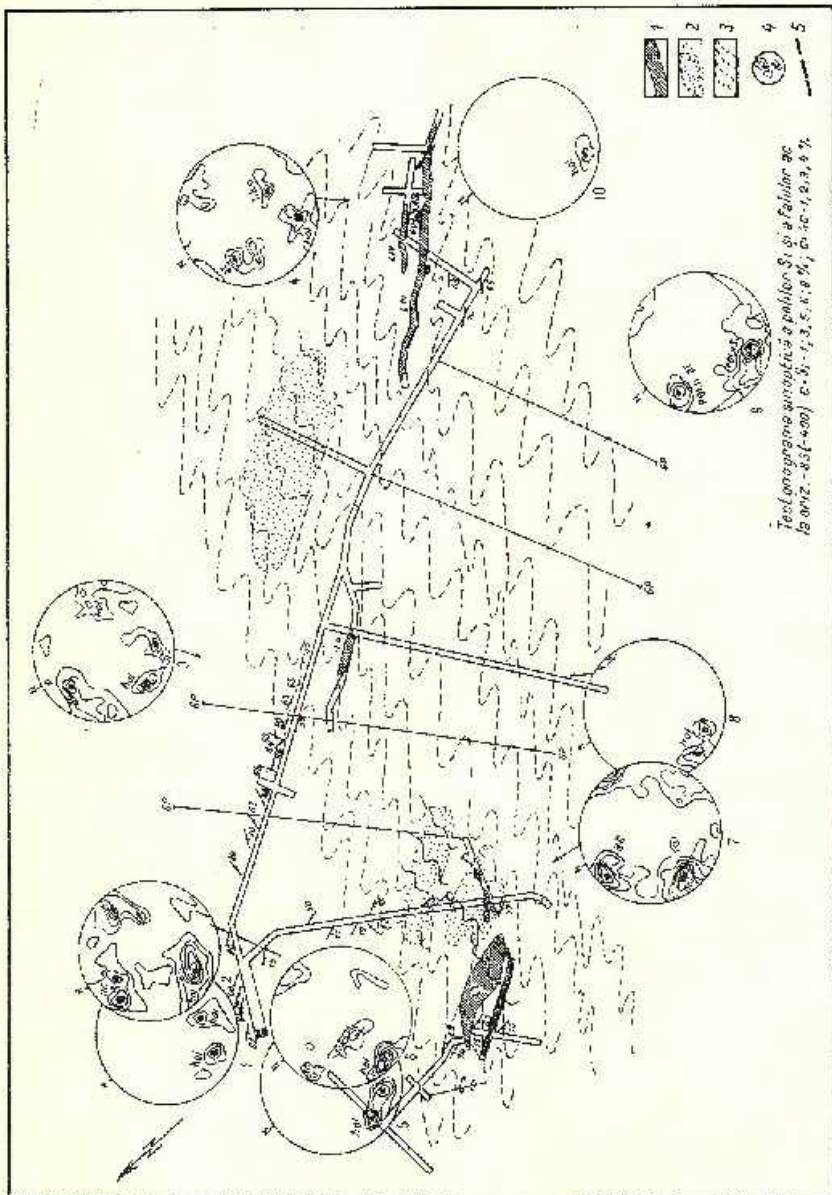


Fig. 11. — Interpretarea structurală a zăcămintului la nivelul orizontului 83 m (400).

1. Panta ou berăuă compusă asociație cu culturi nuanțăice; 2. zonă de impresiuni cu culturi nuanțăice; 3. sisteme metamorfice retrometamorfoza (2); 4. lecanomerite de lauri (laur & leucitite) în Gion Burele și interpretarea de Gurău; 5. iuli.

Interpretarea structurală du gisement au nivelau de planșon 83 m (400 m).

1. Zonă a texture orocante asociată de găurile polimedaile (1); 2. zonă de împregnare de surfură polimedaile (1); 3. schistosă; 4. pieptenele reformatice (2); 5. fălele. Interpretare par Gurău; 6. fălele.

nări vestice în jur de  $80^\circ$ . Diagramele  $D_6$  și  $D_8$  prezintă cîte două maxime hol de unde rezultă dezvoltarea a două sisteme de fisuri și fracturi hol în această zonă ca și a fisurilor ac ( $D_7$ ).

În zona lentilei II predomină, de asemenea, trei sisteme de fisuri hol ( $D_2$ ) și un sistem ac, ca și în zona lentilelor III și IV ( $D_4$ ,  $D_{10}$ ). Cu 50 m mai jos la orizontul -450 (-133 m fig. 12) caracteristica fisurației în

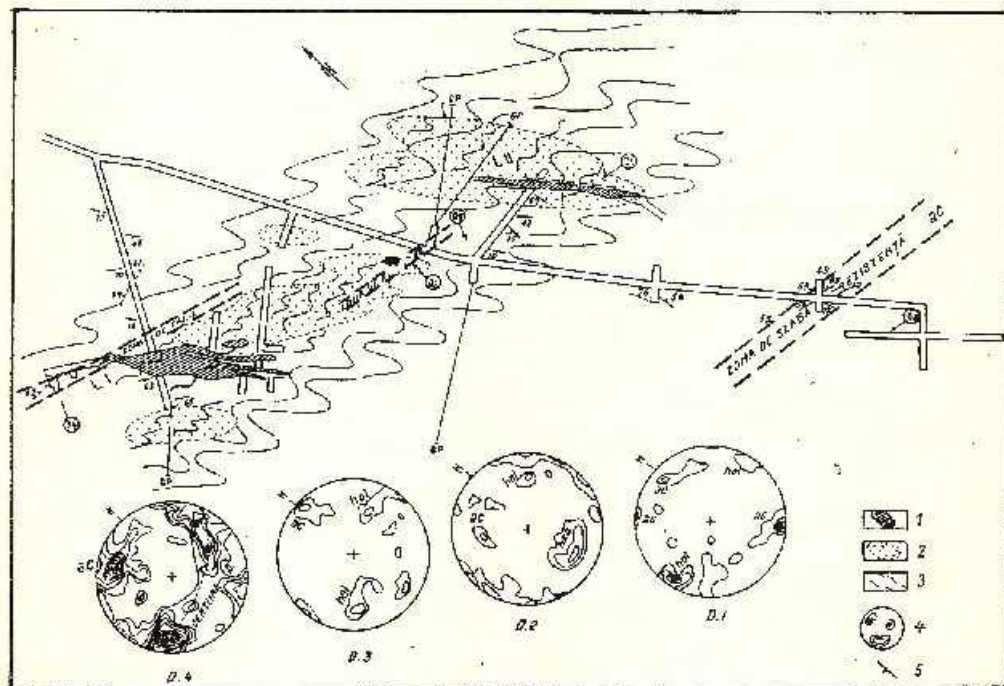


Fig. 12. – Interpretarea structurală a zăcămîntului la nivelul orizontului -133 (-450 m).

1. Pirite cu texture compacte asociate cu sulfuri polimetalice; 2, zone de impregnație cu sulfuri metasitice; 3, schisturi mesometamorfoza retromorfozată (?) quartzitice, setilitică și chloroase; 4, tectonogramme de flans (după măsurările lui Cioceanu); interpretate de Gurău; 5, planș. S<sub>2</sub>.

Interpretation structurale du gisement au niveau de l'horizon -133 (-450m).

1, pyrite à texture compacte associée de sulfures polymétalliques; 2, zones d'imprégnation à sulfures métasitiques; 3, schistes métamorphiques rétromorphosées (?) quartzitiques, setilitiques et chloroases; 4, tectonogrammes pour les flans (après les mesurages effectués par Cioceanu); interprétés par Gurău; 5, planș. S<sub>2</sub>.

zona lentilei I este același, un sistem de fisuri hol mai pronunțat ( $D_4$ ) cu inclinarea spre WSW, un sistem ac, cu direcția WSW-ENE și inclinări nordice. Alături de aceste două sisteme de fisuri mai bine dezvoltate coexistă și o fisurăție mai slabă de tip hko, fig. 12  $D_2$ . La orizontul -450 m se mai observă chiar trei zone ac de slabă rezistență.

### B) Structura corpurilor de minereu

Structura corpurilor de minereu se definește prin caracteristicile formelor, a poziției lor în spațiu și relațiile cu structura plicativă și disjunctivă (Kreiter, 1956). Studierea caracteristicilor structurale de detaliu a corpurilor de minereu contribuie, prin urmare, la cunoașterea raportului mineralizației cu metamorfismul și magmatismul. Așa cum s-a mai arătat corpurile de minereu de la mina Altin-Tepe au forme de lentile alungite pe direcția axei B și liniștiilor b<sub>1</sub> din sisturi. Grosimea lentilelor (1–18 m) este mult prea mică în raport cu lățimea (50–120 m) a cărei direcție coincide cu poziția fisurilor și a fracturilor hol care au direcția NNW–SSE. O altă caracteristică a corpurilor de minereu sunt terminațiile acestora sub forma unor ramificații (mânuși cu 2 sau 3 degete) pe direcția lățimii (pl. III A,B,C,D ; pl. IV C,D ; pl. V B). Ca număr și lungime ramificațiile predomină în partea superioară (coama) a lentilelor. Zonele cu mineralizație de impregnare se dezvoltă, de obicei, în jurul mineralizației compacte, iar acolo unde ramificații cu mineralizație compactă sunt mai lungi și zonele de impregnare au forme de degete (pl. III A, B). Numărul ramificațiilor variază și el de la un orizont la altul. Astfel, la lentila I orizontul –450 m, există trei ramificații lungi în acoperiș (pl. III A,B, c,d,e), la orizontul –500 m există numai două ramificații în acoperiș (pl. III, C, d,e), dispărind ramificația c ca poziție și au apărut altele două în culmeșul lentilei (pl. III C, e,b). La orizontul –550 (pl. III D) se mențin tot două ramificații în acoperiș (b, c).

Lentila II are o formă mai regulată și dimensiuni mai mari la orizontul –350 m (pl. IV A). Cu 50 m mai jos dimensiunile lentilei se reduc și apar cîte două ramificații în culmeș și două în acoperiș (pl. IV, B), ultimele menținindu-se și la orizonturile –500 și –550 (pl. IV C, D).

Lentilele III și IV au forme sigmoidale la nivelul orizontului –350 m (pl. V A) pentru că la orizontul –450 m lentila III să capete tot o formă neregulată cu o ramificație în culmeș (pl. V B, a) și 3 digității în acoperiș (pl. V, B,b,c,d).

Relațiile corpurilor de minereu cu structura plicativă și sistozitatea de stratificare. Concordanța dintre mineralizare și sistozitatea de stratificare apare evidentă în lucrările miniere de exploatare, și este unanim recunoscută, dar numai recunoașterea acestui fapt nu este suficientă pentru desemnarea lui ca criteriu genetic al zăcămintelor asociate sisturilor cristaline. Aici trebuie avute în vedere relațiile dintre corpul de minereu conturat cu luerările miniere de exploatare și direcția medie generală a cutelor minore. Într-o lucrare anterioară (Gurău, 1970) s-a arătat că sisto-

zitatea de stratificație formează cufe decimetrice și metrice care datorită afundării lor axiale spre SSW/25°–50°, cuftele au dispoziție eșalonată pe direcția WNW–ESE/50°S.

Mineralizația de sulfuri și magnetită chiar dacă apare concordantă cu șistozitatea de stratificație în limita (conturul) corpuri lenticiforme de minereu, dar direcția lentilelor (NNW–SSE) este discordantă față de direcția eșalonată a cufelor minore (WNW–ESE) în care se inseră și alte lentile de minereu (fig. 11 și 12).

De asemenea urmărind direcțional lentilele în plan orizontal pe direcția NNE–SSW, acestea nu apar deloc cutate. O situație similară se află și la zăcamintul cuprifer de la Bălan în care lentilele nu apar cu forme cutate în secțiuni oblice, față de axa B. La zăcamintul de la Muncelul Mic, din contrar, mineralizația apare cutată atât în detaliu în limita corpuri de minereu cît și forma acestora este tot de cufe, care coincide cu direcția eșalonată a cufelor minore.

Zonalitatea geochemicală a Zn și Cu în secțiune transversală pe corpurile lenticulare de minereu, coeficienții de corelație negativi și slab pozitivi la orizonturile medii și superioare și pozitivi la nivele inferioare, forma de lentile necutate a corpuri de minereu cu ramificații neregulate, coincidența acestora cu fracturile hol, aureola zonelor de impregnație în jurul mineralizației compacte, sunt elemente care pledează pentru o mineralizație hidrotermală epigenetică ulterioră metamorfismului regional. Mineralizația este depusă pe fracturi hol și la intersecția acestora, precum și pe planurile de șistozitate cutată sau zone de exfoliere al șistozitatii de stratificație. Controlul structural disjunctiv al mineralizației de sulfuri în magnetită l-a menționat și Bujor (1936).

Mineralizația de sulfuri metalice și magnetită s-a depus și pe fracturi hol cu direcția NNE–SSW, așa cum rezultă din pl. VI, D<sub>16</sub>, sau fracturi acum se poate vedea în partea de sud-est a lentilei I (fig. 11).

Pozitia lentilelor cu mineralizație compactă și a zonelor de impregnație este eșalonată pe direcția WNW–ESE. Termenul mai potrivit pentru caracterizarea structurii lentilelor de minereu de la zăcamintul Altin-Tepe în urma cercetărilor corelate, geochemice și microtectonice, ar fi acela de pseudobudinaj, adoptat pentru prima dată la caracterizarea structurii corpuri lenticulare de sulfuri metalice de la zăcamintul Bălan (Guran, 1969).

Caracteristicile geochemice ale elementelor majore din lentilele de minereu de la Altin-Tepe și cele ale formei și dimensiunilor lentilelor, alături de corelarea cu datele microtectonice fac să apară mai judecătoasă

adoptarea acestui termen în locul celui de budinaj descris anterior (Gurău, 1970), pe considerentele unei geneze vulcanogen-sedimentare (Mureșan, 1969).

În ceea ce privește mineralizația de magnetită, intrușit aceasta substituie pirita (Gurău, 1970) și se dispune pe linia de fractură în culcușul lentilei II, poate fi considerată ca o mineralizație ulterioară sulfurilor, suprapusă în parte peste acestea. Magnetita apare în multe cazuri pe fisuri în șisturile din zăcămînt sau în fisurile anelavelor de cuarț alb sticlos din lentilele de sulfuri metalice.

Cercetările geochemice corelate cu cele microtectonice sprijină, de asemenea, ideea legăturii mineralizațiilor de sulfuri cu magmatismul kimeric, care a generat porfirele cuarțifere de pe linia Peceneaga-Camena. Vîrstă medie absolută determinată de Giuşcă et al. (1967) pe cristale de ortoză din esantioanele colectate de la Cîrjelari, este de 200 milioane ani sau 180—235 milioane ani pentru cele de la Sacirbair, care le situează după scara lui Holmes (1937) în Permianul superior sau în Triasicul mediu, după scara lui Kulp (1960).

Mineralizația de sulfuri metalice de la Altin-Tepe poate fi legată, prin urmare, de niște roci eruptive acide, aflate mai în adîncime pe o ramură a faliei Ceamurlia — Topologul, care separă șisturile mezometamorfice de șisturile verzi. Prin parageneza cu magnetita zăcămîntul de sulfuri metalice de la Altin-Tepe are asemănări cu cel de la Moldova Nouă, localizat în banatite sau la contactul acestora cu calcarele. Nu este exclud, prin urmare, ca o varietate de roci acide eruptive sau filoniene să fi generat și zăcămîntul de sulfuri și magnetită de la Altin-Tepe. Porfirele cuarțifere de la Camena prezintă indici de mineralizare cu sulfuri de Cu pe fisurile endocinctice malachitizări în șisturile verzi care le înconjoară, ceea ce pledează în favoarea legăturii zăcămîntului cu erupțiuni de tip acid.

## BIBLIOGRAFIE

- Audreatta G. (1957) O regenerirovannih mestorojdenii putjom magmaticescoi, tectono-metamorficesei mobilizații. *Rudnîe regenerirovannye mestorojdeniya*. Iz-vo I.I. 235—243 Moskva.
- Bercia I. (1967) Studii microtectonice în șisturile cristaline din regiună Ghelar — Vadul Dobrii (Muntii Poiana Rusă). *Stud. Cerc. Geol. Geof. Geogr., Ser. geol.*, 12, 1, 97—127 Ediț. Acad., București.
- Betehtin A. G. (1955) Ghidotermalne rastvorî, ih prirodi i projezi rudoobrazovaniia. *Osnovniye problemi izuchenija magmatogennih rudnyh mestorojdenij*. Ed. Acad. Nauk U.S.S.R. 125—275 Moskva.



- Bujor D. I. (1936) Die kristallinen Schiefer der mittleren Dobrogea. Sonderabdruck. *Jahrb. Min., Geol. und Paleont.*, Stuttgart.
- Cosma St., Teodoru L., Bretoiu Camelia (1962) Cercetări geologice în Dobrogea Centrală. *D.S. Com. Geol.* XLVI, 208—224 Bucureşti.
- Dunham K. G., Dines H. G. (1945) Barium minerals in England and Wales. *Geol. Surv. War-time pamphlet* 46.
- Emmons W. H. (1936) Hypogene zoning in metalliferous bodies. *Intern. Geol. Congres, Rept 16th Session.*
- Fersman A. E. (1934) Geochemistry. Izd. Goschimtehizdat, Moscow.
- Gheorghiu C. (1958) Considerații asupra genezei unor acumulații de sulfuri metalice din sisturile cristaline din R.P.R. *Anul. Univ. St. Nat.* 10, 145—170 București.
- Giușcă D., Ianovici V., Minzatu Silvia, Sorociu M., Lemne Maria, Tănăsescu Anca, Ionică Magdalena (1967) Asupra vîrstei absolute a formațiunilor cristaline din vorlandul orogenului carpatic. *Stud. cerc. geol. geogr., seria geol.*, Edit. Acad., București.
- Gurău A. (1967) Date noi privind structura geologică și geneza zăcamintului de sulfuri metaslice de la Muncelul Mic (Poiana Rusă). *D.S. Com. Stud. Geol.* LIII/1, 247—256 București.
- (1970) Structura în budine eșalonate a zăcamintului Altin Tepe — Movila Goală Dobrogea Centrală. *D.S. Inst. Geol.* LVI 1968—1969, 57—71, București.
  - (1969) Studiu structural și genetic al zăcamintelor metalifere din sisturile cristaline ale Carpaților Orientali. *D.S. Inst. Geol.* LIV/2, 151—186 (1967—1968), București.
  - (1966) Cercetări geologice structurale (microtectonice) pentru prospectarea în extindere a zăcamintului de la Altin Tepe. *Revista Minelor* XVIII, 1, 45—48 București.
- Ianovici V., Giușcă D. (1961) Date noi asupra fundamentului cristalin al podișului Moldovenesc și Dobrogei. *Stud. cerc. geol. geogr., seria geol.* 1, Edit. Acad. VI, București.
- Dimitriu Al. (1968) Fundamentarea concluziilor în cercetarea geochemicală cu ajutorul statisticii matematice. *D.S. Inst. Geol.* LIII/3, București.
  - Dimitriu Al., Petre Andăr (1971) Considerații chimico-statistice asupra genezei mineralizației de la Altin Tepe. *D.S. Inst. Geol.*, LVII 5—13 (1969—1970), București.
  - Dimitriu Al. (1971) Recherche statistique des auréoles géochimiques endogènes. Al II-lea Colocviu național de modele matematice în geoștiințe. Inst. de Petr., Gaze Geol., București.
- Ionescu C., Ignat V., Codarcea Venca (1967) Étude structurale de la zone des schistes veris de la Dobrogea Centrale. *Assoc. Géol. Carp. — Balk.* VIII, 127—132 Congr. I, Beograd.
- Kräutner H. (1961) Zăcamintul de sulfuri de la Muncelul Mic Poiana Rusă. *Congresul V al Assc. Carp. — Balk.* II 97—114 București.
- Kreiter V. B. (1957) Structuri rudnii polei i meslorojenii. Goschimtehizdat, Moscow.
- Matheron G. (1962) Traité de géostatistique appliquée à l'Anal. du Bureau de Recherches géologiques et min., 14, Eds. Technique, Paris.
- Mendelsohn F. (1961) The geology of the Northern Rhodesian Copperbelt. Macdonald, London.
- Metas C. I. (1913) Die Tuffzone der Mittleren Dobrogea und die Kieslagerstätten von Altin Tepe; ein Beispiel der Epigenese, Dissertation, Berlin.

- Mureșan M. (1969) Studii asupra zăcămintului de pirită cu magnetit de la Altin Tepe Dobrogea Centrală. I. Înădrarea genetică a mineralizației. *D.S. Inst. Geol.* 204: 228 LIV/2, 204–228 1966–1967, București.
- (1972) Studii asupra zăcămintului de pirită cu magnetit de la Altin Tepe Dobrogea Centrală. II. Poziția stratigrafică a mineralizației. *D.S. Inst. Geol.* LVIII/2, 26–51 București.
- Nitușescu I., Filipescu L., Dumitru Elena (1967) Contribuții la cunoașterea mineralizațiilor zăcămintului de la Altin Tepe, cu privire specială asupra genezei. *Bul. Geol. Min.* 1, 33–64 București.
- Pascu R. (1914) Zăcămintul de minereuri de la Altin Tepe – Ciamurlia de Sus, district Tulcea. *An. Inst. Geol. Rom.* VIII, București.
- Patriciu V. (1933) Minereurile din Dobrogea și exploataările miniere de la Altin Tepe. *Revista Minelor*, București.
- Petrulin N., Steelac Livia, Sadu D., Grooveanu Florica (1965) Studiul mineralologic, geochemical și genetic al zăcămintului cuprifer de la Deva. *Stud. cerc. geol. geofiz. geogr., Seria geol.* 10/1, Edit. Acad., București.
- Pitulea G., Gurau A., Tănăsescu I.L. (1965) Studiul microtectonic al zăcămintului de harită de la Ostra. *D.S. Com. Geol.* LI/1, 335–387, București.
- Ramdohr P. (1957) O metamorfismă în vîtricinoi mobilizații. *Rudnate regenerirovannye mestorojdenija*. Iz-vo I. L., 199–211 Moseva.
- Rodionov D. A. (1964) Functii raspridelenia soderjania elementov mineralov v izverjeniih gornih parodah. Iz-vo Nauka, Moscova.
- Routhier P. (1963) Les gisements métallifères ; géologie et principes de recherche. Masson, 2, Paris.
- Sarapov I. P. (1968) Utilizarea statisticii matematice în geologie. Edit. Tehnică, București.
- Schneiderhahn H. (1957) Genezicheskaja clasificacija mestorojdenij na gheotectonicskoj oznove. *Regenerirovannye rudnate mestorojdenija*. Iz-vo I. L., 11–63 Moseva.
- Tănăsescu I.L., Pitulea G. (1962) Considerații asupra mineralizațiilor de harită de la Ostra (Carpații Orientali). *Revista Minelor*, XIII, 6, București.
- Turner F. J., Weiss L.E. (1963) Structural Analysis of Metamorphic Tectonites. McGraw Hill, New York.

## ZONALITÉ GÉOCHIMIQUE DES ÉLÉMENTS MAJEURS DU GISEMENT À SULFURES POLYMETALLIQUES ET À MAG- NÉTITE DE ALTIN-TEPE (DOBROGEA CENTRALE)

(Résumé)

Le gisement de sulfures polymétalliques de Altin-Tepe localisé dans les schistes cristallins mésométamorphiques et à métagrauwacké ayant subi une altération hydrothermale contiennent aussi de la magnétite.

Le gisement est formé d'environ 5–6 lentilles épaisses de 1 à 18 m, larges de 50 à 120 m et longues en direction du pendage d'environ 1000 m. Elles s'échelonnent en direction



WNW-ESE et présentent des pendages de 25 à 60° vers le SSE, parallèles aux axes des plis B et aux linéations b<sub>1</sub>.

Au point de vue minéralogique le long de la direction du pendage on a identifié une zone d'oxydation épaisse de 50–60 m, une zone de cimentation qui s'étend jusque sous l'horizon –250 m à partir duquel a lieu le passage vers la zone de mineral primaire.

Dans la zone d'oxydation se développent : la limonite, la malachite, l'azurite, le cuprite, la magnétite et le zigcherz.

Dans la zone de cimentation apparaissent : la pyrite, la mélantérite, la chalcosine, la covellite, le cuivre natif, la magnétite, la clacanite, la blonde et la galène.

Dans la zone primaire prédominent : la pyrite (45–50%), la magnétite (20%), la chalco-pyrite, la blonde, la galène, la pyrrhotine, l'oligiste, le bronzite, la chalcozinc et la covellite. Le quartz et la barytine sont en proportion de 20%.

Prenant comme point de départ la prémissse connue, notamment que les lois de la distribution des éléments majeurs dans les gisements polymétalliques reflètent leur manière de formation, nous présentons dans cette étude la géochimie des éléments majeurs mise en évidence par la méthode de l'interpolation des valeurs de la proportion en Cu, Zn dans les travaux miniers transversaux effectués dans le niveau basal, autant que par l'interprétation de ces valeurs à base de statistique mathématique.

Nous avons obtenu ainsi l'image d'une zonalité géochimique transversale pour le Zn et le Cu de chaque lentille à part (L I, L II, L III et L IV).

Les zones à teneur plus élevée en Cu sont les zones centrales des lentilles sans coïncider cependant aux zones abondant en Zn.

Les diagrammes ternaires : Cu, Pb, Zn révèlent une minéralisation zinco-cuprifère dans la lentille I et cupro-zincifère dans les lentilles II et III.

Les histogrammes et les courbes de fréquence du Cu et du S des zones d'imprégnation des lentilles I, II et III reflètent la loi de la distribution normale. Les histogrammes des S, Cu; Zn de la minéralisation compacte reflètent eux aussi une distribution normale. Les histogrammes du Pb reflètent une distribution mixte, lognormale dans la lentille I et normale dans la lentille II. La distribution de l'or est lognormale.

Les coefficients de corrélation entre le Cu; Zn; Pb calculés séparément pour chaque lentille, conforme au tableau sont :

TABLEAU

Lentille	r/Cu—Zn			r/Cu—Pb			r/Zn—Pb		
	simple	part.	Math.	simple	part.	Math.	simple	part.	Math.
L I horiz; 450	-0,36	-0,37	-0,278	-0,036	0,03	-	0,19	0,19	0,348
L II -15, -500	0,025	0,02	0,194	-0,1	0,00	-	0,06	-0,90	-
L III -450	-0,12	-0,12	-0,265	-0,27	-0,27	-	0,036	0,002	-



Il en résulte du tableau ci-dessus que dans les horizons moyens prédominent des rapports négatifs ou proches de zéro, fait qui met en évidence le phénomène de différenciation géochimique des éléments des solutions hydrothermales ainsi que la zonalité géochimique des éléments majeurs dans les coupes transversales des lentilles de minéral.

Les coefficients de corrélation entre le Cu, Pb, Zn cantonnés dans des niveaux profonds déterminés par Ianovali, Dimitriu (1971) pour quatre forages profonds sont positifs (0,4—0,8) tant à l'intérieur des lentilles que dans les imprégnations du toit et du mur.

La variation en sens vertical des coefficients de corrélation des valeurs positives en profondeur vers des valeurs négatives dans les niveaux supérieurs des lentilles atteste que le processus de différenciation géochimique du Cu, Zn Pb a eu lieu aussi dans ce sens. Le tableau I révèle également que l'intensité des processus de différenciation géochimique des éléments majeurs varie d'une lentille à l'autre et d'un élément à l'autre.

Il en résulte également que la valeur positive proche de 1 du coefficient de corrélation trahit le voisinage des minéralisations de la source qui les a engendrées. Plus la valeur négative du coefficient de corrélation est proche de -1 plus l'intensité des processus de différenciation géochimique et la distance par rapport à la source de minéralisation sont grandes.

L'étude microtectonique effectuée dans la zone du gisement met en évidence une intense migration des éléments structuraux des axes (inclinaison  $b_1$ , axes  $B_1$ , pôles  $B$ , pôles  $ac$ ) le long de deux plans de cisaillement, dont l'un en direction NNW-SSE/60°—90°S et l'autre NNE-SSW/60°—90°S correspondant à deux systèmes de failles (*hol*) qui s'intersectent exactement le long des axes  $B$ , des inclinations  $b_1$  et des pôles  $B$  en direction SSE/25°—80°. Outre les fissures „*hol*“ il y a aussi des fissures „*ac*“.

Une coupe effectuée au hasard à travers l'axe  $B$  montre que la direction des corps de minéral est discordante par rapport à la direction de l'échelonnement des plis mineurs, notamment NW-NW-ESE.

Cette même coupe dévoile que les lentilles présentent plusieurs digitations, prédominantes, quant au nombre et à la longueur, à la partie supérieure des lentilles.

La zonalité géochimique du Cu et du Zn dans les coupes transversales des corps enticulaires de minéral, la variation des coefficients de corrélation le long de la direction du pendage des lentilles, la coïncidence des lentilles avec les fractures „*hol*“, la forme irrégulière des lentilles (y compris les digitations), l'aurore des zones d'imprégnation tout au tour de la minéralisation compacte sont des éléments qui plaident en faveur d'une minéralisation hydrothermale métasomatique post-métamorphique.

La minéralisation à magnétite a substitué la pyrite et s'est accumulée elle aussi le long de la fracture, dans le mur de la minéralisation à sulfures des lentilles II ou le long des fissures des schistes ou du quartz hydrothermal. On pourrait envisager la magnétite comme une minéralisation ultérieure aux sulfures et partiellement superposée à ceux-ci.

Les études géochimiques et microtectoniques mettent en évidence la dépendance des minéralisations de sulfures du magmatisme cimmerien qui a engendré les porphyres quartzifères situés le long de la faille de Peceneaga-Camena. L'âge absolu moyen déterminé par Giusea, et al. (1967) à partir de cristaux d'orthose prélevés par Giusea de Cirjelari et de Sacrair est de 200 m.a. pour les premiers et de 180—236 m.a. pour les seconds, fait qui les situe, selon l'échelle de Holmes (1937) dans le Permien supérieur ou selon l'échelle de Kulp (1960) dans le Trias moyen.

La minéralisation de sulfures polymétalliques de Altin-Tepc pourrait donc être rattachée aux roches éruptives acides (probablement porphyres quartzifères) qui occupent en profondeur une ramifications de la faille de Giamurlia-Topologul, faille qui sépare les schistes méso-

métamorphiques des schistes veris, alors que la paragenèse avec la magnétite approche ce gisement de celui de Moldova Nouă cantonné dans les banatites ou au contact des banatites avec les calcaires.

Il n'est pourtant pas exclu qu'une variété de roches acides éruptives ou filoniennes ait engendré la minéralisation de sulfures et de magnétite de Altin-Tepe.

Les porphyres quartzifères de Camena présentent des indices de minéralisation de sulfures de Cu le long des fissures endocrinétiques et des malachitisations dans les schistes veris encaissants, fait qui plaide en faveur de l'appartenance de ce gisement aux éruptions de type acide post-métamorphiques.

## EXPLICATIONS DES PLANCHES

### Planche III

Distribution du zinc dans la lentille I (A), horizon -450 m et du cuivre dans les horizons -450m, -500m, -550 m (B,C,D).

1, (0-1%) dans la minéralisation des impregnations ; 2-7, (1-2-3-4-5-6 %), dans la minéralisation compacte ; 8, schistes cristallins à altération hydrothermale ; 9, travaux transversaux dans la lentille I pour prélever des échantillons ; 10, a,b,c,d,e, ramifications de la lentille I.

### Planche IV

Distribution du cuivre dans la lentille II des horizons -350m, -450m, -550m dans l'exploitation d'Altin Tepe.

1, (de 0-1 %) dans la zone d'impregnation ; 2-6, (1-2-3-4-5 %) dans la minéralisation compacte ; 7, schistes cristallins à altération hydrothermale ; 8, travaux dans la lentille II pour prélever des échantillons ; 9, a,b,c,d, ramifications de la lentille II.

### Planche V

Distribution du cuivre dans la lentille III, horizons -350 m, -450 m, et dans la lentille IV, horizon -350 m.

1, (0-1%) dans la zone d'impregnation ; 2-8, (1-2-3-4-5-6-7 %) dans la minéralisation compacte ; 9, schistes cristallins à altérations hydrothermales ; 10, travaux dans la lentille III pour prélever des échantillons ; 11,b,c,d, ramifications de la lentille III.

### Planche VI

Tectonogrammes des éléments microtectoniques plans et linéaires de la zone des schistes métamorphiques, des schistes rétromorphisés (?) et du gisement de Altin Tepe.

D<sub>1</sub>, tectonogramme des pôles S<sub>1</sub>; D<sub>2</sub>, tectonogramme des lenticulations h<sub>1</sub>; D<sub>3</sub>, tectonogramme des pôles B; D<sub>4</sub>, tectonogramme des pôles des fissures ac; D<sub>5</sub>, tectonogramme des pôles S<sub>1</sub> et migration des lenticulations le long du plan (hol); D<sub>6</sub>, D<sub>23</sub>, tectonogrammes des plans S<sub>1</sub> et matérialisation du pôle II; D<sub>7</sub>, tectonogramme des pôles S<sub>1</sub> et ac;



$D_8$ ,  $D_{12}$ ,  $D_{17}$ ,  $D_{19}$  tectonogrammes montrant la migration des pôles ac le long de plans (hol) ;  $D_{15}$ ,  $D_{14}$ ,  $D_{18}$ ,  $D_{22}$ , tectonogrammes montrant la migration des linéations  $b_1$  le long des plans (hol) ;  $D_{18}$ , tectonogramme pour la zone d'oxydation de la nouvelle dynamitière et des plans  $S_1$  plissés ;  $D_{23}$ , tectonogramme des fissures hol pour l'horizon -400 m dans le gisement.

## PLANSA I

Fig. 1.— Liniații  $b_1$  cu înclinare spre SSE, în șisturile mezometamorfice alterate din zona zăcământului (lentila III).

Linéations  $b_1$  inclinées vers le SSE, dans les schistes mésométamorphiques altérés de la zone du gisement (lentille III).

Fig. 2. — Mineralizație de sulfuri cu textură compactă (lentila I).

Minéralisation de sulfures à texture compacte (lentille I).



A. GURĂU. Zonalitatea elementelor în zăcămîntul Altîn Tepe. Pl. I.



Institutul Geologic. Dări de seamă ale şedinţelor, vol. LIX/2.

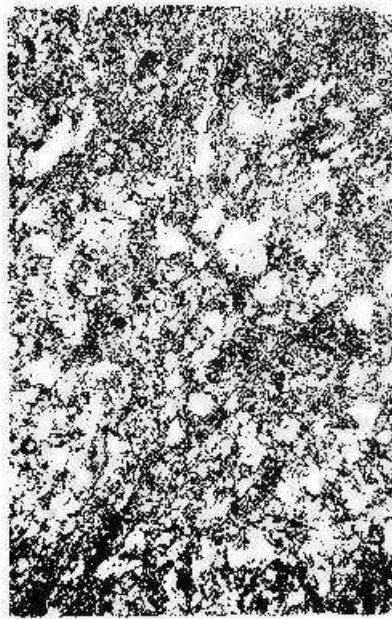
## PLANŞA II

- Fig. 1. — Metagranwacke de la dinamitiera nouă din zona de oxidatie, cu textură blastopasmitică.  
Métagranwacke de la nouvelle dynamiterie de la zone d'oxydation, à texture blastopasmitique.
- Fig. 2. — Schist cuarțito-feldspatic din zona de oxidatie de la dinamitiera nouă, cu porfiroblaste de cuarț (a) și albit (Ab) cu măceșe polisintetice.  
Schiste quartzito-feldspathique de la zone d'oxydation de la nouvelle dynamiterie à porphyroblastes de quartz (a) et albite (Ab) à macles polysynthétiques.
- Fig. 3. — Metagranwacke cutată.  
Métagranwacke plissée.



A. GURĂT: Zonălitatea elementelor în zăcămîntul Altin Tepe.

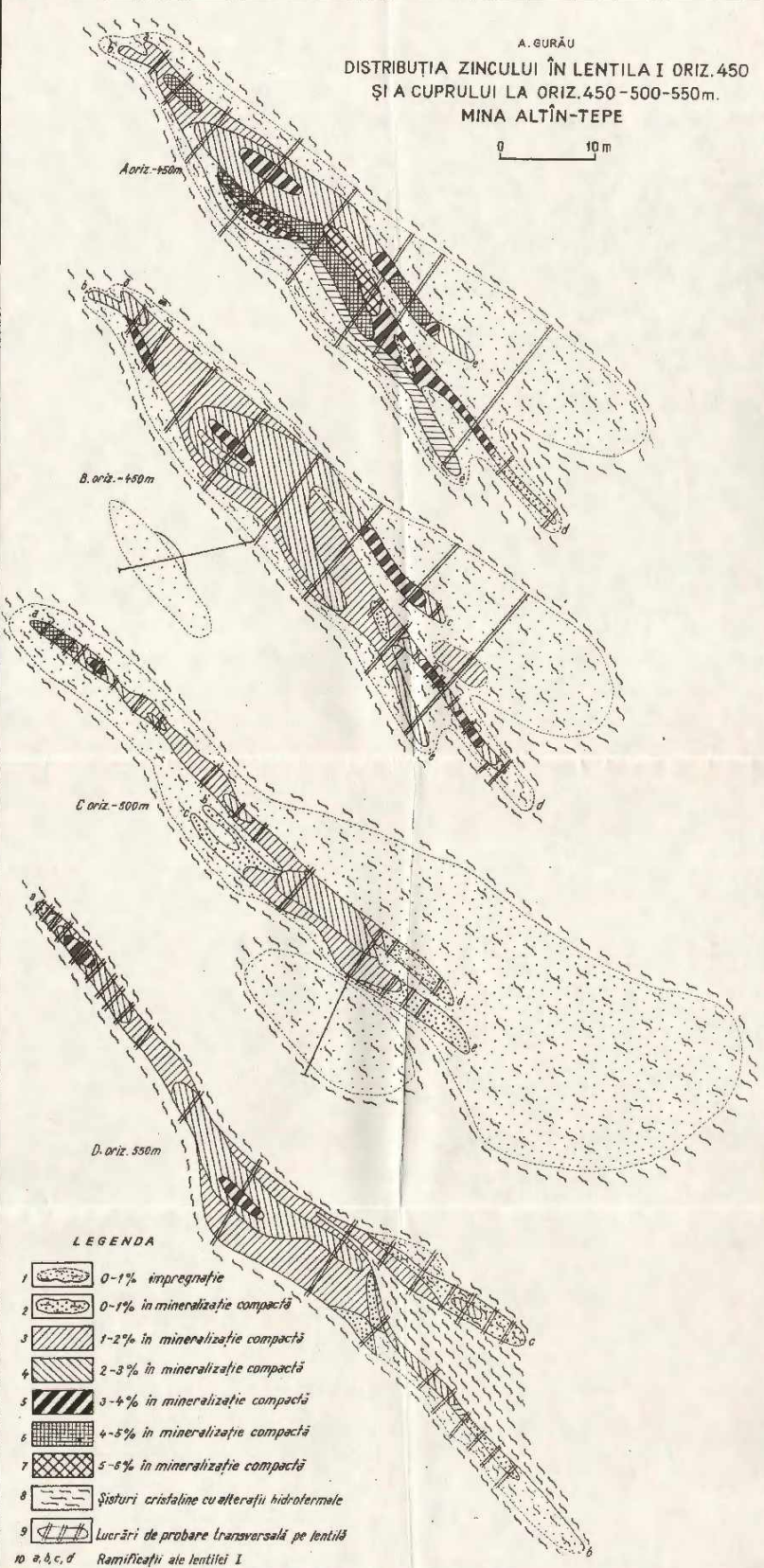
Pl. III.



Institutul Geologic. Dărî de seamă ale secțiilor, vol. LIX/2.

A.GURĂU  
DISTRIBUȚIA ZINCULUI ÎN LENTILA I ORIZ.450  
ȘI A CUPRULUI LA ORIZ.450-500-550m.  
MINA ALTÎN-TEPE

0 10 m



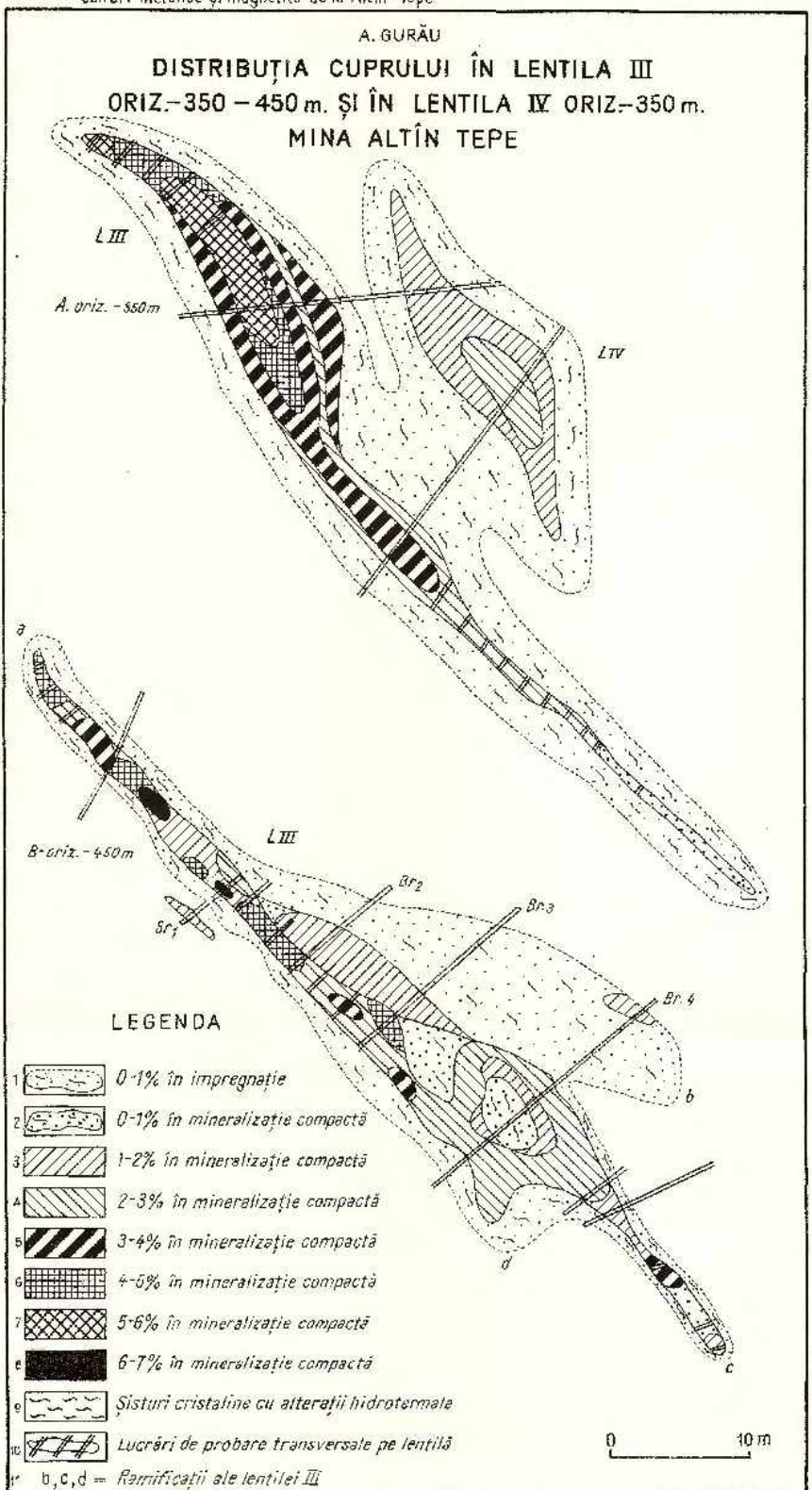
A. GURĂU

**DISTRIBUȚIA CUPRULUI ÎN LENTILA II  
LA ORIZONTURILE – 350;–450;–550 m. MINA ALTÎN TEPE**

*A. oriz. 350 m.**b*  
*B. oriz. 450 m.**c*  
*C. oriz. 500 m.**d*  
*D. oriz. 550 m.***LEGENDA**

- 1 0-1% în impregnație
- 2 0-1% în mineralizație compactă
- 3 1-2% în mineralizație compactă
- 4 2-3% în mineralizație compactă
- 5 3-4% în mineralizație compactă
- 6 4-5% în mineralizație compactă
- 7 Sisturi cristaline cu alterații hidrotermale
- 8 Lucrări de probare transversală pe lentile

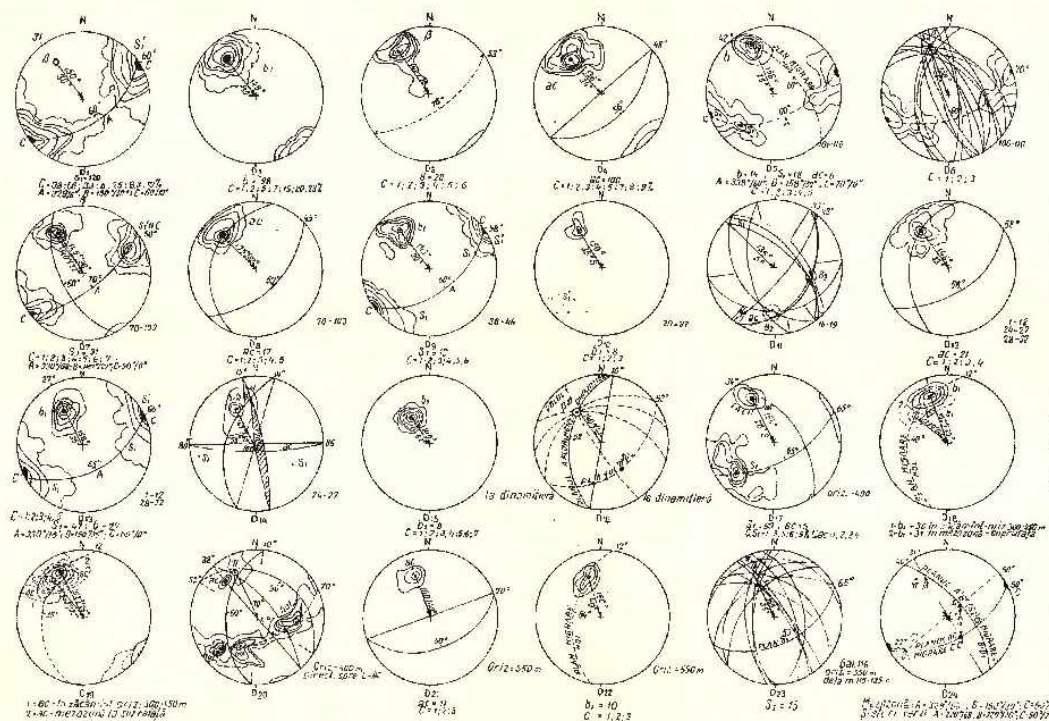
9. a, b, c, d = Ramificații ale lentilei II



A. SURĂU. Zonălitatea geochemicală a elementelor majore în zăcămîntul de sulfuri metalice și magnetită de la Altîn-Tepe

Pt.vi

**A. SURĂU**  
**TECTONOGRAAMELE ELEMENTELOR MICROTECTONICE PLANE ȘI LINIARE**  
**DIN ZONA ȘISTURILOR MEZOMETAMORFICE, SISTURILOR RETROMORFOZATE(?) ȘI ZĂCĂMÎNTUL ALTÎN-TEPE**



INSTITUTUL GEOLOGIC. Cărți de seame vol. LIX/2

Imprim. Atel. Inst. Gcol.



Institutul Geologic al României

## 2. ZĂCĂMINTE

### CONTRIBUȚII LA CUNOAȘTEREA MINERALIZAȚIEI DE BOR DIN ZĂCĂMINTUL DE LA BĂIȘOARA (MUNTII APUSENI)<sup>1</sup>

DE

ION INTORSUREANU, MARIA POPESCU<sup>2</sup>

#### Abstract

*Contributions to the Knowledge of Boron from the Băișoara Ore Deposit (Apuseni Mountains). New mineralizations of boron have been identified in the pyrometasomatic-hydrothermal ore deposit from the Băișoara area pertaining to the metallogenetical province of the Banatitic magmatism (Iaramic). This mineralization is constantly localized in dolomites or associated metasomatites (magnesian skarns, pyroxenic skarns), and is represented by ludwigite and ascharite (szaibelyite) associated with oxides and iron sulphides. The chief factors which have controlled the genesis of the boron mineralization were the magmatic supply of boron and the existence of crystalline dolomites which have furnished magnesium by remobilization, under the conditions of a weakly alkaline semioxidating environment.*

În subsolul țării noastre se cunosc relativ puține minerale de bor, iar concentrațiile cu importanță economică sunt asociate exclusiv provinciei metalogenetice a magmatismului banatitic (Iaramic). Încă din secolul trecut, au fost semnalate minerale endogene de bor la Oena de Fier (Banat), și Băița Bihorului (Muntii Apuseni) — ludwigitul, szaibelytul și mai târziu kotoitul — fiind descrise pentru prima dată ca minerale noi în literatura mineralologică (Rădulescu, Dimirescu, 1966).

Cercetările recente efectuate asupra zăcămîntului de la Băișoara (Muntii Apuseni) au condus la identificarea unor noi acumulări de minerale de bor de natură pirometasomatică-hidrotermală, în asociație genetică cu oxizi și sulfuri de fier.

<sup>1</sup> Comunicare în ședință din 26 mai 1972.

<sup>2</sup> Institutul Geologic, Sos. Kiseleff nr. 55, București.

În lucrarea de față ne vom ocupa de unele aspecte privind localizarea, descrierea și geneza acestei mineralizații de bor.

Zăcământul de la Băișoara este situat în partea estică a munților Gilău, în zona de contact morfostructural a formațiunilor cristaline cu depozitele eocene ale bazinului Jara. Genetic, zăcământul aparține provinciei metalogenetice a magmatismului banatitic, fiind generat prin procese pirometasomatic-bidrotermale, ca urmare a punerii în loc a unor corpuri de banatite, cu caracter intrusiv, în formațiunile cristaline, cu nivale de roci carbonatice, uneori bine dezvoltate.

Cercetarea zăcământului s-a efectuat prin foraje de mică adâncime, amplasate în general pe anomaliiile magnetometrice și se continuă prin lucrări miniere. S-au stabilit caracterele principale legate de petrografia, mineralogia, geochimia și geneza acestor acumulări<sup>3,4,5,6,7,8</sup>.

Prezența ludwigitului a fost semnalată recent în cîteva foraje amplasate la contactul dintre rocile granodioritice și carbonatice, făcîndu-se o descriere mineralologică și precizîndu-se unele condiții genetice (Ionescu, Popescu, Întorsureanu, 1971). Ulterior<sup>9</sup> s-au mai identificat, prin lucrări miniere, alte zone cu mineralizații de bor.

#### I. SCURTĂ CARACTERIZARE GEOLOGICĂ

Studiile efectuate arată că în alcătuirea geologică a zonei zăcământului, participă formațiuni cristaline, depozite sedimentare și produse ale magmatismului banatitic (pl. IV).

Formațiunile cristaline alcătuiesc fundamentul care este în cea mai mare parte acoperit de depozitele eocene ale bazinului Jara. Aceste

<sup>3</sup> Emilia Ghenea. Raport asupra cercetărilor geologice din regiunea Băișoara, Cluj, 1956. Arh. M.M.P.G. București.

<sup>4</sup> M. Borcoș, Elena Borcoș. Raport geologic asupra regiunii Runc-Segagel-Valea Ierii-sal. 1957. Arh. Inst. Geol. București.

<sup>5</sup> I. Întorsureanu, Maria Popescu. Cercetări preliminare asupra minerației pirometasomatische de la Băișoara. 1970. Arh. Inst. Geol. București.

<sup>6</sup> C. Lazăr. Studiul skarnelor și mineralizațiilor asociate din Munții Apuseni (Băișoara). 1970. Arh. Inst. Geol. București.

<sup>7</sup> C. Lazăr, I. Întorsureanu, Maria Popescu. Studiul petrografic al zăcământului de la Băișoara. 1971. Arh. Inst. Geol., București.

<sup>8</sup> Maria Popescu, I. Întorsureanu, C. Lazăr, Catrinel Papadopol. Studiul mineralologic și geochimic al zăcământului de la Băișoara. 1972. Arh. Inst. Geol., București.

<sup>9</sup> Op. cit. pct. 4.

formațiuni au fost încadrate în trei serii: seria de Baia de Arieș (cristalin de Gilău), seria de Biharia (cristalin de Bihor) și seria de Păiușeni (cristalin de Hîgliș), fiind generate în cadrul a trei cicluri tectono-magmatice, de vîrstă diferite — pre-rifcan, rifcan și paleozoic (Giusea, Savu, Borcoș, 1967). Litologic, seria de Baia de Arieș se compune din două complexe: complexul detritogen (micasisturi, sisturi cuarțitice, cuarțite paragnaise și amfibolite) și complexul carbonatic (calcare și dolomite cristaline). Seria de Biharia apare în partea vestică a zăcămîntului, fiind reprezentată prin plagiometavulcanite, în alternanță cu sisturi cuarțitice sericito-cloritoase (Mirza, 1969), iar seria de Păiușeni formează o fîșie cu lățimi reduse și este alcătuită din conglomerate, microconglomerate și cuarțite slab metamorfozate.

Depozitele sedimentare aparțin Permianului, Cretacicului, Eocenului, Tortonianului și Cuaternarului. Dintre acestea, o dezvoltare remarcabilă prezintă formațiunile eocene care acoperă cea mai mare parte a perimetrlui în care se află zăcămîntul și aparțin seriei argilelor vîrgate inferioare din bazinul Iara<sup>10</sup>, cu grosimi care pot ajunge pînă la 50 m.

Magmatismul banatitic, amorsat de mișcările disjunctive laramice, a generat o serie de corpuri, filoane, silluri și aposize, cu caracter subvulcanic, intruse atît în formațiunile cristaline cît și în depozitele sedimentare (permiene și cretacice). Se presupune că în adîncime aceste corpuri, de dimensiuni în general mici, alcătuiesc un batolit (Borcoș, Borcoș, 1962). Petrografic, produsele magmatismului banatitic se încadrează într-o serie largă de roci, reprezentate prin: granite, granodiorite, porfirice, porfire granodioritice, microdiorite porfirice, andezite, aplite granitice și pegmatite, ca rezultat al procesului de diferențiere și consolidare al unui litomagine cu un slab caracter calcic (Lazăr, În torsurănu, Popescu, 1971).

Metamorfismul magmatic (banatitic) a produs o aureolă de contact cu structură complexă, în care transformările izochimice, allochimice și depunerile hidrotermale, de intensități diferite, se suprapun spațial și se succed în timp. S-a format astfel o suită largă de roci caracteristice acestui metamorfism reprezentate prin diverse tipuri de cornecene, marmure, skarne, pseudoskarne și hidrotermalite. În strînsă asociere s-a dezvoltat o importantă mineralizație metaliferă, alcătuită predominant din oxizi de fier (magnetit ± hematit) și sulfuri de fier (pirotină, pirită ± marcasită), la care se adaugă o mineralizație de bor (ludwigit, szabolyt), iar subordonat o mineralizație polimetalică (mispichet, calcopirită, blendă,

<sup>10</sup> Emilia Saulea. Raport asupra geologicăi bazinului Iara. 1954. Arh. Inst. Geol. București.

galenă și molibdenit). Mineralizația formează acumulații compacte sau impregnații, alcătuind corpuri sau zone cu dimensiuni și forme variate localizate frecvent în skarne.

## II. DESCRIEREA MINERALIZAȚIEI DE BOR

Mineralizația de bor din cadrul zăcământului de la Băișoara a fost identificată în carotele cîtorva foraje și în luerările subterane săpate din puțul Mașca.

În foraje (31708, 31757, 31783), ludwigitul în asociație cu magnetitul formează de regulă benzi sau impregnații cu grosimi centimetrice, localizate în skarne magneziene sau dolomite slab afectate, de culoare cenușie, microgranoblastice. Uneori contactul dintre mineralizație și dolomite se face prin intermediul unei benzi de 2–3 mm de ludwigit.

În luerările subterane, mineralizația de bor a fost identificată în orizontul –160 m, suborizontul –140 m, și orizontul –120 m. La nivelul orizontului –160 m (fig. 1) în nișă suitorului 1 s-a interceptat un corp cu mineralizație compactă de bor. Forma și dimensiunea acestuia nu sunt stabilite exact, dar se poate aprecia o grosime de 7–8 m și o lungime de ordinul zecilor de metri. Mineralizația este alcătuită din ludwigit și szaibelyt, cu slabe impregnații de magnetit, care devin mai frecvente spre zonile marginale. Corpul se află la o distanță de cca 10–12 m de contactul cu granodioritele, fiind localizat aproximativ în partea centrală a unui corp de magnetit, care la rîndul său este situat în skarne cu granati și piroxeni, uneori cu zone de serpentinizare și care s-au dezvoltat pe seama dolomitelor.

În suborizontul –140 m, mineralizația de bor, în asociații cu ecă de fier, a fost întîlnită în laterală SW, sub forma unei fișii cu grosimea de 40–60 cm, în care predomină magnetitul. Zona este localizată între dolomite cenușii, ușor transformate și roci puternic silicificate. Este foarte posibil ca această zonă să fie în continuarea celei de la orizontul –160 m. La nivelul orizontului –120 m de asemenea s-a identificat o fișie cu ludwigit și ascharit, cu o grosime de aproximativ 1,–1,5 m, localizată între dolomite recristalizate și skarne magneziene serpentinizate (fig. 2).

Mineralizația de bor prezintă o culoare negricioasă-verzuie, iar atunci cînd procesul de ascharitzare este mai avansat, apar zone sau benzi difuze de culoare cenușiu-albicioasă. Predomină textura masivă alcătuită din agregate fibroblastice, cu lungimea fibrelor de maximuni 2–3 cm, cu luciu mat și mai rar sticlos-mătăsos. Fibroblastele au o dispoziție paralelă și/sau radiară (Pl. I, fig. 1). Uneori s-a observat și o textură slab

rubanată, alcătuită din alternanță benzilor milimetrice de ludwigit cu cele de magnetit, sau din benzi discontinue de agregate lenticulare de ludwigit, cu dimensiuni de ordinul milimetrelor, dispuse în dolomite recristalizate. Această textură imprimă minereului un aspect pestriț-vărgat

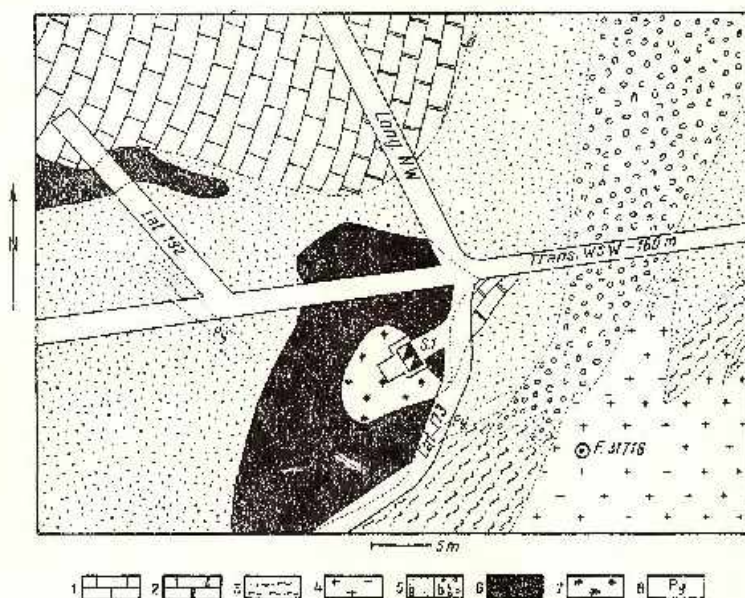


Fig. 1. — Localizarea mineralizației de bor, la nivelul orizontalului - 160 m.

1, calcar cristalin; 2, dolomit cristalin; 3, schiste quartzitice cornificate; 4, granodioriti porfirici; 5 a, exoskarn; 5 b, endoskarn; 6, magnetit; 7, ludwigit; 8, pyrofilit.

Localisation de la minéralisation de bore, au niveau de l'horizon - 160 m  
1, calcaire cristallin; 2, dolomie cristallin. 3, schistes quartzitiques cornifiés; 4, granodiorite porphyrique; 5 a, exoskarn; 5 b, endoskarn; 6, magnétite; 7, ludwigite; 8, pyrofyllite.

(Pl. I, fig. 2) și a fost întâlnită în cîteva eșantioane recolțate din balda puțului Mașca. Mai rar apare o textură pătată (Pl. II., fig. 1.) dată de cuiburi și zone centimetriche, de culoare galben-verzuie, alcătuite din forsterit și minerale serpentinice.

Studiul microscopic a evidențiat o asociatie alcătuită, aproximativ în ordinea frecvenței, din: ludwigit, ascharit, magnetit, minerale serpentinice, forsterit, clinohumit și dolomit. În minereul cu textură rubanată, mineralele de bor sead ca frecvență, în favoarea magnetitului, dolomitului, forsteritului sau mineralelor serpentinice.

Ludwigitul are un habitus fibros-acicicular și este opac în lumină transmisă, uneori foarte puțin transparent. Capacitatea de reflexie este

reducă, bireflexia este slabă, în nuanțe cafenii-cenușii-albăstrui, iar anizotropia evidentă, albastru-cenușie în poziție de extincție și maronie la iluminarea maximă. Cristalele fibro-aciculare cu dimensiuni cuprinse între 0,001-0,002-0,44/20-30 mm, alcătuiesc o masă compactă în minereul cu

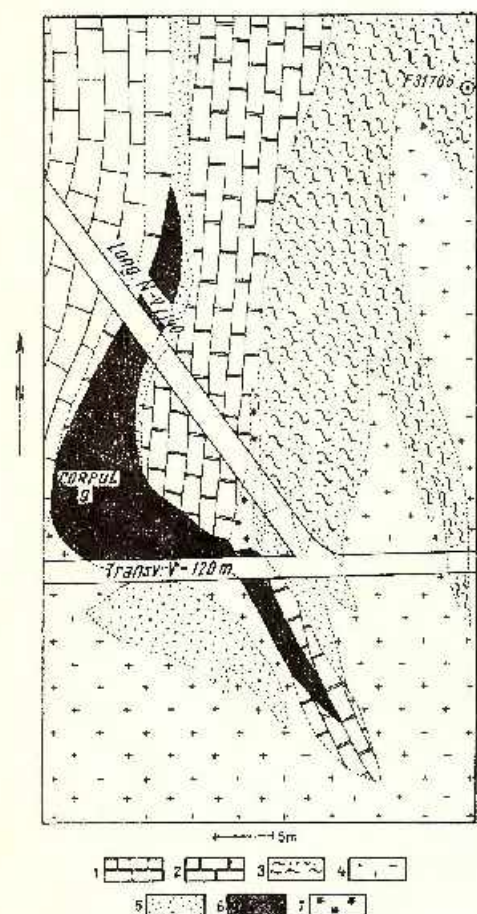


Fig. 2. - Localizarea mineralizației de boric  
 1, calcar cristalin; 2, dolomitic cristalin; 3, schiste quartalnice cornificate; 4, granodiorit porfiric; 5, skarn; 6, magnetite; 7, ludwigite.

Localisation de la minéralisation de borec  
 1, calcaire cristallin; 2, dolomitic cristallin; 3, schistes quartalniques cornifiés; 4, granodiorite porphyrique; 5, skarn; 6, magnétite; 7, ludwigite.

textură masivă, (pl. II, fig. 2), sau apar sub formă de agregate lenticulare, cu dispoziție mai mult sau mai puțin orientată, în minereul cu textură rubanată (pl. III, fig. 1). Deseori este transformat în ascharit, fibroblastele prezintând frecvente fenomene de corodare. Ascharitul apare în minereul compact sub formă de benzi slab conturate și cu grosimi milimetrice, alcătuind agregate de cristale solzoase sau aciculare, cu dimensiuni submicroscopice. Este incolor, cu extincție asimetrică și culori vii de birefringență, dezvolt-

tindu-se în principal pe seama ludwigitului. Magnetitul, fin impregnat în minereul compact, formează uneori cuiburi, sau zone mai bogate, sub formă de benzi de dimensiuni milimetrice, dezvoltate în alternață cu ludwigitul sau pe fisurile acestuia. Mineralele serpentinoase apar ca zone sau fișii, dezvoltate uneori într-o proporție însemnată, pe seama forsteritului, clinohumitului și dolomitului. Forsteritul formează cuiburi răzlețe în masa minereului cu textură pătată sau benzi intens serpentinizate în alternață cu ludwigitul și/sau magnetitul (pl. III, fig. 2). Olinohumitul apare sub formă de cristale izometrice, relegate în ludwigit, care îl substituie parțial. Dolomitul (primar) predomină în minereul cu textură rubanată, apărând sub formă de agregate cristalo-blaste, granulele având dimensiuni cuprinse între 0,01-1 mm, cîrnuite de fibroblastele de ludwigit. Uneori se observă și un dolomit secundar, care substituie mineralele formate anterior.

### III. CHIMISMUL MINERALIZAȚEI DE BOR

Pentru studiul compoziției chimice a mineralizației de bor disponem doar de o singură analiză chimică efectuată asupra unei probe de minereu compact, recoltat din orizontul -160 m, care a fost analizată de ICECHIM - București. La aceasta se mai adaugă o analiză chimică parțială asupra ludwigitului (Ionescu et al., 1971). În tabelul 1 prezentăm rezultatele acestor analize, iar pentru comparație redăm de asemenea chimismul minereului de bor de la Băița Bihorului (Stoicovici, Stoici, 1969) și chimismul ludwigitului de la Ocna de Fier (Kissling, 1967).

Din datele analitice rezultă diferențe chimice importante între minereul de bor de la Băișoara și cel de la Băița Bihorului. Se constată diferențe remarcabile la fier și calciu și mai puțin la magneziu și bor, minereul de la Băișoara fiind mult mai bogat în fier și lipsit de calciu. Explicația acestor diferențe constă probabil în modul de participare al diferitelor minerale de bor în alcătuirea probelor respective. De asemenea comparind chimismul ludwigitului de la Băișoara cu cel de la Ocna de Fier se constată că acesta are un conținut mai scăzut de MgO, iar gradul de oxidare al fierului este mai mic.

Analizele spectrale semicantitative, efectuate asupra acelorași probe (minereu și ludwigit) de la Băișoara, au dus la identificarea elementelor cuprinse în tabelul 2.

Se remarcă un conținut ridicat în Sn care apare ca substituent izomorf în rețeaua diferitelor minerale (magnetit, ludwigit etc.) dar nu

TABELUL 1

*Compoziția chimică a minereului de bor și a ludwigitului*

Oxizi	Minereu de bor % gr	Ludwigit % gr		
	una probă din orizontul - 160 m Băișoara	Media a trei probe de la Băișa-Bihor	Una probă de la Băișoara	Media a 8 probe de la Ocna de l'ier
SiO <sub>2</sub>	3,63	0,79	0,77	0,36
TiO <sub>2</sub>		0,04		
B <sub>2</sub> O <sub>3</sub>	10,27	13,82		16,36
Al <sub>2</sub> O <sub>3</sub>		0,20	1,75	
Fe <sub>2</sub> O <sub>3</sub>	57,09	0,95	29,55	38,43
FeO	12,03	0,28	19,80	13,67
MgO	13,19	19,77	27,10	31,26
CaO	18,84	32,52	0,60	
Ha <sub>2</sub> O		0,34		
K <sub>2</sub> O		0,06		
P <sub>2</sub> O <sub>5</sub>		0,13		
MnO	1,64			urme
Pb		0,05		
Zn		0,06		
Cu		0,01		
S	0,08	0,35		
H <sub>2</sub> O	0,53	30,42		
P.C.				

Analisti: Marieta Breabă, Maria Cerbureanu (pentru bor),

TABELUL 2

*Elementele determinate spectrat în minereul de bor și ludwigitul de la Băișoara (ppm)*

Element	Minereu de bor	Ludwigit
Cu	10	
Zn	580	
Sn	3800	10-30
V	20	
Mo	10	3-10
W	500	
Co	10	1-3
Ge	10	
In	30	
Ti	80	
Sb		30-100
Pb		3
Mn		300-1000
Bi		300-1000
Ag		1

Analisti: pentru minereul de bor, Rodica Florescu;  
pentru ludwigit, T. Ponta.

este exclus să formeze chiar și minerale proprii. De asemenea conținutul relativ ridicat în W se explică probabil prin prezența scheclitului.

#### IV. CONSIDERATII GENETICE ASUPRA MINERALIZAȚIEI DE BOR

Mineralizarea de bor este în strinsă legătură genetică cu formarea întregului zăcămînt, reprezentînd o etapă a acestui proces. Factorii geologici și fizico-chimici, între care există suprapunerî și condiționări reciproce, au controlat transformările izo- și allochimice din cadrul metamorfismului magmatic (banatitic).

Printre factorii geologici un rol esențial îl au existența în regiune a magmatismului banatitic, litologia rocilor înconjurătoare și condițiile tectono-structurale.

Magnele banatitice s-au consolidat în condiții subvulcanice, dinăuntru corpuri și rocile menționate. Un caracter esențial al acestor magme este conținutul ridicat în elemente metalifere, care se pot concentra în fazele postmagmatische și să dea naștere unor importante zăcămînte. Magnele banatitice au constituit deci sursa principală din care elementele utile au migrat și au intrat în procesele metasomaticice. Cu privire la bor această concluzie se sprijină pe localizarea constantă a mineralizațiilor borifere, în apropierea corpurielor banatitice, precum și pe conținuturile mai ridicate ale acestui element în banatite în comparație cu alte tipuri de roci, așa cum rezultă din tabelul 3.

Din aceste date rezultă că în rocile banatitice conținuturile în bor dăruiază în limite largi dar cu tendință evidentă de concentrare în produsele finale. Astfel, dacă în rocile predominante de tip granodioritic conținutul de bor este cuprins între 3-20 ppm, în aplite, conținutul crește pînă la 1000 ppm. De asemenea un conținut mai ridicat se constată și în unele roci granodioritice hidrotermalizate (sericitizate, caolinizate). În rocile carbonatice neafectate de metamorfismul metasomatic, din contră, se constată conținuturi < 10 ppm bor, sau lipsa acestuia pe cînd în dolomitele și calcarele slab transformate conținuturile cresc evident. Aceste date confirmă existența unui aport de bor în etapele finale ale consolidării magmatische, alături de ceilalți mineralizatori (Cl, S, F).

Litologia rocilor înconjurătoare ocupă de asemenea un loc de prim ordin în formarea mineralelor de bor. Se observă o constantă asociere a acestora cu dolomilele cristaline sau cu produsele pirometasomaticice dezvoltate pe seama acestora (skarne magneziene, skarne calco-magneziene). Dacă luăm în considerație și laptul că magneziul este un element care în activitatea magmatică se concentrează de regulă în primele etape

TABELUL 3  
Conținuturile de bor în rocile bazaltice și carbonatice din zona Bâlgoara

Tipul de rocă	Localizarea	Conținutul în bor (ppm)
Granit	foraj 31745	10
Granodiorit	foraj 31783 (m 904)	3
Granodiorit	orizont - 160 m	20
Granodiorit	orizont - 160 m	10
Granodiorit	orizont - 120 m	3
Granodiorit	orizont - 120 m	10
Granodiorit	orizont - 80 m	10
Porfir granodioritic	Valea Ierii	S.L.D.
Diorit cu artifer	Pirtul Miei	3
Andezit	orizont - 120 m	10
Dacit	valea Iara	3
Aplit granitic	orizont - 120 m	1000
Granodiorite hidrotermalizate	orizont - 160 - 120 - 80 m	10 - 60
Dolomit	orizont - 160 m	lipsă
Dolomit	orizont - 160 m	10
Dolomit	orizont - 120 m	10
Dolomit	orizont - 80 m	lipsă
Dolomit	orizont - 80 m	lipsă
Dolomit cu oxizi de fier	foraj 31785	30
Calcar cristalin slab transformat	orizont - 120 m	20

Analisti: Margareta Matei, Marilena Demetrescu, Virginia Dimitriu

TABELUL 4  
Compoziția chimică a dolomitelor, skarnelor și calcarelor cristaline

Component %	Dolomite			Skarne		Calcare Proba 969
	Proba 261	Proba 1313	Skarn magnete- zic pr. 555	Skarn piroxe- nic pr. 2062	Skarn piroxe- nic pr. 756	
SiO <sub>2</sub>			40,57	40,53	40,34	
Al <sub>2</sub> O <sub>3</sub>			4,27	6,87	1,11	
Fe <sub>2</sub> O <sub>3</sub>	0,59	1,10	2,97	1,91	2,23	0,37
FeO	0,29	—	0,93	2,94	3,98	—
MnO	0,21	0,20	0,39	0,05	0,13	0,04
CaO	30,32	31,40	8,29	14,81	30,48	51,59
MgO	21,10	20,40	27,50	23,06	12,63	0,73
Na <sub>2</sub> O			0,07	0,19	0,06	
K <sub>2</sub> O			2,01	0,27	0,04	
TiO <sub>2</sub>			0,31	0,19	0,22	
P <sub>2</sub> O <sub>5</sub>	0,01	—	urme	0,06	0,08	0,02
S	—	0,26	0,24	0,51	0,56	
H <sub>2</sub> O <sup>+</sup>			7,24	—	0,43	
H <sub>2</sub> O <sup>-</sup>	0,04	0,11				0,21
P.C.	47,39	47,36	11,80	8,54	8,83	47,97
Inscribil	0,22	0,27				0,18
Total	100,13	100,69	99,35	99,93	100,69	99,83

Analisti: Carmen Agrigoresi, probele 261, 1313, 969; Ecaterina Popa-depol - probele 555, 756; ICMG-București (proba 2062).



ale cristalizării magmice, rezultă că soluțiile postmagmatische au fost sărace sau chiar lipsite de magneziu de origine magmatică. Astfel apare foarte justificată concluzia, aşa cum au arătat și alți cercetători, că magneziul necesar pentru formarea borașilor endogeni provine prin remobilizarea acestuia din orizonturile dolomitice, sau metasomatitele dezvoltate pe seama acestor orizonturi (tab. 4).

Factorii tectono-structurali au avut un rol important în desfășurarea proceselor metasomaticice prin crearea condițiilor de amplasare a corpuri banatitice și de circulație a soluțiilor postmagmatische. Deși acești factori încă nu sunt bine descifrati, putem totuși aprecia că rolul important a fost deținut de fracturile laramice, configurația corpuri intrusive și tectonica de amânat a seriei de Baia de Arieș.

ACTIONEA factorilor fizico-chimici a fost declanșată de punerea în loc a eruptivului banatitic. Întrucât analiza acestora depășește subiectul de față, vom menționa doar că rolul determinant în desfășurarea reacțiilor metasomaticice a fost deținut de potențialele chimice ale elementelor în anumite stadii ale procesului de substituție. Migrația a fost înlesnită în principal de mediul fluid postmagmatic care s-a infiltrat pe fracturi, fali, clivaje, fisuri etc. (metasomatoză de infiltratie) și mai puțin într-un mediu fluid stagnant (metasomatoză de difuzie).

Condițiile de temperatură, în care s-au format metasomatitele și mineralizațiile asociate, sunt cuprinse în limite largi, între domeniul piro-metasomatic și cel epitermal. Pentru ludwigit, s-a arătat recent (Ionescu, Popescu, Intorsureanu, 1971), pe baza raportului

$$f = \frac{\text{FeO}}{\text{FeO} + \text{MgO}} \cdot 100\%$$

că temperatura de formare este de aproximativ 530°C.

În ceea ce privește succesiunea transformărilor din aureola de contact se pot schița următoarele etape și stadii :

a) Etapa metamorfismului izochimic materializată prin dezvoltarea unor variate produse de recristalizare (calcare, dolomite și diverse tipuri de corneene);

b) Etapa metamorfismului alochimic, în care se evidențiază două stadii principale :

Stadiul pirometasomatic ale cărui produse sunt skarnele + mineralizația de ludwigit și cea mai mare parte din magnetit.

Stadiul hidrometasomatic în care se formează masa principală a sulfurilor, silicătilor cu OH, oxizi și hidroxizi de fier, quart, iar spre sfîr-

șit, neoformațiunile de carbonați și zeoliți. În condițiile stadiului hidrometasomatic, ludwigitul suferă un proces de ascharitizare, sub influența unor soluții alcătine, de temperatură joasă.

### BIBLIOGRAFIE

- Barsukov V. L. (1961) Nekotore voprosi gheohimii bora. Gheohimia, 7.
- Borcoș M., Borcoș Elena (1962) Cercetări geologice și petrografice în regiunea Runc-Segagea-Valea Ierii-sat (bazinul văii Iara, Munții Apuseni). D.S., Com. Geol. XLVII, București.
- Deer W. A., Howie R. A., Zussmann S. (1963) Rock forming minerals. I, II, III, London.
- Giusecă D., Ciobănică Gr., Savu II. (1966) Caracterizarea petrologică a provinciei banatitice. An Com. Stat. Geol. XXXV, București.
- Savu H., Borcoș M. (1967) Asupra stratigrafiei șisturilor cristaline din Munții Apuseni. Stud. cerc. geol. XII, 1, București.
- Harker A. (1956) Metamorphism. London.
- Ianovici V., Giusecă D., Ghilulescu T.-P., Borcoș M., Lupu M., Bleahu M., Savu H. (1969) Evoluția geologică a Munților Metaliferi. Ed. Acad. R.S.R. București.
- Ionescu Jeană, Popescu Maria, Intorsureanu I. (1971) Prezența ludwigitului în skarnele de la Băișoara - Munții Apuseni. Stud. cerc. geol. geof. geogr. serie geol. 2, XVI, București.
- Kissling A. (1967) Studii mineralogice și petrografice în zona de exoskarn de la Oena de Fier (Banat). Ed. Acad. R.S.R. București.
- Korjins ki D. S. (1965) Abriss der metasomatischen Prozesse. Akad. Verlag, Berlin.
- Lazar C., Intorsureanu I., Popescu Maria (1971) Studiu petrografic al rocelor banatitice din zona Mașca-Băișoara (Munții Apuseni). D. S. Inst. geol. LVIII/1, București.
- Mărza I. (1969) Evoluția unităților cristaline din sud-estul Munțului Mare. Ed. Acad. R.S.R. București.
- Rankama K., Sahama T. G. (1970) Geochimic (Traducere din limba engleză) Ed. tehnică, București.
- Rădulescu D., Dimitrescu R. (1966) Mineralogia topografică a României. Ed. Acad. R.S.R., București.
- Stoilescu E., Stoici S. (1969) Contribuții la cunoașterea mineralizației de bor din bazinul superior al Crișului Negru. Stud. Univ. Babeș-Bolyai, Cluj, serie geol-geogr. 2, Cluj.
- Tatarinov P. M. (1967) Condițiile de formare a minereurilor metalifere și nemetalifere. (Traducere din limba rusă). Ed. Tehnică. București.

## CONTRIBUTION À LA CONNAISSANCE DE LA MINÉRALISATION DE BORE DU GISEMENT DE BĂISOARA (MONTS APUSENI)

(Résumé)

Des recherches récentes ont porté à identifier de nouvelles minéralisations de borates endogènes dans le gisement de nature pyrometasomatique-hydrothermale de Băisoara. Ce gisement est situé à la partie orientale du massif de Gilău (Monts Apuseni) et revient à la province métallogénique du magmatisme banatique (laramique).

Le soubassement de ce gisement est constitué par des formations cristallines revenant à trois séries engendrées dans des géosynclinaux d'âges différents. Parmi ces formations comportant des niveaux de calcarés et de dolomies cristallines se sont insinués les produits du magmatisme banatique (laramique) qui ont engendré des corps subvolcaniques de faibles dimensions constitués de manière prédominante par des roches granodioritiques.

La mise en place de ces roches banatitiques a engendré une auréole de contact à structure complexe où les transformations isochimiques, allochimiques et les dépôts hydrothermaux de différentes intensités ont conduit à la formation d'une large série de roches représentées par des marbres, cornéennes, skarns, pseudoskarns et hydrothermalites. À ces roches s'associe une minéralisation métallifère constituée de manière prédominante d'oxydes de fer (magmatite  $\pm$  hématite) et de sulfures de fer (pyrrhotine, pyrite  $\pm$  marcasse), une minéralisation de bore (ludwigite et ascharite) et une minéralisation polymétallique (mispikel, chalcopyrite, blonde, galène  $\pm$  molybdénite) constituant des corps compacts ou des imprégnations localisées surtout dans les skarns.

La minéralisation de bore a été interceptée par des forages ou par des travaux miniers. Elle constitue des zones de dimensions variées localisées constamment dans des dolomies ou dans des métasomatites développées aux dépens de celles-ci, représentées par des skarns magnésiens ou pyroxéniques.

Au microscope le minéral de bore de couleur noirâtre verdâtre, montrant parfois des zones gris-blanchâtre mises sur le compte du processus d'ascharitisation. Y prédominent la texture massive constituée d'aggrégats fibreux-aciculaires de ludwigite longs de 2-3 cm, à éclat mat, moins souvent vitreux-soyeux.

De manière subordonnée apparaissent une texture faiblement rubanée constituée de bandes millimétriques de ludwigite en alternance avec de la magnétite, ou des agrégats lenticulaires de fibroblastes de ludwigite à disposition linéaire dans la masse de la dolomie. Moins souvent apparaît aussi une texture tachetée venant des nids centimétriques, de couleur jaune vert formés de forstérite et de minéraux serpentiniques. L'étude microscopique révèle une association constituée (suivant leur fréquence) de : ludwigite, ascharite, magnétite, forstérite minéraux serpentiniques, clinohumite et dolomite. Dans les minéraux à texture rubanée le taux en minéraux de bore diminue en faveur de la magnétite, de la forstérite, de la dolomite et des minéraux magnésiens. Y sont également présentés les caractères importants physiographiques et optiques de ces minéraux.

Les données chimiques informatives ont montré que le minéral compact de bore de Băisoara est dépourvu d'oxydes de calcium et qu'il est plus ferrifère que celui de Băița Bihorului (Monts Apuseni). Le chimisme de la ludwigite montre un degré réduit de l'oxydation du fer par rapport à celui d'Ocna de Fer (Banat). Les analyses spectrales révèlent quelques teneurs en éléments, le Sn et le W étant en quantités plus élevées.



La minéralisation de bore se rattache étroitement à la formation du gisement dans son ensemble, représentant une étape du processus génétique. Parmi les facteurs ayant contrôlé la genèse du gisement un rôle important revient à l'existence, dans la région, du magmatisme banatitique (laramique), comportant des magmas riches en éléments métallogéniques. De ces magmas le bore a migré au cours du stade postmagmatique entrant dans le circuit des processus métasomatiques. Un autre facteur de premier ordre survient au cours de la genèse de cette minéralisation est représenté par les horizons de dolomies cristallines qui ont fourni le magnésium nécessaire à la formation de la ludwigite.

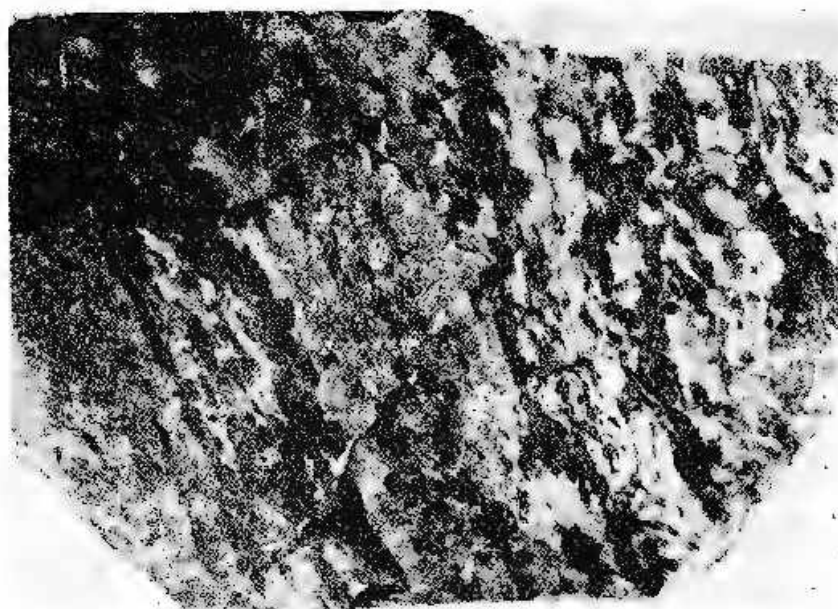
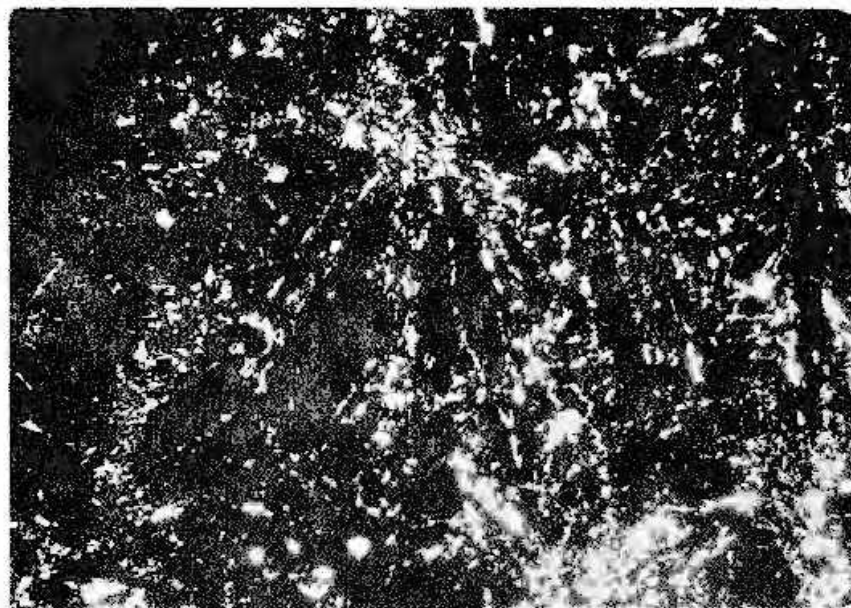
Les transformations qui se laissent voir dans les auréoles de contact ont été classifiées en étapes et stades. Au cours du stade pyrometasomatique de l'étape du métamorphisme allochimique se sont constitués les skarns, la minéralisation de ludwigite et la plupart des oxydes de fer (magnétite); au cours du stade hydrothermal la ludwigite a été fréquemment transformée en ascharite.

#### EXPLICATION DE LA PLANCHE

Esquisse géologique du périmètre Măcea du gisement Măcea-Băisoara. 1, Quaternaire (alluvions, terrasses), 2, Eocène (argiles rayées, microconglomérats, grès), 3, métamorphisme magmatique (cornières); magmatites laramiques, 4 a, granodiorites, granodiorites porphyriques; 4 b, diorites quartzifères, 5, dacites, 6, Crétacé (conglomérats, microconglomérats, grès, marno-calcaires, siltites) Cristallin de Gilău - Série de Baia de Arție, Complexe carbonatique, 7, calcaires cristallins, 8, dolomies cristallines, complexe détritogène, 9, schistes quartzitiques micacés, micaschistes quartzitiques, quartzites, 10, micaschistes à grenats, 11, faille, 12, position des formations, 13, galerie d'exploration, 14, puits d'exploration, 15, forage d'exploration.



I. ÎNTOSUREANU, MARIA POIESCÙ. Mineralizația de bor de la Răișoara. Pl. I.



Institutul Geologic. Dări de seamă ale ședintelor, vol. LIX/2.



Institutul Geologic al României

## PLANŞA II

Fig. 1. Minerale de bore. Aspectul macroscopic al texturii pătrate. (1 : 1)

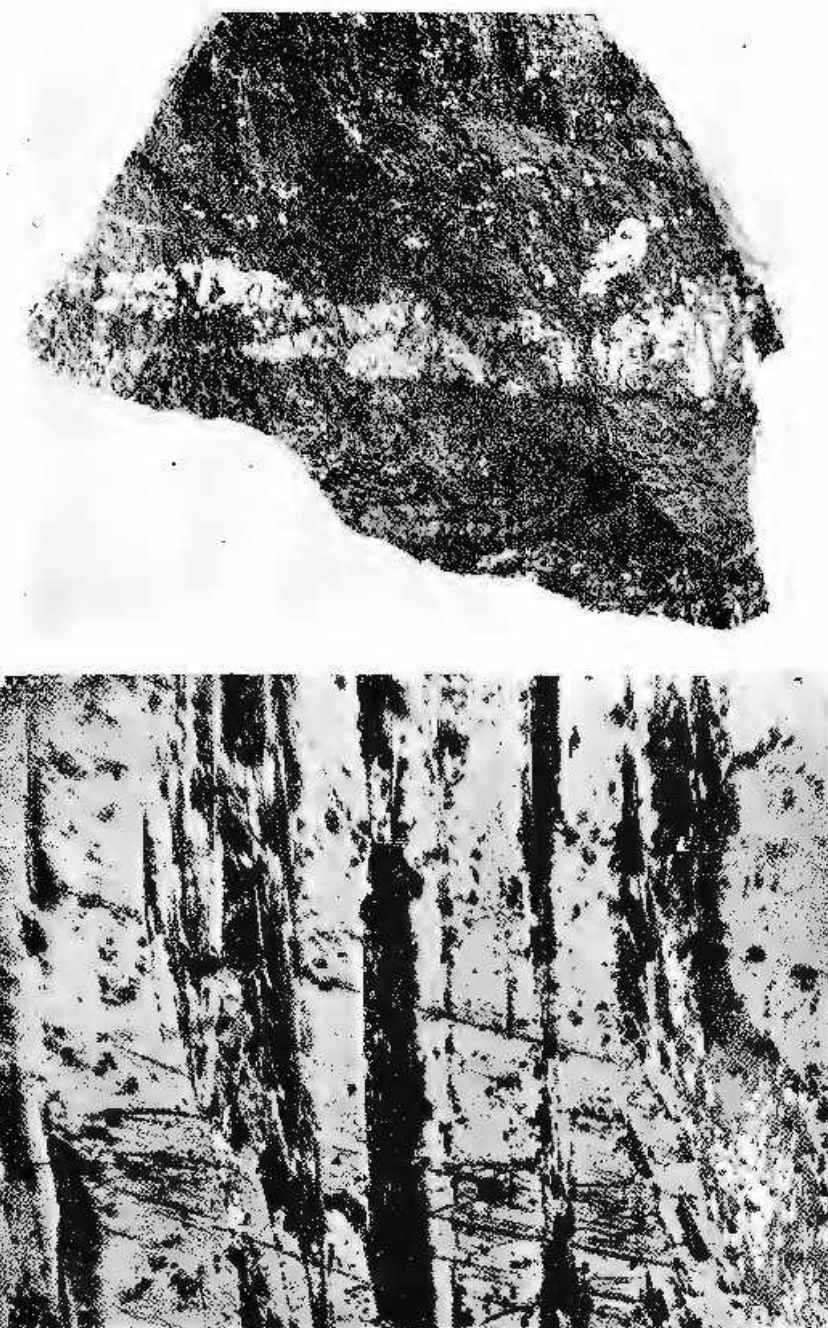
Minéral de bore. Aspect macroscopique de la texture carrée. (1 : 1) :

Fig. 2. Cristale fibro-aciculare de ludwigite (cenușiu), parțial substituite de magnetit (alb) și aschbarit (negru). (N 11; 40 ×).

Cristaux fibro-aciculaires de ludwigite (gris), partiellement substituées par le magnétite (blanc) et l'ascharite (noir). (N/1; 40 x.)



I. ÎNTORESCĂNU, MARIA POPESCU. Mineralizația de bor de la Băișoara. Pl. II.



Institutul Geologic. Dări de seamă ale ședințelor, vol. LIX/2.



Institutul Geologic al României

### PLAÑSA III

- Fig. 1. — Textură cubanată a minereului de bor, traversată de un filon de calcit. (N II; 21×).  
Texture cubanée du minéral de bore traversée par un filon de calcite. (N II; 21×).
- Fig. 2. — Forsterit înlocuit serpentinizat în masa minereului cu textură pătrată. (N II; 21×).  
Forstérite fortement serpentinisées dans la masse du minéral à texture carrée. (N II; 21×)

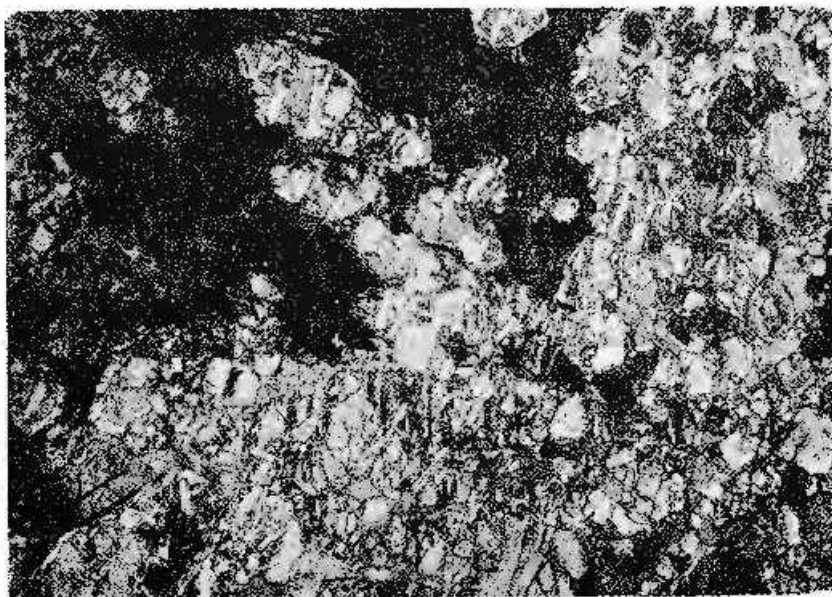
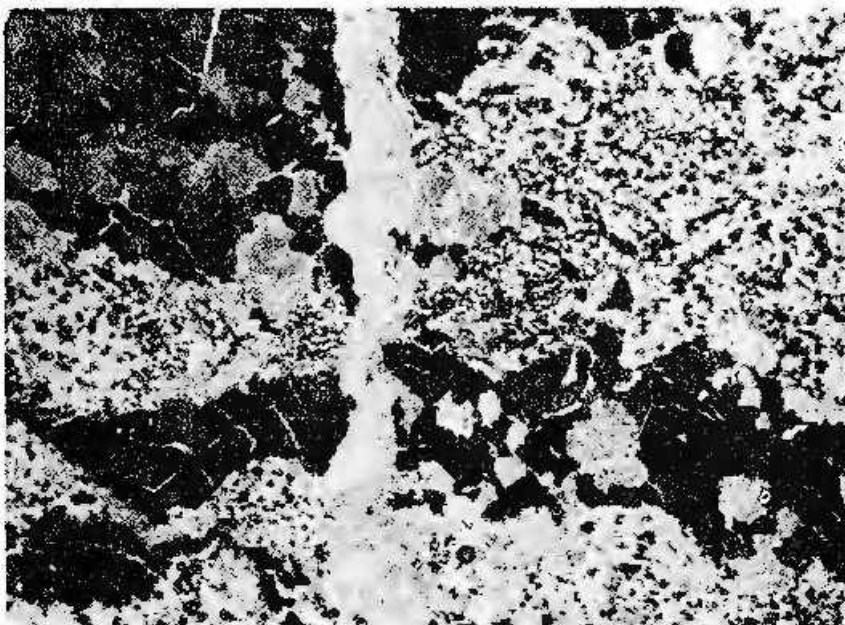


ANEXĂ A LA DOCUMENTULUI DE DESEN



Institutul Geologic al României

I. ȚINTOSUREANU, MARIA POPESCU. Mineralizația de bor de la Băișoara. Pl. III.



Institutul Geologic. Dări de seamă ale ședințelor, vol. LIX/2.



Institutul Geologic al României

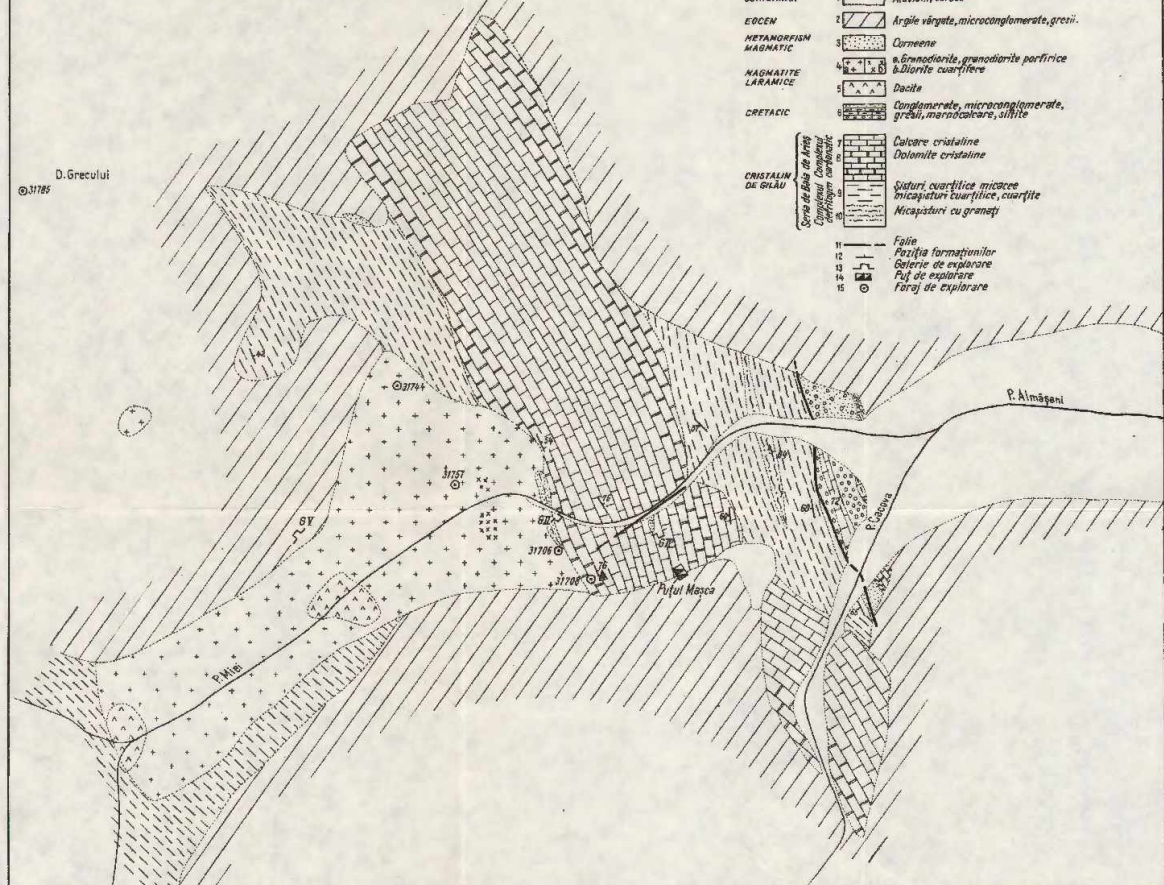
## SCHIȚA GEOLOGICĂ A PERIMETRULUI MAȘCA ZĂCĂMÎNTUL MAȘCA – BÂISOARA

După harta geologică a zonei Mașca-Bâisoara (1970) de C.Lazăr, I.Înțosureanu, Maria Popescu

0 50 100 150m

### LEGENDA

QUATERNAR	1 Aluvium, terase
EOCEN	2 Argile vîngate, microconglomerate, gresii.
METAMORPHISM MAGMATIC	3 Orneene
MAGMATITE LARANICE	4 Granodiorite porfirice b.Diorite cuartifere
OPIETACIU	5 Dacite
	6 Conglomerate, microconglomerate, gresii, mercuricuare, silite
CRISTALIN DE SILAU	7 Calcare cristaline Dolomite cristaline
	8 Sideruri cuartifice micașee micașaturi cuartifice, cuarțite Micașaturi cu granat
	9 Faiine
	10 Fazită formătărimilor
	11 Galerie de explorare
	12 Puf de explorare
	13 Foraj de explorare
	14 Puf
	15 Foraj



## 2. ZĂCĂMINTE

### MINERALIZAȚIA POLIMETALICĂ DE LA SCRIND-RĂCHIȚELE, MUNTII VLĂDEASA<sup>1</sup>

DE

MIHAI PANAIT, REMUS BORDEA, IOAN BITĂ, ERIKA MATSCH, EDUARD HUREZEANU

#### Abstract

Polymetallic Mineralization from the Scrind-Răchițele Region, Vlădeasa Mountains. Within this region-Vlădeasa Mts the authors have discovered outcrops with plumb-zinkiferous ore and pyritous ore with gangue of iron carbonates. These two types of ore together with two other ones, pyritous-cupriferous and marcasite ores, already known from the works of other investigators, belong to the same poly-metallic mineralization. Two mineralization phases are to be distinguished in the formation of the ores. The minerals of the first phase (pyrite and mispickel) had undergone a brecciation phenomenon, followed by the deposition of minerals of the second phase (pyrite, pyrrhotite, mispickel, marcasite, blende, calc-pyrite, galena, bournonite, tetrahedrite, and siderite). The polymetallic mineralization is the product of the hydrothermal activity which has followed subsequently to the emplacement of rhyolite bodies in this region.

Regiunea Scrind-Răchițele a fost parțial cercetată de Szadeczký (1924—1925), Kräutner (1944), Giuşcă (1950) și Stefan (1969), care în cadrul unor lucrări publicate, asupra muntilor Vlădeasa și Bihor, se referă și la arealul dintre cele două localități menționate mai sus.

Lucrările de prospecții și de cartare geologică întreprinse de Minzatu, Minzatu și Teodoru<sup>2</sup> și Hanomolo<sup>3</sup> au afectat sectoarele marginale ale teritoriului cuprins în raza satelor Scrind și Răchițele.

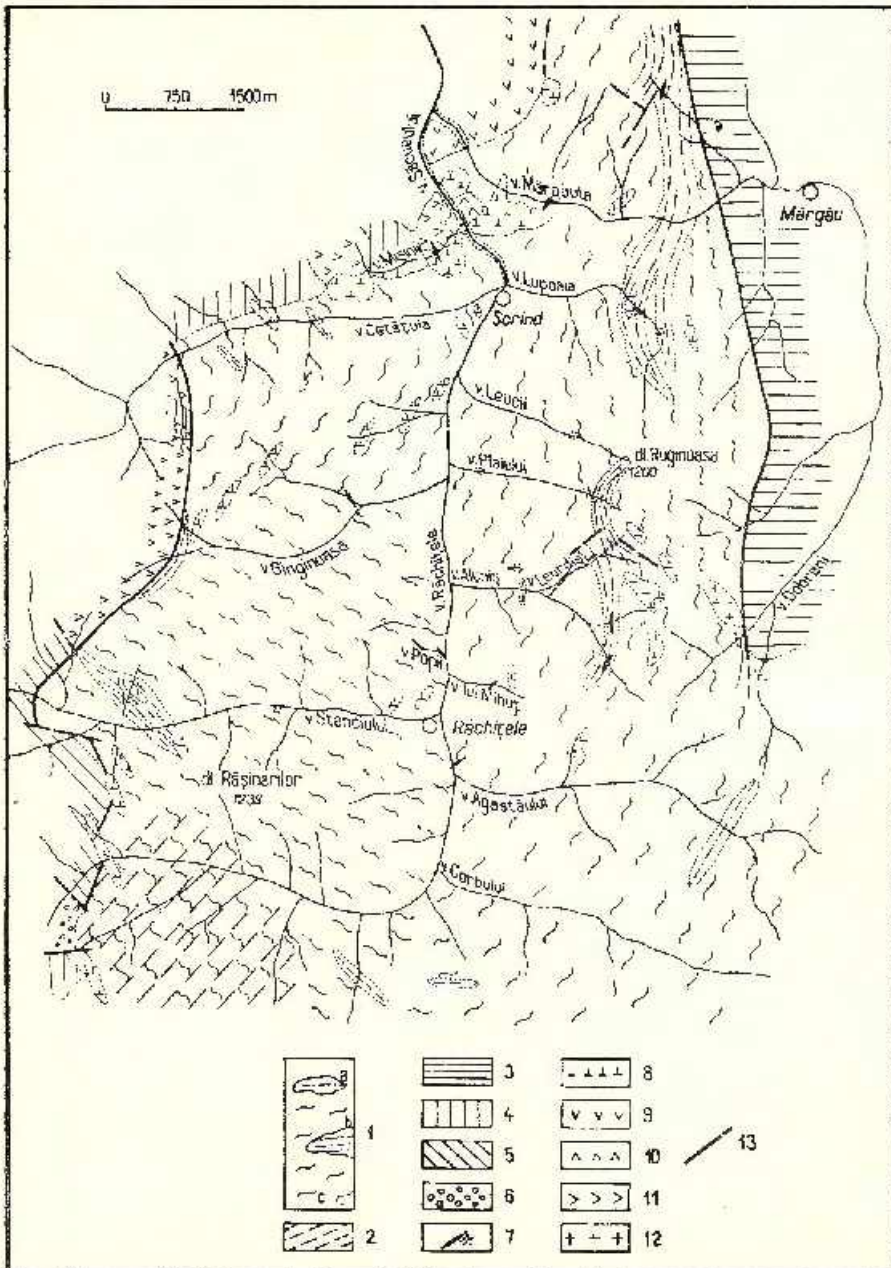
<sup>1</sup>Comunicare în ședință din 23 mai 1972.

<sup>2</sup> Întreprinderea Geologică de Prospecții, Calea Griviței 64, București.

<sup>3</sup> Silvia Minzatu, E. Minzatu, L. Teodoru. Raport geologic asupra regiunii Vlădeasa 1958, Arh. M.M.P.G. București.

<sup>4</sup> L. Hanomolo. Raport asupra lucrărilor de cartare geologică în regiunea Răchițele — Giurcuța — Poiana-Florii (Valea Someșului Cald) 1958. Arh. M.M.P.G. București.





Schiță geologică a regiunii Scrind-Răchitele.

1. formații cristaline: a, amfibolite; b, gneiss; c, schisturi cuarzo-feldspatice micașisturi cu granat; 2, zonă retrōmorfizată; 3, paleogen; 4, cretacic; 5, jurasic; 6, permian; 7, mineralizare; 8, fâlfie; 9, rhyolite; 10, dachite de Margăra; 11, dachite de Visag; 12, undesite pyroxenice; 13, granite de Muntele Mare.

Esquisse géologique de la région de Scrind-Răchitele.

1. Formations cristallines: a, amphibolites; b, gneiss; c, schistes quartzo-feldspathiques et micašistos à granat; 2, zone retrōmorfizée; 3, Paléogène; 4, Crétacé; 5, Jurassique; 6, Permien; 7, mineralisation; 8, faille; 9, rhyolites; 10, dachites de Margăra; 11, dachites du Visag; 12, undésites pyroxéniques; 13, granites de Muntele Mare.

Primele indicații asupra unei mineralizații de sulfuri în regiunea Sorind-Răchițele sunt expuse în lucrarea lui Ștefan<sup>5</sup>, care menționează o ivire cu minereu piritos-cuprifer, pe valea Gingineasa. Pe baza conținutelor în cupru și aur occurența este considerată interesantă, drept pentru care se propune cercetarea acesteia cu lucrări miniere. Același autor citează o brecie impregnată cu pirită, pe pîrîul Mișinii.

Prospecțiunile efectuate în campania anului 1971<sup>6</sup>, au pus în evidență noi iviri cu sulfuri situate pe valea Mărgăuța, valea Aluniș și alunenii pe dreapta ai acesteia (pîrîul Leurdîș și pîrîul Negru), pîrîul Popii, pîrîul lui Mihul, pîrîul Dobrani și valea Răchițele.

Ivirile de sulfuri sunt localizate în sisturile cristaline ale seriei mezometamorfice de Someș, în apropierea unor dyke-uri și stilpi de riolite.

Observațiile de teren și de laborator asupra particularităților structurale ale corpurilor de minereu, paragenezei, texturii și structurii au impus separarea a patru tipuri de minereu: minereu plumb-zincifer; minereu marcasitic; minereu piritos-cuprifer; minereu piritos cu gangă de carbonați de fier.

1. *Minereul plumb-zincifer* apare sub forma unui filon cu direcția NE-SV, dispus concordant cu foliația sistemelor cuarț-feldspatice de pe pîrîul Leurdîș. În salbanda filonului (formată din micașisturi cu granat) slab sericitizate, apar impregnații neuniforme de mispichel, pirită și mai rar calcopirătă.

Cristalele idiomorfe de mispichel se prezintă uneori ca prisme cu dimensiuni pînă la 1 cm, fracturate și variat orientate în raport cu sistematicea rocii.

Filonul este fragmentat de falii cu direcția generală nord-sud.

Pondera cantitativă a mineralelor metalice în compoziția minereului este următoarea:

	%		%
Pirită	23,3	Tetraedrit	0,1
Mispichel	4,5	Pirotină	0,3
Blende	4,6	Stibină	sporadic
Marcasită	3,3	Geuzit	0,4%

<sup>5</sup> A. Ștefan. Studiu petrografic al masivului Vlădeasa, (Partea de est). 1971. Arh. M.M.P.G. București.

<sup>6</sup> M. Pauaile, E. Rișă, Erika Matsch, I. Biță, E. Hurezeanu, G. Abesei. Raport asupra prospectiunilor geologice și geochemice în perimetrul V. Drăganului - V. Someșului Caid. 1971. Arh. M. M. P. G. București.

	%		
Galenă	2,4	Digenit	sporadic
Calcopirittă	0,8	Limonit	sporadic
Bournonit	0,4	Caprit	sporadic

Textura minereului este în general compactă. În mod sporadic s-a observat o vagă rubanare rezultată din alternanța unor benzi cu grosimi centimetrice, ce se deosebește prin dimensiunile diferite ale granulelor de sulfuri.

Ca un aspect izolat, dar esențial, se constată prezența unor blocuri angulare de micașist și cuart, în masa minereului.

Blocurile de micașist sunt uneori sericitizate — aşa cum apar în ivirile de minereu de pe pârâul Aluniș — au o dispoziție neregulată în masa minereului și sunt traversate rareori de vinișoare de calcopirittă și galenă.

TABELUL 1  
*Succesiunea de cristalizare a mineralelor în minereul plumb-zincifer*

Nr. crt.	Denumirea mineralului	Minerale hipogene		Minerale hipergene
		Faza I	Faza II	
18	Limonit			—
17	Cornuzit			—
16	Anglezit	—	—	—
15	Digenit			—
14	Sideroză		—	—
13	Tetraedrit		—	—
12	Bournonit		—	—
11	Galenă		—	—
10	Calcopirittă		—	—
9	Blendă		—	—
8	Marcasită		—	—
7	Mispichel		—	—
6	Pirotină		—	—
5	Pirittă		—	—
4	Cuart	—	—	—
3	Mispichel	—		—
2	Pirittă	—		—
1	Cuart	—	—	—

Aceste relicte sterile de micașist în umplutura filoniană denotă o brecifiere în planul șistozitatii rocii care a favorizat circulația soluțiilor mineralizatoare,

Structura minereului este de regulă hipidiomorf granulară și subordonat alotriomorf-granulară.

În formarea minereului plumb-zincifer din bazinul văii Aluniș s-au distins două faze de mineralizare.

O caracteristică pentru mineralele formate în prima fază o constituie dimensiunile mari ale cristalelor (în medie 0,5–0,7 mm) și brecifierea lor. Deseori pe fisurile cristalelor mineralelor din prima fază apar mineralele fazei a II-a. Efectele presiunii exprimate prin brecifierea mineralelor fazei I-a sunt evidente și în cadrul fazei a II-a. Astfel, uneori granulele de pirită (II) și marcasită au orientare paralelă.

Pirita (I) se dezvoltă atât ca granule idiomorfe brecificate, larg dezvoltate, cât și ca filonașe. În observațiile microscopice s-a surprins adesea pseudomorfozarea piritei (I) de către mispichel (I).

Pirita depusă în faza II-a are un aspect poros, alveolar și apare ca vinișoare care străbat fenoeristalele brecificate de pirită (I), sau sub forma unui ciment care înglobează cristale de pirită (I), împreună cu care formează mase compacte. O altă trăsătură caracteristică a minereului plumb-zincifer este intima asociere a piritei, blendei, mispichelului și marcasitei.

Blenda prezintă adesea emulsii de calcopirită sub forma unor incluziuni micronice rezultate în urma imiscibilizării produsă în procesul hidrotermal, la temperatură relativ ridicată. În coperișul filonului apar cuburi de galenă, ce includ granule larg dezvoltate de pirită și mispichel și fragmente de cuarț intens brecifiat, străbătut de vinișoare de galenă. În cazul acestor concentrații, galena se dezvoltă adesori cu habitusul idiomorf specific. În asociere cu galena apar bournonitul și tetraedritul, care formează o parageneză unică în cadrul mineralizației de la Scrind-Răchițele.

În eșantioanele recoltate din afloriment, ca urmare a proceselor de oxidare, cristalele de galenă au fost transformate marginal în anglezit și ceruzit, care formează adevarate dantclării.

Ganga mineralizației este formată din cuarț în mare parte și subordonat din sideroză. Cristalele idiomorfe de cuarț sunt relativ frecvente.

2. *Minereul marcasitic* este format dintr-o brecie cu numeroase elemente de marne cenușii, de vîrstă senoniană și blocuri de opal și riolit, intens mineralizată cu marcasită și pirită, cantonată la periferia corpului riolitic de pe pîrful Mișinii. Sulfurile formează aglomerări sub formă de cuburi

și vine, care în alternanță cu intercalări sterile de marne și opal, imprimă mineralului o textură rubanată. În porțiunile compacte cu sulfuri, minereul are următoarea compoziție: marcasită 61%, pirită 30%, și ganga 9% (opal și blocuri de marne).

Marcasita, larg dezvoltată, în cristale tabulare, care ating 2 mm, formează aglomerări și mici geode. Între lamelele de marcasită apar cristale idiomorfe de pirită brecifiată. Minereul conține aur sub formă nativă.

Pe valea Mărgăuța, la contactul dintre corpul riolitic și micașisturile cu granat, apar vinișoare de pirită, pirotină, blendă, calcopirită și galenă și cniuburi vacuolare de opal.

3. *Minereul piroz-cuprifer* apare într-o ivire pe valea Gingineasa, sub forma unor vine cu grosimi variate, concordante cu șistozitatea micașisturilor cuarțitice cu granat. În culcușul zonei de minereu roca este intens sericitizată pe circa 0,5 metri.

Ponderea mineralelor metalice în constituția minereului este următoarea :

Pirită	30,7	Marcasită	1,4
Mispichel	6,2	Calcopirită	2,2

Relațiile dintre minerale au indicat două faze în formarea mineralizației.

TABELUL 2  
*Succesiunea de cristalizare a mineralelor în minereul piroz-cuprifer*

Nr. crt.	Denumirea minereului	Minerale hipogene		Minerale hipergene
		Faza I	Faza II	
7	Limonit			
6	Calcopirită		—	
5	Marcasită		—	
4	Pirită	—		
3	Mispichel	—		
2	Pirită	—		
1	Cuarț	—	—	

Microscopic, minereul se caracterizează printr-o asociatie intimă între pirită, calcopirită și mispichel.

Pirita (I) apare atât sub formă de cristale idiomorfe, rar hidromorfice, larg dezvoltate și de regulă brecificate, cit și ca filonașe.



În faza II-a, s-au format cristale mai puțin dezvoltate de pirită și vinișoare care s-au insinuat pe fisurile cristalelor de pirită și mispichel ale fazei I.

Mispichelul apare în cristale hipidiomorfe și în pseudomorfoze după pirită.

Calcopirita este în general legată de prezența piritei și a mispichelului, sub formă de vinișoare insinuate pe fisurile acestora.

Marcasita, de origine primară, formează cristale lamelare, de obicei asociate cu pirita.

Ganga este formată din quart, care prezintă uneori un aspect hidrotermal cert.

4. *Minereul piroză cu gangă de sideroză* formează umplutura filoniană a unei fracturi interceptată pe pîrul Popii, pîrul lui Mihuț și pîrul Dobrani. El a fost întlnit și pe pîrul Negru, sub formă de vinișoare concordante în micașisturi intens sericitizate și sub forma unui filon, de asemenea concordant cu micașisturile în care este cantonat.

Caracterul esențial al acestui tip de minereu este largă dezvoltare a siderozei, care uneori depășește ca volum partea utilă a filonului, reprezentată prin sulfuri.

În acest tip de minereu ponderea cantitativă a mineralelor metalice este următoarea :

	%		%
Pirită	61,4	Marcasită	0,6
Mispichel	6,2	Pirotină	0,7
Calcopirita	3,1	Magnetit	sporadic

Ca un caracter comun cu celelalte tipuri de minereu, se constată existența a două faze de mineralizare care au dus la formarea filonului.

Cristalele larg dezvoltate de pirită (I) (în medie 0,65 mm) sunt afectate de brecificiere, pe fisurile lor insinuindu-se vinișoare de pirită (II). În asociație cu pirita apare mispichelul și calcopirita.

Mispichelul este prezent ca vinișoare, cristale idiomorfe și pseudomorfoze după pirită.

Calcopirita formează rețele de vinișoare dispuse pe fisurile piritei (I).

Marcasita apare numai secundar, prin transformarea pirotinelor. Stibina se întâlnește sporadic, în asociație cu calcopirita, iar magnetitul apare în cuiburile de limonit hipergen, unde prezintă dimensiuni foarte mici și forme idiomorfe.

Limonitul se dezvoltă colomorf, cu aspect poros, îndeosebi pe seama piritei.

În ganga reprezentată cu precădere prin sideroză și subordonat prin ankerit și euarț, apar rare cuiburi pulverulente de psilomelan.

Adesea ganga conține în masa ei fragmente de micașist de dimensiuni centimetrice.

TABELUL 3  
*Succesiunea de cristalizare a minereelor în minereul părăos*

Nr. ert.	Denumirea mineralului	Minerale hipogene		Minerale hipergene
		Faza I	Faza II	
13	Limonit			
12	Psilomelan			
11	Marcasită			
10	Stibină			
9	Calecopiră			
8	Mispichel			
7	Pirotină			
6	Pirită			
5	Sideroză			
4	Mispichel			
3	Pirită			
2	Magnetit			
1	Cuart	—		

Pe pîrful Leurdiș și valea Răchițele au fost interceptate în lucrările de cercetare, vine de minereu, formate din pirită, pirotină, mispichel și marcasită secundară rezultată din transformarea pirotinci.

Pe valea Stanciului, într-un afloriment de cîțiva metri lățime, micașisturile cu granat sunt traversate de vinisoare de mispichel și sunt fin impregnate cu pirită și mispichel.

\* \* \*

Mineralizația polimetalică de la Scrind-Răchițele se caracterizează printr-o mare varietate paragenetică, texturală și structurală.

Conținuturile în plumb, zinc, cupru, aur și argint, cît și raportul între aceste elemente în cadrul fiecărui tip de minereu, reflectă de ascmenea caracterul variat al mineralizației.

La formarea minereului au participat două faze de mineralizare, evidente în toate cele patru tipuri de minereu.

Prima fază de mineralizare a fost urmată de o brecciere, care a afectat pirita și mispichelul din cele patru tipuri de minereu, după care a urmat faza a două de mineralizare, în care s-au depus cristale cu dimensiuni mult mai reduse de pirită și mispichel și vinișoare de calcopirite, blendă și galenă.

În faza II-a s-au mai format pirotina și stibina și ganga sideritică.

Fenomenul de brecciere care marchează sfîrșitul primei faze, este foarte probabil că s-a datorat mișcărilor tectonice, care au dus la formarea fracturilor majore din regiune.

Mineralizația este cantonată la contactul unui corp riolitic cu marnele senoniene (pîriul Mișinii), pe traiectul unei fracturi (Pîriul Popii, Pîriul lui Mihuț, pîriul Dubrani), sau concordantă, în șisturile cuarț-feldspatică (bazinul văii Aluniș), situate în apropierea unor dyke-uri și stilpi de riolite, afectate de autometamorfism sau alterate hidrotermal.

Din observațiile prezentate mai sus și anume că :

rocile găzăduite au fost supuse proceselor de alterație hidrotermală (sericitizare, silicifiere); în masa minereului sunt prezente blocuri angulare de micașist și de cuarț; vinele de mispichel formează unciori umpluturi lisurilor ac din micașisturile cu granat;

în ganga mineralizației apare cuarț de origine hidrotermală și sideroză larg cristalinizată;

între blendă și calcopirite se remarcă structuri de dezamestec, reiese originea hidrotermală a mineralizației polimetalice de la Scrind-Răchițele, ca produs al activității hidrotermale care a succedat punerii în loc a corpuriilor de riolite din regiune.

## BIBLIOGRAFIE

- Abdulaev H. M. (1954) Géneticheskaja sviaz orudienija s granitoidnij intruzijami. Vtoroe perečabotannoe, dopolnenie izdanie, Moskva.  
— (1957) Daiki i orudienije. Sbornik sotsinenij IV Uzbekskoi SSR Taškent.
- Bateman A. (1958) Economic minerals deposits. Second edition, New York.
- Edwards A. B. (1954) Textures of the ore minerals and their significance. Australasian Institute of Mining and Metallurgy, Melbourne.
- Giușcă D. (1950) Le massif éruptif de la Vlădescasa. Ann. Com. Geol. XXII, București.  
— Cioflică Gr., Savu H. (1966) Caracterizarea petrografică a provinciei banatice. An. Com. Stat. Geol. XXXV, București.
- Kräutner Th. (1941) Observations géologiques dans les Monts du Bihor. C.R. Inst. Geol. Roum. XXVI. București.

- Kräutner H. G. (1965) Considerații genetice asupra zăcămintelor de sulfuri complexe din cristalul Carpaților Orientali. *Stud. și Cerc. de Geol., Geof., Geogr., ser. geol.* 10/1 București.
- Pomirleanu V. Savu M. (1961) Cercetări paleogeotermometrice asupra zăcămintelor de sulfuri complexe localizate în șisturile cristaline din Carpații Orientali. *An. Științ. ale Univ. At. I. Curtea VII*, 1, Iași.
- Petrulian N., Sicelaci Livia, Oroveanu F. (1971) Studiu mineralologic al minereului de la Bălan. *Stud. și Cerc. de Geol., Geof., Geogr., ser. geol.* 10/2, București.
- Ramdohr P. (1960) Die Erzmineralien und ihre Verwachsungen. Akademie Verlag Berlin.
- Ștefan Avram (1989) Structura geologică a părții de est a masivului Vlădeasa. *Stud. și Cerc. de Geol., Geof., Geogr., ser. geol.* 14, 2 București.
- Szadeczký V. J. (1930) Partea de nord a masivului cristalin al Gilăului. *D.S. Inst. Geol. Rom.* XIII, București.

## MINÉRALISATION POLYMETALLIQUE DE SCRIND-RĂCHIȚELE

(Résumé)

Les recherches géologiques entreprisées dans la région de Scrind-Răchițele ont mis en évidence des affleurements de minéral à sulfures de plomb et de zinc et de minéral pyriteux dans la gangue des carbonates de fer. Ces types de minéraux et encore deux autres (pyriteux-cuprifère et marcasitique) reviennent à la même minéralisation polymétallique, caractérisée par une grande variété des paragenèses, des textures et des structures. La formation de la minéralisation a eu lieu au cours de deux phases. Les minéraux de la première phase (py<sup>3</sup>, sé<sup>3</sup> mis pickel) ont été bréchifiés et suivis du dépôt des minéraux de la seconde phase : pyrite, pyrrhotine, mispickel, marcasite, blende, chalcopyrite, galène, bournonite, tétraédrite et sidérose.

La minéralisation polymétallique est cantonnée dans la série mésométamorphique de Someș, au voisinage de quelques corps de rhyolites. Les corps de minéral sont localisés au contact du corps rhyolitique avec les marnes schénionniennes (ruisseau Mișini), le long des fractures, ou de manière concordante dans les schistes quartzo-feldspatiques. Les processus d'altération hydrothermale (séricitisation, silicification), les veines de sulfures insinuées le long des fissures et la gangue riche en sidérose (sous forme de cristaux largement développés), les exsolutions (entre la blende et la chalcopyrite) et le processus de transformation de la pyrrhotine en marcasite, plaident en faveur de l'origine hydrothermale de la minéralisation polymétallique de Scrind-Răchițele.

## **PLANŞA I**



Institutul Geologic al României

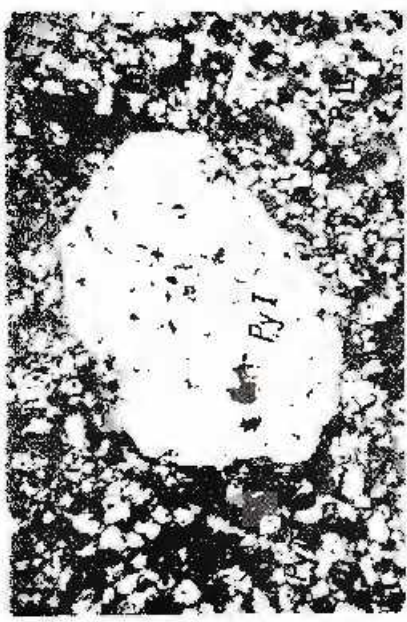
## PLANŞA I

- Fig. 1. — Cristal de pirită din faza I-a (PyI), înconjurat de cristale ale același mineral, aparținând fazei a II-a (PyII) V. Leurdîș. N II;  $\times 40$ .  
Cristal de pyrite de la 1<sup>a</sup> phase (Py I), entouré de cristaux de ce même minéral de la II<sup>a</sup> phase (Py II). Vallée de Leurdîș. N II;  $\times 40$ .
- Fig. 2. — Pseudomorfoze de mispickel după pirită din faza I-a (MI) V. Leurdîș. N II;  $\times 40$ .  
Pseudomorphoses de mispickel après la pyrite de la I<sup>a</sup> phase (MI). Vallée Leurdîș. NII;  $\times 40$ .
- Fig. 3. — Pirită din faza I-a (Py I) din V. Gingineasa, brecciată, sub formă de filonașe. N II;  $\times 40$ .  
Pyrite de la I<sup>a</sup> phase (Py I) de la vallée de Gingineasa, bréchifiée, sous forme de filonnets. N II;  $\times 40$ .
- Fig. 4. — Pirită din faza I-a (Py I) din V. Gingineasa, brecciată, sub formă de filonașe. N II;  $\times 40$ .  
Pyrite de la phase I<sup>a</sup> (Py I) de la vallée de Gingineasa, bréchifiée, sous forme de filonnets. N II;  $\times 40$ .



M. PANAITIU et al. Mineralizăția polimetalică de la Scind-Năchilele.

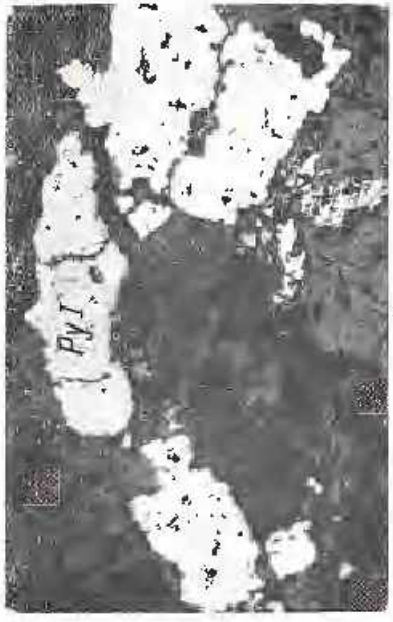
Pl. I.



1



2



3



4

Institutul Geologic. Dati de seismă ale ședințelor, vol. I.IX/2.

## PLANSA II

**Fig. 1.** — Cristale lamelare de marcassită primară (Mr) Pn. Mişinii. N II;  $\times 10$ .

Cristaux lamellaires de marcassite primaire (Mr) misséan Mişinii. N II;  $\times 10$ .

**Fig. 2.** — Cristale idiomorfe de cuarț (Q) în ganga mineralizației de la Leurdîș (Gal. I. Leurdîș) N II;  $\times 40$ .

Cristaux idiomorphes de quartz (Q) dans la gangue de la minéralisation de Leurdîș (Gal. I. Leurdîș). N II;  $\times 40$ .

**Fig. 3.** — Filonaș de cuarț (Q) în gangă de carbonat (C). Pn. Negru. N II;  $\times 10$ .

Filonnet de quartz (Q) en gangue de carbonates (C). Pn. Negru. N II;  $\times 40$ .

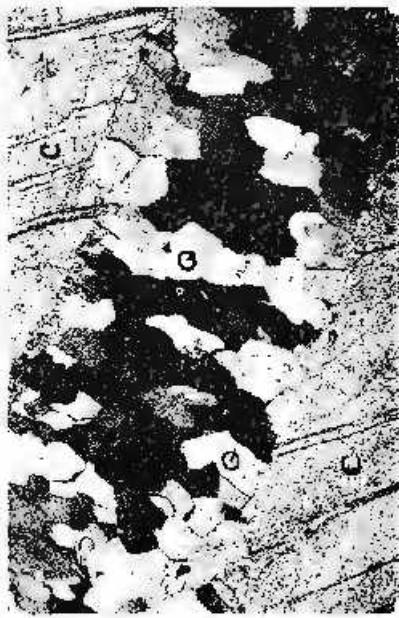
**Fig. 4.** — Fragmente de șist (S) în minereul de la Leurdîș. Afloriment. Micșorat de 5  $\times$

Fragments de schiste (S) dans le minérai de Leurdîș. Affleurement. Réduit 5 fois.





1



2



3



4

## 2. ZACĂMINTE

### MINERALIZAȚIA CUPRIFERĂ DE TIP DISEMINAT DIN CORPUL SUBVULCANIC SUVOROV, REGIUNEA MOLDOVA- NOUĂ<sup>1</sup>

DE

VASILICA PIEPTEA<sup>2</sup>, ALEXANDRU CIORNEI<sup>3</sup>, RICHARD WEINGÄRTNER<sup>3</sup>

#### Abstracăt

The Copper Mineralization of a Disseminated Type from the Suvorov Subvolcanic Body, Moldova Nouă Region. A copper mineralization of a disseminated type (porphyry copper), consisting of pyrite, chalcopyrite, grey copper, bornite, was encountered in granodiorite-porphyrles pertaining to the Suvorov subvolcanic body (the Banatitic province connected to the Laramean tectogenesis). On the microscopic study on thin sections and polished ones, arguments regarding the endomagnetic nature of the mineralization are brought. Three mineralization stages are established: the I stage, concomitantly with the crystallization of the granodiorite porphyry groundmass, characterized by the relative frequency of the copper ores; the II stage, corresponding to a mixed pneumatolytic-hydrothermal phase, wherein the pyrite relative frequency increases; the III stage, predominantly hydrothermal, wherein a mineralization with grey copper, galena, blende, chalcopyrite and pyrite has taken place. In this paper an important role in the transport of the metallic compounds is attributed to the gas phase. The effect of mineralizing agents is followed during the magmatic differentiation process.

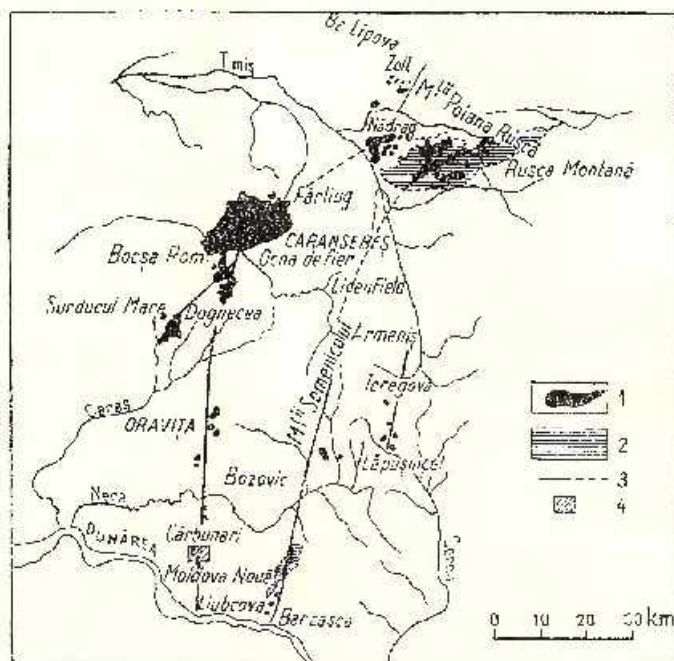
Corpul subvulcanic Suvorov, aparține provinciei banatitice și este legat de tectogeneza laramică. După Giușcă et al. (1966) el face parte din aliniamentul Moldova-Nouă -- Boeșa-Română -- Nădrag -- Zolt (cu ramura secundară Surduc -- Ocna-de-Fier) care se continuă la sud de Dunăre pe direcția Ridan-Macikatița. Răileanu et al. (1964) amintesc

<sup>1</sup> Communicare în ședință din 25 aprilie 1972.

<sup>2</sup> Întreprinderea geologică de prospecții, Cal. Griviței 64, București.

<sup>3</sup> IPFG Banatul, șantierul Moldova-Nouă.

echalonarea corpurilor banatitice pe direcția NNE-SSW incepînd din regiunea Ocna-de-Fier - Dognecea și pînă la Moldova-Nouă. El leagă acest aliniament de corpuri intrusive de linia tectonică Oravîta.



Aria de răspîndire a eruptiunilor subhercyniene și laramice din Banat  
(după Giușcă, Cioflică, Savu 1966)

1. Subvolcanice și plutonite laramice; 2. Cretacic superior; 3. aliniamente de banatite; 4. localizarea zăcămintului Moldova Nouă.

Aire de distribution des dépôts éruptifs subhercyniens et laramiens dans le Banat (selon Giușcă, Cioflică, Savu 1966)

1. Subvolcanica et plutonites laramienii; 2. Cretacid superior; 3. alignamente de banatites; 4. emplasamentul gneisului Moldova Nouă.

În zona Suvorov, la contactul intruziunilor banatitice cu calcarurile mezozoice, au avut loc importante mineralizări cu fier și cupru care au constituit obiectul a numeroase luerări miniere de exploatare precum și a unor cercetări petrografice amănuințite. Ioana Gheorghită<sup>4</sup> a

<sup>4</sup> Ioana Gheorghită. Studiu mineralologic și petrografic al regiunii Moldova Nouă (zona Suvorov - Valea Mare). Teză de doctorat, Inst. Petr., Gaze și Geol., str. Traian Vuia nr. 6, București.

efectuat studiul mineralologic și petrografic al formațiunilor aparținând metamorfismului de contact precum și al banatitelor care formează apoize și corpuri de dimensiuni reduse. În această lucrare precum și în studiul statistic asupra mineralizației din zona Suvorov – Valea Mare, efectuat de către I.ano.ovic, et al. (1971) s-a scos în evidență stabilitatea conținuturilor de cupru din rocile banatitice. O dată cu începerea lucrărilor miniere de exploatare a zăcămintului de contact din zona Suvorov au fost efectuate de asemenea cercetări petrografice<sup>5</sup>.

În ultimii ani, lucrările miniere au pus în evidență o mineralizație slab cupriferă în corpul banatitic Suvorov. Conținutul mediu de cupru al minereului este scăzut, dar formațiunea prezintă totuși interes economic, datorită dezvoltării largi a corpului eruptiv mineralizat și posibilității exploatarii în carieră.

Acest tip de mineralizație diseminată de cupru este cunoscut sub denumirea de „porphyry copper”, datorită faptului că apare în formațiuni eruptive cu structură porfirică. El este larg răspândit pe glob în special în zona circumpacifică. În provincia banatitică se cunoaște un astfel de zăcămînt la Maidanpek (Jugoslavia).

Am considerat util să prezintăm în această lucrare o serie de date privind componentă mineralologică și modul de asociere al mineralelor, precum și unele considerații asupra procesului de formare a mineralizației cuprifere din corpul banatitic Suvorov, pe baza unui studiu microscopic pe secțiuni subțiri și secțiuni lustruite efectuate pe probe petrografice provenind din 5 foraje.

### Rocile care găzduiesc mineralizația

Rocile în care se dezvoltă mineralizația se încadrează în grupul granodioritelor. În general, ele prezintă uniformitatea în ceea ce privește compoziția primară mineralologică. Structura rocilor este constant porfirică, având granulația pastei în jur de 0,10–0,15 mm. Ele sunt reprezentate, în general, prin porfire granodioritice. Am păstrat această denumire chiar în cazul reducerii conținutului de ortoză din pasta roei în favoarea plagioclazului, roca evoluind astfel către un diorit cuartifer porfiric. În general, feldspatul este greu de identificat, datorită unei constante transformări în minerale argiloase.

Fenocristalele sunt reprezentate prin plagioclaz, biotit și cuarț.

<sup>5</sup> Maria Mihăilă, Maria Drăgilă. Observații microscopice asupra zăcămintului cuprifer Moldova-Nouă. Arh. M.M.P.G. București.

**Plagioelazul** formează cristale de ordinul milimetrilor, cu maclațiunile polisintetice și structura zonară caracteristică pentru rocile banatitice. Compoziția plagiocelazului se situează în jur de 32 % An.

Fenocristalele de biotit ating frecvent 3–4 mm diametru. În general, ele sunt idiomorfice, dar adeseori prezintă coroziuni magmatische.

Fenocristalele de hornblondă nu au fost întâlnite. Ele sunt total înlocuite prin microlamele de biotit (biotit de generația al II-a), păstrându-se doar conturul mineralului inițial.

Fenocristalele de cuart prezintă în mod frecvent coroziuni magmatische.

Rocile sunt în mod constant slab mineralizate cu sulfuri și prezintă diverse grade de transformare. Chiar la rocile cele mai proaspete, în care biotitul este netransformat, se constată o ușoară alterare a feldspatului, cu formarea de minerale argiloase și sericit.

### Mineralizația cupriferă de tip diseminat

Din studiul paragenezelor în care apare mineralizația se desprind mai multe faze de mineralizare, care s-au dezvoltat paralel cu procesul de diferențiere magmatică.

**Prima etapă de mineralizare.** Mineralizația apare diseminată în rocă și se asociază cu mineralele silicatare primare care își partează formarea porfirului granodioritic. Mineralizația este formată din pirită și calcopirită subordonat cupru gri<sup>9</sup> (graues Kupfer), sporadic bornit. Pirita formează cristale cuprinse între 0,10–0,60 mm, frecvent 0,30 mm diametru. Granulele de calcopirită variază între 0,01–0,50 mm, frecvent 0,20 mm diametru. Calcopirita se asociază cu cristale de pirită pe care le mulează și uneori la corodează. Ea apare de asemenea în cristale izolate sau formează aglomerări dispuse orientat. Pirita apare de obicei într-un procent mai ridicat decât calcopirita, dar au fost întâlnite și cazuri în care pirita și calcopirita se prezintă în cantități egale. Cuprul gri este subordonat primelor două minerale atât ca frecvență cât și ca dimensiuni. El formează cristale ce nu depășesc 0,25 mm diametru, frecvent cuprinse între 0,02–0,04 mm. Cuprul gri se asociază în majoritatea cazurilor cu calcopirita, care uneori conține incluzii de bornit.

<sup>9</sup> Prin cupru gri („cuivre gris”, „graues Kupfer”, „gray copper”) înțelegem grupa sulfosărurilor din care face parte tetraedritul.

Însoțite de granule fine de cuart sau de asociația enart-ortoză în concresceri micrografice, mineralizația corodează fenocristalele de biotit. Aceeași mineralizație, însoțită de clorit și cuart pătrunde în fenocristalele de biotit de-a lungul direcțiilor de clivaj. Mineralizația se asociază frecvent cu microlamelele de biotit care substituie fenocristalele melanocrate precum și cu microlamelele de biotit din pasta rocii. În imediata vecinătate cu mineralizația, biotitul trece în clorit, cu formarea de cristale fine de titanit și rutil. S-a constatat asocierea mineralizației cu apatitul și zirconul, care formează mineralele accesori din rocă.

Aceste roci banatitice cu o mineralizație de cupru diseminată prezintă ca singură transformare o ușoară și constantă argilizare a feldspatului, atât din fenocristale cât și din pastă, cu formarea în mod predominant a montmorillonitului. Dorim să scoatem în evidență faptul că la examenul microscopic, mineralele cuprifere apar asociate cu biotitul. Strucțura porfirică este nederanjată și în general roca nu este străbătută de fisuri.

Macroscopic, roca prezintă o structură porfirică evidentă: în pasta de culoare închisă, datorită unui conținut ridicat în biotit, ies în evidență fenocristalele de plagioclaz de culoare albă, cu aspect mat, precum și fenocristalele de biotit. Mineralizația formează granule fine opace, răspândite în rocă. Cind aceste granule sunt incluse în fenocristale de biotit ele se observă mai ușor macroscopic.

**A doua etapă de mineralizare.** Perfirul granodioritic este împinzit de o rețea de fisuri de-a lungul cărora se dezvoltă mineralizația, predominant piroasă, însoțită de parageneza cuart-calcit-sericit. De o parte și de alta a acestor fisuri are loc un proces de înlocuire a rocii banatitice prin aceleași minerale, cu păstrarea structurii porfirice relicte. Roca prezintă următoarele caracteristici: creșterea conținutului în cuart; decolorarea treptată a biotitului, pînă la înlocuirea cu muscovit; trecerea feldspatului în minerale argiloase precum și în sericit și muscovit.

În final, se ajunge la substituirea rocii banatitice prin parageneza cuart-mică albă, la care se pot adăuga minerale argiloase și calcitul. Se remarcă prezența zirconului ca mineral accesoriu.

Analizele roentgen executate pe fenocristale de plagioclaz din porfir granodioritic aparținând etapei I și etapei II de mineralizare au indicat ca principal mineral argilos montmorillonitul și, cu totul subordonat,

illitul și caolinitul. Ele au confirmat de asemenea prezența sericitului și a muscovitului de tip 3 T (analisti G. Neacsu și T. Urcan<sup>7</sup>).

Mineralizarea aparținând celei de a doua etape este reprezentată prin pirită, calcopirite și cupru gri. Ea apare atât diseminată cât și depusă

#### TABEL

*Analize roentgen efectuate asupra fenocristalelor de placioclor din porfire granodioritice cu o mineralizare diseminată de cupru\**

Parageneză	P <sub>1</sub>	P <sub>2</sub>	P <sub>3</sub>	P <sub>4</sub>	P <sub>5</sub>
	Biotitul proaspăt	Microlamele de biotit (proaspete) înlocuiesc fenocristale de biotit	Microlamele de biotit (proaspete) înlocuiesc fenocristale melanocrate	Biotitul parțial cloritizat în formarea de rutil	Biotitul total substituit prin sericit și muscovit
Montmorillonit	60-66%	56-64%	40-46%	-	46-50%
Caolinit	12-14%	12-14%	12-14%	-	14-16%
Sericit	10-12%	8-10%	3-5%	35-39% (muscovit de tip 3 T)	-
Iilit	-	-	32-	32-36%	-
Cuarț	3-5%	3-5%	-	8-10%	13-15%
Clorit	-	urme	-	9-11%	-
Feldspat (oligoclaz-andezit)	8-10%	9-11%	35-39%	-	15-17%
Calcit	-	-	-	8-10%	4-6%

\* Analizele roentgen au fost executate în laboratorul de raze X al Întrepr. Geologice de prospecții, analisti: G. Neacsu și T. Urcan.

pe fisuri. și într-un caz și în celălalt, mineralizarea este însoțită de parageneza cuarț-sericit-calcit. Procentual, ca este mai larg dezvoltată deficit aceea aparținând primei etape de mineralizare. Se remarcă creșterea conținutului în pirită, odată cu participarea mai redusă a calcopiritei și a cuprului gri.

<sup>7</sup> Laboratorul de raze X IGP, București.



Macroscopic, roca apare decolorată. Fenocristalele de plagioclaz, intens transformate, de culoare albă, se disting cu greu într-o masă fundamentală de culoare cenușie-deschisă, aproape albă. Acest mod de prezentare a rocii este evident de o parte și de alta a fisurilor mineralizate, determinind astfel texturi rubanate.

Au fost întâlnite eșantioane în care porțiuni de rocă cu aspect proaspăt, aparținând primei etape de mineralizare, rămân incluse în roca decolorată, sub forma unor anclave cu caracteristici net deosebite, care îi pun în evidență succesiunea în timp a celor două etape de mineralizare.

În astfel de eșantioane, roca aparținând primei etape de consolidare și mineralizare prezintă o textură neorientată, în timp ce roca decolorată, aparținând celei de a doua etape de mineralizare, prezintă frecvent o textură fluidală în același sens cu direcția de fisurare.

**A treia etapă de mineralizare.** Această etapă corespunde formării unor filonașe de cupru gri, galenă, blendă, cu totul subordonat pirită și calcopirită. Mineralizația este însoțită de cuart idiomorf și de calcit. Filonașele au grosimi de ordinul centimetrilor și se dezvoltă în roca banatitică decolorată. Rezultă texturi rubanate prin alternanța zonelor predominant cuarțitice cu cele carbonatice. Trecerea lentă de la roca banatitică de culoare albă la aceste filonașe cuarțitice cu sulfuri precum și orientarea acestora paralel cu fisurile din rocă în care s-a depus pirlita însoțită de cuart și sericit, indică o continuitate în procesul de mineralizare.

#### Rolul mineralizatorilor în formăriile cerecate

Am amintit trei faze distincte în formarea mineralizației diseminatoare de cupru din corpul subvulcanic Suvorov. În realitate însă, de la o fază la alta, au avut loc treptări treptăte, cu efecte care s-au putut urmări adeseori la analiza microscopică. Considerăm ca un factor comun în toate fazele de mineralizare, participarea activă a gazelor ca agent de transport al metalelor grele, paralel cu diferențierea magmatică.

Dezvoltarea fazei pneumatolitice în procesul de diferențiere s-a tradus prin îmbogățirea magmei în mineralizatori și a avut următoarele efecte: a) scăderea temperaturii de cristalizare, cu tendința mineralelor de a cristaliza simultan. La analiza microscopică se observă că mincralele s-au impiedicat în creștere iar succesiunea în cristalizarea lor nu este întotdeauna cea normală. S-an întîlnit astfel incluziuni de plagioclaz în fenocristale de biotit. Biotitul este adeseori xenomorf; el mulează cristale idiomorfice de plagioclaz de aceleasi dimensiuni precum și cristale de

cuarț. Se observă o dezvoltare timpurie a mineralelor leucocrate, în special a cuarțului, care are o puternică acțiune de corodare. Pasta rocii este imbogățită în cuarț și are o acțiune de corodare asupra fenocristalelor; b) un conținut crescut de apatit și zircon, ca minerale accesoria; c) prezența concreșterilor de cuarț și ortoză de tip micrografic în asociație cu mineralizarea; d) înlocuirea fenocristalelor de hornblendă și a fenocristalelor de biotit prin biotit microlamelar de generația a II-a; e) creșterea conținutului de biotit și cuarț în pasta rocii. Cuarțul din pasta se dezvoltă în detrimentul feldspatului; feldspatul se argilizează sau trece în sericit și cuarț; f) biotitul se decolorează, trecând în final în nucă albă.

Rezultă astfel o îndepărțare a elementelor femice ea rezultat al unor reacții petrecute în stadiul final al consolidării magmatische. Crește caracterul alcalin al rocii ajungindu-se la parageneza cuarț-mică albă.

Paralel cu imbogățirea magmei în mineralizatori ca  $H_2S$ ,  $HCl$ ,  $HF$ ,  $H_2O$ ,  $CO_2$  și purtat chiar de către aceștia sub forma unor componente ușor volatile (cloruri, fluoruri), a fost antrenat din bazinul magmatic cuprul însoțit de stibiu, arsen, în cantități reduse molibden și argint.

### Considerații asupra genezei mineralizației

Așa cum afirmă Routhier (1963), asocierea mineralizației cu aparatul subvulcanic „ne obligă să admitem că rocile eruptive și fluidele mineralizatoare derivă dintr-o sursă magmatică comună”. Același autor admite coexistența în același sistem a fazelor gazeuze și a fazelor lichide, gradul de dezvoltare al fiecărei faze fiind funcție de condițiile de temperatură și presiune.

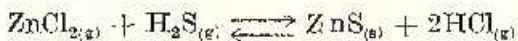
*Prima etapă de mineralizare* considerăm că aparține unei faze lichide magmatische care s-a imbogățit în elemente volatile paralel cu procesul de răcire. În acest sens pledează următoarele observații: frecvența asocierii mineralizației cu microlamele de biotit atât în pasta rocii cât și în fenocristalele melanocrate înlocuite; corodarea fenocristalelor de biotit de către mineralizație în asociație cu pasta. Datorită procesului de corodare, mineralizația însoțită de cuarț sau de concreșteri cuarț-feldspat formează incluziuni în fenocristalele de biotit; frecvența asocierii mineralizației cuprifere cu apatitul și zirconul; răspândirea mineralizației în întreg corpul banatic<sup>8</sup> și caracterul de diseminare fină al acesteia

<sup>8</sup> Observația aparține lui V. Patrieiu de la ICERMIN și a fost adusă în discuție cu ocazia susținerii lucrării de față.

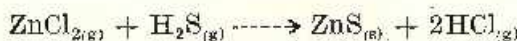
Observațiile prezentate mai sus ne îndreptățesc să considerăm că procesul de mineralizare a avut loc în faza lichid-magmatică, ulterior cristalizării fenocristalelor de biotit. El a inceput odată cu substituirea fenocristalelor melanocrate prin biotit microlamellar și a continuat paralel cu cristalizarea pastei, având maximum de dezvoltare odată cu cristalizarea biotitului din pastă.

Asocierea mineralizației cuprifere cu minerale accesori, considerate de temperatură înaltă, (apatit, zircon) ne îndreptățesc să presupunem că transportul compușilor metalici a avut loc la o temperatură destul de ridicată, sub formă de vaporii ai clorurilor metalice. În acest sens, o serie de date sunt prezentate de W a l k e r (1965) care amintește că la temperatura de 690°C a fost observat în disociere cu vaporii de  $PbCl_2$  radicalul  $PbCl^+$ . După acest autor, la temperaturi ridicate se pot forma prin disocierea clorurilor metalice, diversi radicali care sunt mai activi decât vaporii nedisociati. În cazul mineralizației de care ne ocupăm, cu astfel de cloruri metalice sub formă de vaporii sau cu radicalii proveniți din disocierea lor a putut fi adus ionul  $(PO_4)^{3-}$  care s-a fixat ca apatit. Compușii metalici au putut fi transportați sub formă de cloruri și s-au fixat ulterior ca sulfuri.

Atâtă vreme cit în magmă o serie de parametri rămân neschimbați (concentrația, temperatură, presiunea) se menține un echilibru între diferenți, compoziții conform unei constante specifice iar reacția este de forma :



Dacă se modifică unul din factorii care influențează echilibrul chimic al reacției, în sensul unui exces în  $H_2S$  sau pierderii de  $HCl$  prin reacția cu rocile înconjurătoare, echilibrul chimic se deplasează într-un singur sens și are loc precipitarea sulfuri :



Privitor la extragerea din magmă a metalelor, transportul compușilor metalici în fază gazoasă și precipitarea lor ca sulfuri, o serie de detalii sunt prezentate în lucrarea citată (W a l k e r, 1965).

Mentionăm aci că C o d a r c e a în studiul geologie și petrografic al regiunii Oena-de-Fier – Boeșa-Montană (1931) atribuie granulelor de pirită din rocile banatice originea pneumatolitică.

Considerăm granulele fine de cuart care însoțesc mineralizația ca formate din soluții reziduale iar cloritul ce ia naștere local pe fenocristalele de biotit odată cu pătrunderea compușilor metalici, ca fiind un clorit timpuriu, de natura deutererică (V i t a l i a n o 1957). În ceea ce privește

formarea pe seama feldspatului a montmorillonitului și a muscovitului de tip 3 T determinate prin analiză roentgen, problema nu este încă elucidată, în sensul că nu putem preciza dacă procesul a avut loc concomitant cu mineralizarea sau în imediata continuitate. Uniformitatea acestui fenomen, atât ca răspândire spațială cât și ca intensitate, pledează pentru prima ipoteză.

*A doua etapă de mineralizare* se caracterizează prin dezvoltarea paragenezei cuart-sericit-muscovit-pirite + calcopirite + cupru gri, în care caz, mineralizarea apare atât diseminată cât și prin umplerea unor fisuri care străbat roca în diferite sensuri.

Schneiderhöhn (1955) admite existența unei faze mixte, gazoasă și lichidă, în perioada finală de consolidare magmatică. Autorul afirmă că: „dacă în aceste fenomene magmatice rolul principal îl au soluțiile reziduale conținând componente volatile sau dacă îl au soluțiile gazoase propriu-zise, rămîne încă o problemă deschisă”.

În urma studiului microscopic efectuat, conchidem că cea de a doua etapă de mineralizare corespunde acestei faze mixte în care au avut o mare dezvoltare soluțiile reziduale bogate în componente volatile. Considerăm că parageneza cuart-sericit-muscovit-sulfuri ± minerale argiloase, calcit, nu este rezultatul unui autometamorfism, ei s-a format în stadiul final de consolidare a rocii. În sprijinul celor afirmate aducem următoarele argumente: modificările care au avut loc în componența mineralologică primară a rocii, în sensul unei dezvoltări largi a cuartului din pastă; inclocuirea fenocristalelor de biotit prin muscovit, ca urmare a unor reacții chimice petrecute la o temperatură destul de ridicată; prezența zirconului, pe care-l legăm de compuși volatili ai acestei faze; textura fluidală, cu orientarea fenocristalelor de plagioclaz în același sens cu fisurile care străbat roca.

Depunerea sulfurilor (predominant a piritei) de-a lungul fisurilor pare să indice continuarea procesului de mineralizare și în imediata continuitate după consolidarea rocii.

*În ceea de a treia fază de mineralizare* s-au format filonașe de cupru gri, blendă și galenă în gangă de cuart și calcit. Dată fiind larga dezvoltare a cristalelor de cuart, care apar alungite și perfect idiomorfe, se pare că în depunerea mineralizației au jucat un rol predominant soluțiile hidrotermale. Dezvoltată în faza finală de consolidare magmatică, este posibil ca mineralizarea din etapa a treia, să fi avut loc și după consolidarea rocii, în imediata continuitate. În acest sens pledează trecerea treptată de la filonașele amintite la roci banatitice îmbogățite mult în cuart, printr-un proces fie singenetic, fie metasomatic.

### Concluzii

În concluzie, considerăm mineralizația diseminată de cupru din corpul subvulcanic Suvorov ca fiind de origine endomagmatică. Ascensiunea compușilor metalici din bazinul magmatic a inceput în faza lichid-magmatică, concomitent cu cristalizarea pastei porfirului granodioritic și a continuat paralel cu diferențierea magmatică în faza pneumatoditică — hidrotermală și posibil în imediata continuitate a acesteia. În această interpretare, compuși metalici au fost în mare parte transportați sub formă de cloruri și s-au fixat ulterior ca sulfuri.

Factorii care au condus la ascensiunea din bazinul magmatic a compușilor cupriferi odată cu punerea în loc a corpului banatitic Suvorov nu ne sint încă cunoscute. Nu începe îndoială însă că anumite mișcări tectono-magmatice petrecute în scoarță au jucat un rol important în aceste procese. Tot astfel, crăpăturile formate prin contractie în cursul consolidării corpului eruptiv au constituit căi de acces pentru fluidele emanate din magma. Punerea în loc a corpului subvulcanic în imediata apropiere de suprafața scoarței, deci lipsa unei presiuni litostatice însemnante, a jucat fără îndoială un rol în dezvoltarea maximă a fazelor pegmatit-pneumatolitice în diferențierea magmatică.

### BIBLIOGRAFIE

- Cioflică G. (1967) Die Entwicklung des Laramischen Magmatismus in Rumänien. *Acta Geol. Acad. Sci. Hung.* 11 (1-3), 153-160. Budapest.
- Codarcea A. (1931) Studiu geologic și petrografic al regiunii Ocaș de Pier-Boeșa Montană. *An. Inst. Geol. Rom.* XV, 1-260. București.
- Gheorghita Ioana (1969) Anhidritizarea, studiu de transformare în cadrul activității hidrotermale, legată de rocile banatitice din reg. Moldova Nouă. *Stud. Cerc. Geol. Geogr. Ser. geol.* 14, 2, 375-384. București.
- Giuşcă D. (1963) Petrologia rocilor endogene. Editura didactică și pedagogică. București.
- Cioflică G., Savu I.I. (1966) Caracterizarea petrologică a provinciei banatice. *An. Com. Stat. Geol.* XXXV, 13-15 București.
  - Volanschi Ernestina (1971) Contribuții la studiul geochemical al blendelor și galenelor din zăcămintele polimetale alpine din România. *Stud. Cerc. Geol. Geogr. Ser. geol.* 16, 1, 39-45. București.
- Ianovici V., Giuşcă D., Ionescu Jeana (1965) Géochimie des processus d'altération hydrothermale des roches banatitiques de Moldova Nouă (Banat). *Carpatho-Balkan Geological Association, VII Congress Sofia. September 1965. Report Part III*, 303-307, Sofia.
- Dimitriu A., Pieptea Vasilica (1969) Étude des caractéristiques chimico-minéralogiques quantitatives des minéralisations du gisement de Moldova Nouă (secteur de Terezia - Covăcela) et des roches environnantes. *Rev. roum. géol. géogr. Ser. géol.*, 13, 2, 153-173. Bucarest.

- Ianovici V., Dimitriu A., Gheorghita Ioana, Andăr P. (1971) Variabilitatea mineralizației și a tipurilor petrografice în zăcământul Moldova Nouă (zona Suvorov-Valea Mare-Vârad). *Stud. Cerc. geol. geof. geogr. Ser. geol.*, 16, 1, 1-38, București.
- Johannsen A. (1962) A descriptive Petrography of the Igneous Rocks, II, *The University of Chicago Press*, Chicago, Illinois.
- Pieptea Vasiliica (1968) Considerații mineralogice asupra zăcământului de mineru complex de la Moldova Nouă (sectorul de nord). *D.S. Com. Stat. Geol.*, LIII/3, 245-271, București.
- Raguin E. (1961) Géologie des Gîtes minéraux, Masson et Cie, Edit. Paris.
- Răileanu Gr., Năstăseanu S., Boldur C. (1964) Sedimentarul paleozoic și mezozoic al domeniului getic din partea sud-vestică a Carpaților Meridionali. *An. Com. Geol.*, XXXIV, -2, 5-58, București.
- Routhier P. (1963) Les Gisements Métallifères, Masson et Cie, Edit. Paris.
- Schneiderhöhn H. (1961) Die Erz Lagerstätten der Erde I, Gustav Fischer Verl. Stuttgart.
- Walker A. L. (1965) Some Factors affecting Gas Phase Ore Transport *Econ. Geol.* 60, 1, 117-123, Lancaster.

## MINÉRALISATION CUPRIFÈRE DE TYPE DISSÉMINÉ DANS LE CORPS SUBVOLCANIQUE DE SOUVOROV (MOLDOVA (NOUĂ))

(Résumé)

Le corps subvolcanique de Souvorov, région de Moldova Nouă, revient à la province banatique et se rattache à la tectogenèse laramique. Il fait partie d'un alignement de corps éruptifs qui se continue au S du Danube en direction Bidan-Maeikatita (D. Glușcă et al., 1966). Dans ce corps banatique les forages ont intercepté sur une longueur de 1200 m et une largeur de 400 m une minéralisation de cuivre de type disséminé (porphyry copper) développée dans des porphyres granodioritiques.

À la constitution des roches qui abritent la minéralisation participent des phénocristaux de biotite, de plagioclase (environ 32% anorthite) et de manière subordonnée de quartz. Les phénocristaux sont englobés dans une pâte constituée de grains de quartz, de plagioclase et de manière subordonnée d'orthose, dont les dimensions varient de 0,10 à 0,15 mm. La réduction de l'orthose dans la pâte de la roche conduit à des transitions vers une diorite quartzifère porphyrique. Le porphyre granodioritique est constamment faiblement minéralisé de sulfures. Les roches à l'état frais, où la biotite n'est pas transformée, présentent une faible altération du feldspath avec formation de minéraux argileux (la montmorillonite prédominante).

L'étude des paragenèses renfermant la minéralisation révèle plusieurs étapes au cours de la formation de celle-ci.



### Première étape de minéralisation

La minéralisation est disséminée dans le porphyre granodioritique et s'associe aux minéraux silicatés primaires qui participent à la constitution de la roche. La minéralisation est formée de pyrite et de chalcopyrite, de manière subordonnée de cuivre gris, et sporadiquement de bornite. La chalcopyrite s'associe aux cristaux de pyrite qu'elle noue. Elle apparaît également sous forme de cristaux isolés, ou constituant des aggrégations allongées. Dans la plupart des cas le cuivre gris s'associe de chalcopyrite ; cette dernière contient parfois des inclusions de bornite. La minéralisation de la première étape se caractérise par la fréquence relative des minéraux cuprifères, qui apparaissent en quantité presque égale à celle de la pyrite.

A l'œil nu la roche présente une structure porphyrique évidente : de la pâte de couleur sombre due à une teneur élevée en biotite surgissent des phénocristaux de plagioclase de couleur blanche, mats, qui ont subi un processus d'argilisation. Les sulfures constituent des grains fins, disséminés dans la roche. Fréquemment ils sont englobés par des phénocristaux de biotite.

### Seconde étape de minéralisation

Dans cette minéralisation prédomine la pyrite et de manière subordonnée la chalcopyrite et le cuivre gris. La minéralisation est disséminée dans la roche autant que le long des fissures qui traversent la roche en différents sens. La minéralisation est accompagnée de quartz, sériceite, muscovite  $\pm$  minéraux argileux, calcite.

La seconde étape de minéralisation se caractérise par l'accroissement de la teneur en pyrite, alors que la fréquence relative des minéraux cuprifères diminue.

A l'œil nu la roche est décolorée. Les phénocristaux de plagioclase intensément transformés, de couleur blanche, se distinguent difficilement dans une matrice de couleur gris-clair. Il y a eu des échantillons où des parties de roches d'aspects frais revenant à la première étape de minéralisation qui restent incorporées dans la roche décolorée sous forme d'enclaves à caractères nettement distincts. En ce cas la roche revenant à la première étape de consolidation et de minéralisation présente une texture non-orientée, alors que la roche décolorée présente fréquemment une texture fluidale, orientée dans le même sens que la direction des fissures.

### Troisième étape de minéralisation

Cette étape correspond à la formation de filonnets de cuivre gris, galène, boulard et de manière tout à fait subordonnée de pyrite et de chalcopyrite. La minéralisation est accompagnée de quartz idiomorphe et de calcite. Les filonnets, épais de l'ordre des centimètres, se développent dans la roche banatitique décolorée par des passages progressifs.

### Considerations sur la genèse de la minéralisation

Comme Routhier (1963) l'affirme la présence de la minéralisation dans l'appareil subvolcanique nous oblige à admettre que les roches éruptives et les fluides minéralisateurs proviennent d'une source magmatique commune. Les observations effectuées au microscope sur des lames minces et polies nous portent à conclure que le processus de minéralisation s'est développé en même temps que la consolidation du magma. Au cours du processus de différenciation magmatique la phase pneumatolitique connaît un plus large développement. Le magma s'enrichit en minéralisateurs ( $H_2S$ ,  $SO_2$ ,  $HCl$ ,  $HF$ ,  $H_2O$ ,  $CO_2$ ) qui ont joué un rôle important au cours du processus de différenciation magmatique tout comme au cours du processus de minéralisation.



Nous considérons que la première étape de minéralisation appartient à une phase liquide de magma qui s'est enrichie en éléments volatiles au cours du processus de refroidissement. Le maximum de développement de la minéralisation s'associe à la cristallisation de la biotite de la pâte de la roche et à la formation de l'apatite et du zircon par l'intermédiaire des minéralisateurs. La minéralisation continue parallèlement à la cristallisation du quartz et du feldspath de la pâte. Alan L. Walker (1965) présente toute une série de données relatives à l'extraction des métaux du magma, au transport des composants métalliques et à leur précipitation sous forme de sulfures.

#### TABLEAU

*Minéralisation endomagmatique du corps subvolcanique Suvorov région Moldova Nouă (Banat)*

Vasilica Pieptea et al. Minéralisation cuprifère de type disseminé du corps Suvorov, région Moldova Nouă

	Phase liquide-magmatique riche en composants volatils	Phase pneumatolitique hydrothermale	Phase pneumatolitique et surtout hydrothermale
Paragenèse où apparaît la minéralisation	Minéralisation accompagnée par le quartz corrodant des phénocristaux de biotite. Teneur accrue en biotite. Teneur accrue en quartz de pâte. Feldspath plagioclase peu argilisé (montmorillonite).	Mica blanc (sérécite-muscovite) remplace tant le feldspath que les minéraux mélancratices. Teneur accrue en quartz. Minéraux argileux aux dépens du feldspath (montmorillonite).	Quartz Calcite
Mode de présentation de la minéralisation	Granules inclus dans les phénocristaux de biotite. Granules associés aux microlamelles de biotite.	Dépositions sur les fissures. Granules associés au muscovite dans le remplacement des phénocristaux mélancratices. Granules disseminés associés au quartz, sérécite, calcite.	Petits filons à épaisseurs centimétriques
Minéraux accessoires	Apatite Zirkon Titanite-leucoxène Rutile — à la fois que la chloritisation de la biotite	Zirkon Apatite	
Agent de transport	Minéralisateurs	Minéralisateurs et solutions résiduelles	Solutions résiduelles riches en minéralisateurs



Nous considérons que la seconde étape de minéralisation a eu lieu en conditions de la coexistence dans le même système de la phase gazeuse et liquide dans le sens utilisé par Schneider & Hahn (1955) et Routhier (1963). Des modifications ont eu lieu au cours de la formation de la roche banatique parallèlement au processus de minéralisation, notamment :

- teneur élevée en quartz de la pâte de la roche;
- substitution de la biotite par la muscovite à la suite des réactions chimiques survenues à des températures élevées;
- la fréquence du zircon comme minéral accessoire;
- texture fluidale orientée dans le même sens que les fissures minéralisées.

Les sulfures disséminés dans la roche décolorée qui aboutit à la paragenèse quartz-séricite-muscovite nous portent à penser à une minéralisation d'une phase finale de consolidation, sous l'action des solutions résiduelles riches en éléments minéralisateurs. La présence des sulfures (principalement pyrite) le long des fissures, indiquerait que le dépôt a eu lieu en continuité aussi après la consolidation de la roche.

L'analyse roentgen révèle que le feldspath des roches de la 1<sup>e</sup> et 11<sup>e</sup> étape de minéralisation est passé à la montmorillonite et à la muscovite de type 3T. Nous ne saurions préciser si le processus a eu lieu en même temps que la minéralisation ou immédiatement après. L'uniformité de ce phénomène comme extension et intensité plaide en faveur de la première hypothèse.

Nous attribuons la troisième étape de minéralisation toujours à une phase mixte, gazeuse et liquide, la dernière prédominante. Le caractère idiomorphe très accusé des cristaux de quartz (intimement enchevêtrés de minéralisation) est un indice pour un dépôt formé aux dépens des solutions hydrothermales. Tout comme dans le cas antérieur il arrive un passage graduel de la roche banatique décolorée aux filonnets formés de sullures complexes. Développée pendant la phase finale de consolidation magmatique la minéralisation aurait pu avoir lieu aussi après la consolidation de la roche, immédiatement après son refroidissement.

### Conclusions

Nous considérons que la minéralisation disséminée de cuivre du corps subvolcanique de Souvorov est d'origine endomagnétique. L'ascension des composants métalliques du bassin magmatique débute au cours de la phase liquide-magmatique en même temps que la cristallisation de la biotite de la pâte du porphyre granodioritique et se continue parallèlement à la différenciation magmatique de la phase pneumatolitique-hydrothermale et probablement immédiatement après le refroidissement de la roche. Dans cette acceptation les composants métalliques ont pu être en grande partie transportés sous forme de chlorures et ont pu se fixer sous forme de sulfures.

Les facteurs qui ont conduit à l'ascension des composants cuprifères du bassin magmatique, parallèlement à la mise en place du corps banatique ne sont pas encore connus. Sans doute aucun, certains mouvements tectono-magmatiques survenus dans l'écorce ont joué un rôle important au cours de ces processus. Il en est de même des fissures formées par contraction durant la consolidation.

du corps éruptif qui ont constitué des voies d'accès pour les fluides émis par le magma. La mise en place du corps subvolcanique a eu lieu au voisinage immédiat de la surface de l'écorce. L'absence de la pression lithostatique a joué sans doute un rôle important pour le développement maximum de la phase pegmatitique — pneumatolitique au cours de la différenciation magmatique.

**Planche II**

Carte géologique de la zone de Moldova Nouă, d'après la carte géologique de la zone de Reșița, par Răileanu, Năstaseanu, Boldur.

1, Quaternaire; 2 a, banatites; b, zone de contact; 3, Albien-Cénomanien; 4, Aptien supérieur; 5, Aptien inférieur-Barémien; 6, Hauterivien; 7, Valanginien-Derriassien; 8, Tithonique supérieur; 9, Tithonique inférieur; 10, Kimméridgien inférieur-Oxfordien supérieur; 11, Oxfordien inférieur-Callovien supérieur; 12, Callovien moyen; 13, Callovien inférieur-Dogger; 14, Lias supérieur-Lias moyen; 15, Trias moyen; 16, Trias inférieur; 17, schistes cristallins; 18, dislocation occidentale; 19, accidents tectoniques régionaux; 20, d'autres accidents tectoniques; 21, anticinal; 22, synclinal; 23, direction et déversement des couches; 24, point fossilifère; 25, forages dans le corps banatitique Suvorov examinés au microscope



## PLANSA I



## PLANŞA I

Fig. 1. — Etapa I de mineralizare. Fenocrystal de biotit corodat de pasta rocie și de mineralizare. Mineralizația apare astfel inclusă în fenocrystalul de biotit (centru dreapta). Mineralizația este asociată cu cuarțul (Q), zirconul (Z) și apatitul (A). Biotitul trece în clorit cu formarea de rutil, (dreapta sus). Nif $\times$ 50.

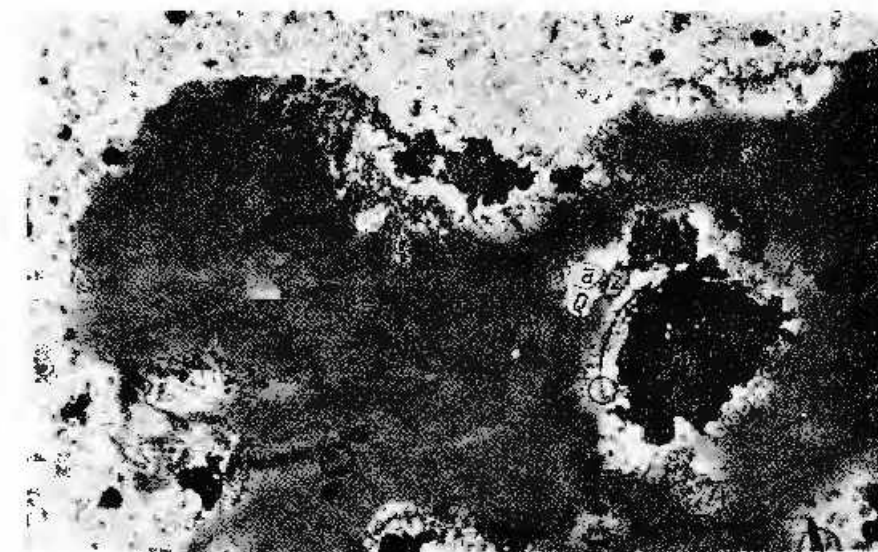
Etape I de minéralisation. Phénocrystal de biotite corrodeé par la pâte de la roche et par la minéralisation. La minéralisation apparaît ainsi coincée dans le phénocrystal de biotite (centre droite). La minéralisation est associée au quartz (Q), au zirkone (Z) et à l'apatite (A). La biotite passe au chlorite à formation de rutile (droite en haut). Nif $\times$ 50.

Fig. 2. — Etapa I de mineralizare. În fenocrystalul de biotit mineralizația pătrunde dealungul direcțiilor de clivaj, însolită de cuarț și de clorit denticul. Nif $\times$ 50.

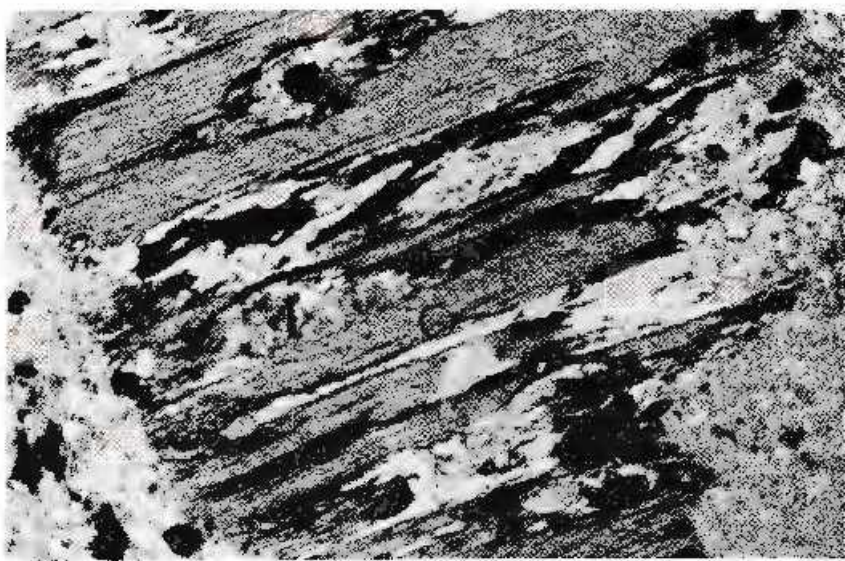
Etape I de minéralisation. Dans le phénocrystal de biotite la minéralisation avance le long des directions de clivage, accompagnée par le quartz et par le chlorite déuhérique. Nif $\times$ 50.



VASILICA PIEPTEA et al. Mineralizația cupriferă diseminată la Suvorov. Pl. I.



1

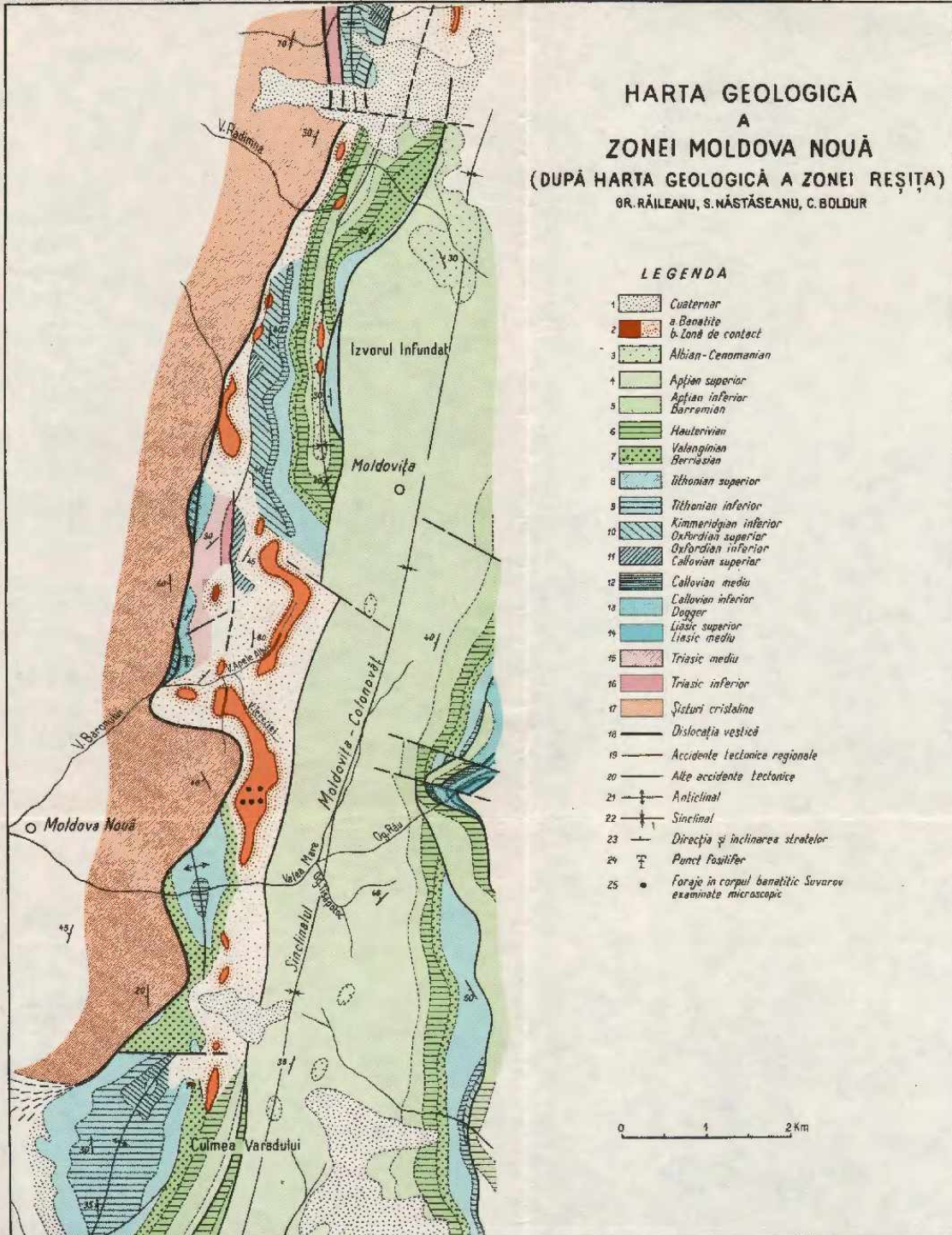


2

Institutul Geologic. Dări de seamă ale ședințelor, vol. I.IX/2.



Institutul Geologic al României



## MINERALIZAȚIA ENDOMAGMATICĂ DIN CORPUL SUBVULCANIC SIVOROV REG. MOLDOVA NOUĂ(BANAT)

VASILICA PLEPTEA et al. Mineralizație cupriferă de tip disperzat din corpul subvulcanic Sivorov, regiunea Moldova Nouă

PL III

	FAZA LICHID MAGMATICA BOGATĂ ÎN COMPONENTE VOLATILE	FAZA PNEUMATOLITICĂ - HIDROTERMALĂ	Faza pneumatolitică - HIDROTERMALĂ
Parageneza în care apare mineralizația	<p>Mineralizația insotită de cuart corodează fenocristalele de biotit.</p> <p>Conținut crescut de biotit în pastă</p> <p>Conținut crescut de cuart în pastă</p> <p>Feldspatul plagioclaz usor argilizat (montmorillonit)</p>	<p>Mica albă (sericit-muscovit) înlocuiește esteit feldspatul și mineralul melanocrata.</p> <p>Conținut crescut de cuart</p> <p>Minerale argiloase pe seame feldspatului (montmorillonit)</p>	Cuart Calcit
Modul de prezentare a mineralizației	<p>Granule incluse în fenocristale de biotit</p> <p>Granule asociate cu microlamelle de biotit</p>	<p>Depuneri pe fisuri</p> <p>Granule asociate cu muscovitul în înlocuirea fenocristalelor melanocratae</p> <p>Granule disperse asociate cu cuart, sericit, calcit</p>	Filonase cu grosimi de ordinul centimetru
Minerale accesoriile	<p>Apatit</p> <p>Zircon</p> <p>Titanit - leucoxen</p> <p>Rutit - adăposte cu cloritizarea biotitului</p>	Zircon Apatit	
Agentul de transport	Mineralizatori	Mineralizatori și soluții reziduale	Soluții reziduale bogate în mineralizatori
Gradul de participare al mineralelor metalice			

## 2. ZĂCĂMINTE

### CONTRIBUȚII LA STUDIUL MINERALIZAȚIEI POLIMETALICE DE LA RUSCHIȚA<sup>2</sup>

DE

VASILE POMĂRLEANU, AURELIA MOVILEANU, TITUS MURARIU<sup>2</sup>, STEFAN  
MIHĂLKĂ<sup>3</sup>

#### Abstract

*Contributions to the Study of the Polymetallic Mineralization in the Ruschita Area. Relying on an underground documentation, on an association relations between the ore bodies and surrounding rocks, on microscopical observations, on textures and structures, and on geochemical and geothermometrical data, it was proved that the Ruschița polymetallic mineralization pertains to two metallogenies. a) A premetamorphic mineralization under the form of layers and microfolded lenses is conformably distributed in schists; this mineralization of volcanogenous-sedimentary origin, regionally metamorphosed, was affected by hydrothermal solutions generated by a banatitic magmatic intrusion. b) A postmetamorphic mineralization under the form of stockworks and veins has formed due to the activity of the same solutions.*

În partea sud-vestică a masivului cristalin Poiana Ruscă se află zona de mineralizație cu sulfuri polimetalice de la Ruschița. Această zonă a constituit obiectul de studiu al multor lucrări cu caracter geologic și petrografic (Codarcea, Petruțian 1943<sup>4</sup>; Giuşcă, et al. 1956; Pavelescu 1958; Codarcea, Pavelescu 1964; Pavelescu et al. 1964, etc.), mineralogic (Hristescu,<sup>5</sup> Iaco-

<sup>1</sup> Comunicare în ședința din 31 III 1972.

<sup>2</sup> Institutul Geologic, sectorul de geo chimic, Alea Gr. Ghica Vodă 41 A, Iași.

<sup>3</sup> Institutul de cercetări pentru minereuri neferoase, str. Victoriei nr. 165, Baia-Mare.

<sup>4</sup> A. Codarcea, N. Petruțian. Raport geologic minor asupra zăcămintului de minereuri din reg. Ruschița. 1943. Arh. Inst. Geol. București.

<sup>5</sup> G. Hristescu, M. Iacobescu. Studiul mineralologic al zăcămintului din sectorul Vf. Boul. 1963. Arh. Inst. Geol. București.

bescu 1963 ; Bordea, Mihăilă 1967<sup>6</sup>; Udubașa 1970<sup>7</sup>, metalogenetic (Kräutner 1964) geochemical (Giusea, Volanschi 1968) și altele.

Pe baza unor studii de documentare în subteran, a observațiilor petrografice și mineralogice precum și a datelor geotermometrice și geochemicalice asupra probelor din rocile înconjurătoare și din minereu, s-a ajuns la concluzia că mineralizația de sulfuri polimetale de la Ruschița aparține la două metalogeneze: una premetamorfică și alta postmetamorfică.

#### A) Observații petrografice și mineralogice asupra rocilor

Rocile din vecinătatea mineralizației de sulfuri polimetale sunt reprezentate prin sisturi cristaline și roci eruptive banatitice.

**1. Sisturi cristaline.** Rocile cristalofiliene sunt reprezentate prin diferite tipuri de sisturi cloritoase, calcar cristaline, sisturi grafitoase, amfibolite, etc. Pe lîngă mineralele caracteristice fiecărui tip de rocă, ele conțin din abundență epidot, clorit, calcit, precum și pirită, magnetit, hematit, calcopirită, și altele. O descriere sumară a principalelor roci metamorfice în care se află mineralizația a fost prezentată de către, Pomărleanu, Movileanu, Murariu 1972<sup>8</sup>.

Amfibolitele și sisturile amfibolitice deși au o răspindire redusă, totuși rețin atenția prin faptul că dă unele indicații suplimentare cu privire la geneza mineralizației de sulfuri polimetale.

Amfibolite prezintă o structură nemato-granoblastică. Ele conțin amfiboli, cuart, epidot, magnetit, calcopirită, etc.

Amfibolul se dispune sub forma unor prisme alungite și distribuite divergent. După caracterele optice, aceasta corespunde unei hornblende cu tendință de actionolitizare sau cloritizare (pl. I, fig. 1).

Hematitul sub formă lamelară este muschetovitizat și corodat de mineralele amfibolitului.

<sup>6</sup> R. Bordea, Maria Mihăilă. Consideraționi genetice asupra mineralizației de la Ruschița, 1967. Com. șt. D.G.P.E.M.

<sup>7</sup> G. Udubașa. Studiu mineralogic al zăcământului Ruschița. 1970. Arh. Inst. Geol. București.

<sup>8</sup> V. Pomărleanu, Aurelia Movileanu, T. Murariu. Raport asupra studiului geochemical și geotermometric al rocilor și mineralizației polimetale de la Ruschița. 1972. Arh. Inst. Geol. București.

Rocile seriei cristalofiliene sub influența intruziunilor banatitice și a soluțiilor hidrotermale au fost supuse unor puternice fenomene de epidotizare, cloritizare și carbonatare.

Fenomenul de epidotizare a invadat uneori întreaga masă a rocilor transformându-le în adevărate epidotite. În alte sectoare șisturile cristaline (cu intercalări de calcar) la contact cu dyke-urile eruptive, apar cu aspect de skarn, în care epidotul sub formă de cristale euhedrale este mulat de calcit (pl. 1, fig. 2).

Șisturile cristaline din perimetrul zăcământului Ruschița, sub influența acțiunii de contact și a soluțiilor hidrotermale, au suferit diverse transformări care arată trecheri continue de la șisturi, epidotite, pseudoskarne și pînă la skarne propriu zise.

**2. Rocile eruptive.** Rocile banatitice din cadrul perimetruului mineralizației polimetalice, sunt reprezentate prin tipuri filoniene cu diferite grade de transformare.

Rocile din dykl-ul eruptiv interceptat la toate orizonturile luerărilor subterane sunt cenușii-verzui cu structură porfirică și textură fluidală. Ele sunt constituite din plagioclazi, quart, hornblendă, biotit, epidot, clorit, pirită, etc. În unele sectoare conțin cu totul întimplător și ortoză.

TABELUL 1

*Tipurile de macă și conținutul în An din plagioclazi*

Individul	Tipul de macă	An. %
1-2	Albit	42
1-3	Albit+Karsbad	38
3-4	Albit	40
2-3	Manebach-Ala A	40

Feldspatii plagioclazi sunt mineralele care predomină atât ca fenocristale cât și ca microlite. Fenocristalele au o formă prismatică alungită și adesea sunt sericitizate, caolinizate și calcitizate. Uneori fenomenele de sericitizare și caolinizare au afectat numai zona marginală, lăsind să se observe în partea internă a cristalelor macle polisintetice (fig. 1; tab. 1). După cum indică sechita din fig. 1 și datele din tabelul 1 (determinate de I. Petreus), plagioclazii se caracterizează prin macă Albitului, Albit+Karsbad și Manebach-Ala A.

Karlsbad și Manebach -Ală A. Plagioclazi după procentul de anortit corespund unui andezin.

Oarțul primar, sub formă de fenocristale apar sporadic și este puțernic corodat (pl. I, fig. 3).

Cind roca conține ortoză, feldspații plagioclazi indică conținuturi între 24–36% An, înscriindu-se în domeniul oligoclazului.

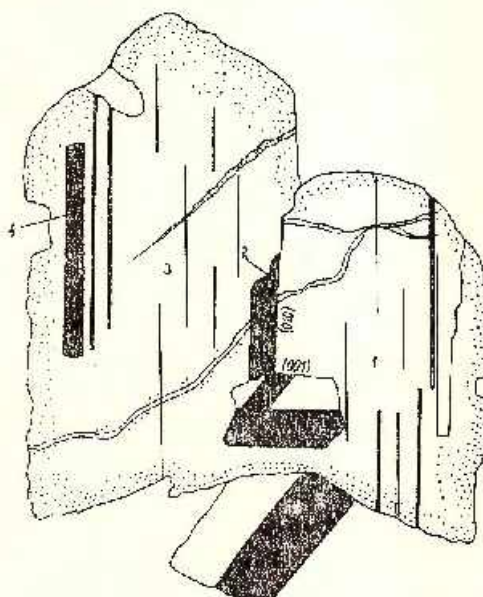


Fig. 1. — Plagioclazi argilizați marginal și maclezi polysynthetici.

Cifrele 1–4 reprezintă numărul individelor cristalizării după care s-a determinat tipurile de macele, relate în tabelul 1.

Plagioclases montant des argillisations marginales et des macles polysynthétiques.

Les chiffres 1–4 représentent le nombre d'individus cristallisés, à partir desquels on a déterminé les types de macle du tableau 1.

Hornblenda și biotitul sunt complet substituiri de clorit, epidot și carbonați. Hornblenda se distinge după contururile caracteristice, bazale sau prismatice iar biotitul după formele lamelare și pseudohexagonale (Pomărleanu, Movileanu, Murariu 1972<sup>a</sup>).

La limita de separare a lamelelor de biotit cu masa fundamentală a rocii se dezvoltă cristale euhedrale de pirită (pl. II, fig. 1).

Pe lîngă dyke-ul de andezit și dacit, cu orientare generală N–S și cădere 50–70° West, în lucrările din subteran mai apar și mici filoane de lamprofire dispuse tot discordant față de sistematitatea rocilor metamorfice. Ele prezintă de asemenea o structură porfirică. Atât fenocristalele mineralelor leucocrate cît și a celor melanocrate sunt loarte alterate.

<sup>a</sup> Op. cit., pet. 8.

### B) Mineralizația de sulfuri polimetalice

Mineralizația se prezintă sub formă de zone diseminatе în șisturi cristaline, strate, lentile, volburi și filoane.

Zonele diseminatе, stratele și lentilele au o dispoziție concordanță față de planele de șistozitate, în timp ce volburile și filoanele sunt discordante.

**1. Texturile și structurile mineralizației.** În cadrul primelor trei tipuri de corpori, mineralizația polimetalică se caracterizează prin texturi stratiforme și microcutate iar în volburi și filoane se observă texturi brecioase, în benzi paralele și masive.

Texturile stratiforme și microcutate sunt constituite în benzi de galenă + blendă – cuarț + calcopirită + hematit, ce alternează cu benzi de șisturi epidotizate (fig. 2).

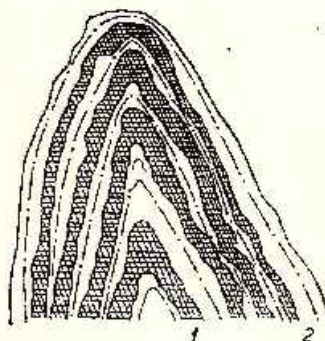
Zonele filoniene se caracterizează printr-o umplutură cu texturi brecioase, în benzi paralele și masive. Aspectul brecios este imprimat de fragmentele de șisturi intens epidotizate și incluse într-o masă de cuarț și calcit. Lateral, apar benzi paralele de galenă – blendă + calcopirită cu caracter masiv dispuse simetric. În alte portiuni, umplutura filoniană se caracterizează și prin texturi în geodă (fig. 3). Texturile în geodă se

Fig. 2. — Textură stratiformă și microcutată,

1. Polysulfure à gangue de quartz + hematite; 2. șisturi intens epidotizate

Texture stratifiées et microplissées,

1. polysulfure à gangue de quartz + hématoïte; 2. schistes intensement epidotisés.



evidențiează prin prezența monocrystalelor de cuarț acoperite de cristale de calcit. Uneori în geode, alături de cuarț și calcit, se dezvoltă și cristalele euhedrale de galenă și blendă.

Observațiile asupra mineralizației polimetalice arată că după aspectele texturale ea poate să fie atribuită la două metalogeneze distințe. De asemenea studiile microscopice arată că mineralizația stratiformă și

microcutată, spre deosebire de cea filoniană și sub formă de volburi, conține din abundență, pe lingă blendă, galenă, calcopirită, etc., pirită, magnetit și hematit (specularit).

Deosebiri frapante dintre aceste două tipuri de mineralizații se evidențiază, după cum indică observațiile microscopice și din punct de vedere

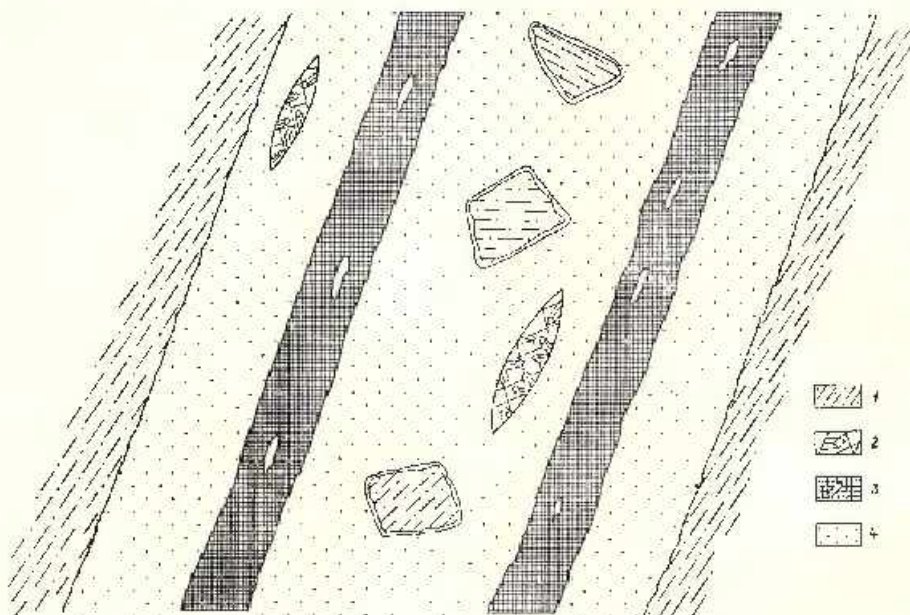


Fig. 3. — Textură breccioasă și benzi paralele.

1. schiste cristalline transformate hidrotermal; 2. geode cu calcit + quart; 3. galenă + blendă + quart + calcopirită; 4. agregate de quart + calcită.

Texture brécheuse et en bandes parallèles.

1. schistes cristallins ayant subi des transformations hydrothermales; 2. gédodes remplis de calcite + quartz; 3. galène + blendé + quartz + chalcopyrite; 4. amégates de quartz + calcite.

structural. În acest sens, la mineralizația stratiformă și cutată sunt caracteristice structurile de coroziune. Acestea sunt determinate de corodarea piritei de către galenă, a cuartului de către blendă și mai ales de galenă, a blendei de către calcit, a hematitului de către mineralele amfibolitului, etc (fig. 4).

Structurile de substituție sunt caracteristice ambelor tipuri de mineralizație polimetalică, dar cu o frecvență mai mare în cea de tip filonian și volbură.

În corporile de minereu lenticulare și stratiforme microcuteate din sisturi, blenda și galena sunt asociate spațial, fapt care arată că ele au cristalizat simultan și în același condiții de temperatură. În schimb în mineralizațiile din filoane se observă o succesiune în sensul că prima a

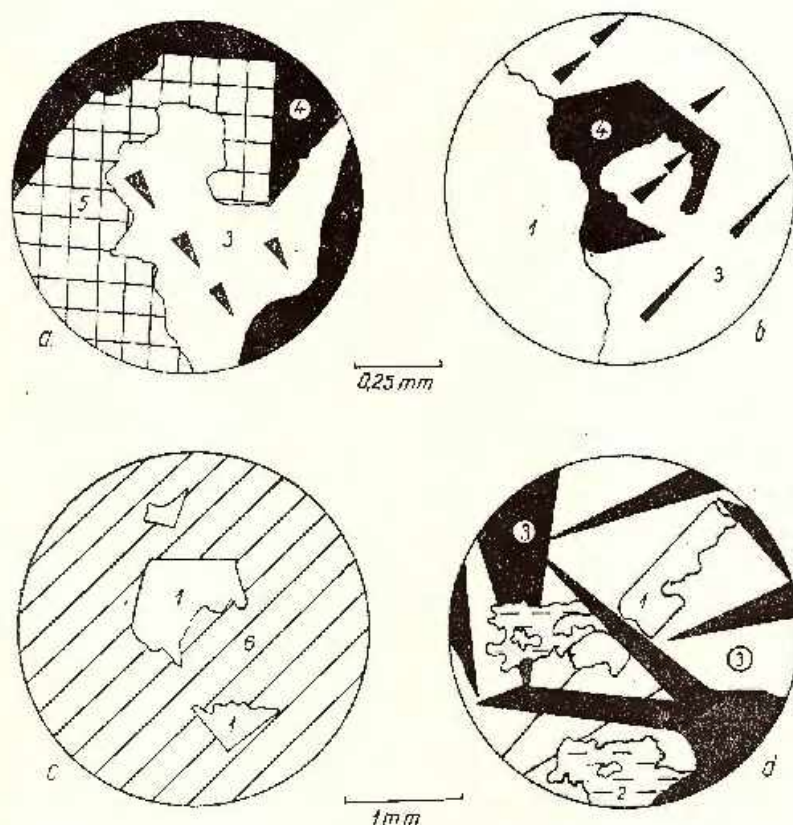


Fig. 4. — Structuri de corozie în mineralizare stratiformă de polysulfuri din sisturi.

a, cristal de pirită (5) corrodat de galenă (3); b, quartz (4) corrodat de blenda (1) și galenă (3); c, blenda (1) corrodată de calcar (6); d, hemicita murchekovită (1) corrodată de amfibol. Amfibolul (3) la rindul său este corrodat de calcopirita (2).

Schistes montrant des structures de corrosion dans la minéralisation stratifiée de polysulfures.

a, cristal de pyrite (5) corrode par la galène (3); b, quartz (4) corrode par la blende (1) et la galène (3); c, blende (1) corrode par la calcite (6); d, hémimite murchekovitée (1) corrode par l'amphibole. Amphibole (3) corrode à son tour par la chalcocrite (2).

cristalizat blenda și apoi galena. Cât privește calcopirita din mineralizația stratiformă în mare parte pare să fie postmetamorfică, deoarece ea substituie mineralele amfibolitului (fig. 4 d).

**2. Relațiile dintre corpurile de minereu și rocile înconjurătoare.** Perimetru zonei de mineralizație de la Ruschița a fost afectat de o serie de deranjamente tectonice mai ales după formarea mineralizației stratiforme din sisturi și înaintea celei sub formă de volburi.

Mineralizațiile cu sulfuri polimetalice (blendă, galenă, pirită, etc.) sub formă de diseminări și lentile concordante cu sisturile cristaline, au fost microcuteate împreună cu rocile cristaline. În timpul metamorfismului sulfurile au suferit mobilizări. Într-o fază posterioară metamorfismului, dislocările disjunctive au dat naștere la o serie de falii orientate aproximativ N-S.

Aceste falii orientate aproximativ transversal față de planele de șistozitate ale rocilor metamorfice au constituit ulterior căile de acces ale magnei banatitice care, infiltrându-se de-a lungul lor, a format dyke-uri de andezite cuartifere, dacite precum și filoane lamprofirice.

În lungul faliei dintre calcare și amfibolite s-a format o brecie tectonică silicifiată, carbonată și cloritizată. Ulterior, sub influența acțiunii soluțiilor hidrotermale, alimentate de o intruziune magmatică banatitică de adâncime, a avut loc o metasomatoză de infiltrație în această brecie care a dat naștere la mineralizația polimetalică sub formă de volburi. De asemenea în lungul unor falii mai mici, dispuse discordant sub un unghi de 15–30° față de planele de șistozitate, soluțiile hidrotermale au dat naștere la o mineralizație de sulfuri polimetalice sub formă de filoane.

Mineralizația stratiformă de sulfuri polimetalice metamorfozată regional, și rocile seriei cristalofiliene sunt cuprinse în aureola soluțiilor hidrotermale generate de intruziunea banatitică de profunzime. Aceste soluții și-au lăsat adine amprentele atât asupra mineralizației stratiforme și microcuteate prin prezența în minereu a structurilor de coroziune și de substituție, cât și asupra sistemelor cristaline din vecinătate, prin intense zone de cloritizare, epidotizare, silicifiere, carbonatare, etc.

După punerea în loc a dyke-urilor eruptive precum și a mineralizației sub formă de volburi și filoane, soluțiile hidrotermale au mai acționat în diferite perioade ducind la alterarea intensă a mineralelor din rocile eruptive și metamorfice.

De asemenea aceste soluții au dus la umplerea cu calcit, cuart și caleopirită a unor fisuri ce traversează volburile și mai ales zonele filoniene.

### C) Incluziunile fluide și datele geotermometrice

Studiul incluziunilor permite conturarea aureolelor de dispersie ale fluidelor pneumatolitice și hidrotermale, fluide ce sunt responsabile, de înțreaga suță a fenomenelor de alterare care s-au succedat asupra rocilor, în timpul și posterior depunerii mineralizației. În acest sens, studiul incluziunilor fluide corelat cu observațiile petrografice și mineralogice au permis să se determine condițiile de temperatură ale unor minerale de neoformare din roci. De asemenea a dat posibilitatea să se determine temperatura de formare a unor asociații de minerale din corporile filoniene și volburi. În final, studiul incluziunilor a dus la stabilirea unor corelații dintre succesiunea de depunere a unor minerale din zăcămînt, tipurile de incluziuni și temperatura de omogenizare a fazelor din incluziuni.

**1. Tipurile de incluziuni.** După compoziția fazelor existente în incluziuni și după gradul de umplere au fost detectate mai multe tipuri de incluziuni care sunt menționate în tabelul 2.

TABELUL 2

*Tipurile de incluziuni fluide după compoziția și starea fazelor din roci și minereu*

Formațiunea	Mineralul	Tipurile de incluziuni
Roci eruptive	Cuarț	monofazice (gazoase); bifazice (lichid + gaz + stică); trifazice (lichid + cristal $\text{CaNa} + \text{gz}$ )
	Ortoza	monofazice (gazoase); bifazice (lichid + gaz)
Epidotit	Cuarț	bifazice (lichid - gaz); trifazice (lichid + cristal + gaz)
Sist. cloritos	Cuarț	bifazice (lichid + gaz)
	Flindă	bifazice (lichid + gaz); trifazice (lichid + cristal + gaz)
Minereu	Cuarț	bifazice (lichid + gaz)
	Calcit	monofazice (lichid); bifazice (lichid + gaz)

În cuartul primar din rocile eruptive și din epidotite pe lîngă tipurile comune de incluziuni s-au remarcat și incluziuni trifazice în care una din faze este solidă (fig. 5).

În cazul probelor de minereu s-au identificat incluziuni fluide primare pseudosecundare și secundare din blendă (pl. II, fig. 2), cuart (pl. II,

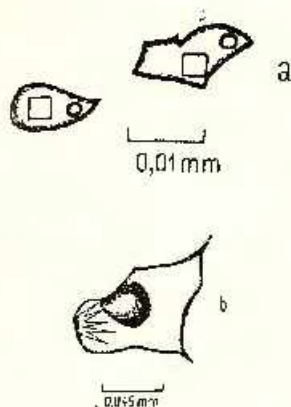


Fig. 5. – Incluziuni trifazice: a, în cuartul din andezite; b, în cuartul din epidotite.

Inclusions triphasiques: a, dans le quartz de l'andésite, b, dans le quartz de l'épidotite.

fig. 3, pl. III fig. 2) și calcit (pl. III, fig. 1 și fig. 3) de la mai multe orientări.

Mineralele menționate conțin o gamă variată de incluziuni diferențiate după gradul de umplere.

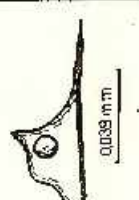
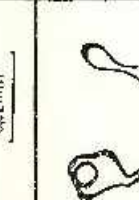
**2. Geotermometria mineralizației polimetaleice.** În scopul obținerii datelor geotermometrice asupra mineralizației de la Ruschița s-a utilizat metoda omogenizării și decrepitării incluziunilor fluide. Datele sunt reprezentate în tabelul 3.

Din acest tabel rezultă că pentru cuart, pe întregul zâcămînt, temperatura de omogenizare a incluziunilor fluide primare variază între 352°C și 407°C.

Cuartul asociat cu epidot indică temperaturi cuprinse între 392°C și 407°C iar cel asociat cu calcit are valori cuprinse între 262° – 282°C.

Din stadiul incluziunilor fluide al asociației blendă + cuart + calcit s-a ajuns la evidențierea unei corelații între succesiunea de depunere a mineralelor și tipurilor de incluziuni fluide și a unei corelații între tipurile de incluziuni și temperatura de omogenitate a fazelor din acestea (fig. 6).

Temperaturile mult mai ridicate și gradul de umplere al incluziunilor din cuartul II, după cum rezultă din această succesiune, s-ar putea să fie datorate unor fenomene de recurență.

MINERALUL	Tipul de incluziuni		Temperatură de omogenizare °C	
	primare și pseudosecundare	secundare	primare și pseudosecundare	secundare
MANGANEZUL			283 – 302 310 (decrepitare)	102 – 186
CALCIT			373 – 412 0.02 mm	118 – 182
CUARTZ			317 – 374 0.037 mm	142 – 176
BLENDA				

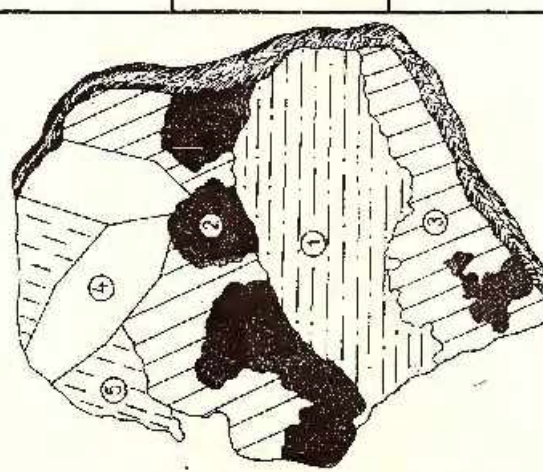


Fig. 6. — Corelația dintre succesiunea de depunere a unor minerale, înimul de inclusiune și temperatura de omogenizare ;  
La corrélation entre la succession d'accumulation de certains minéraux, le type d'inclusion et la température d'homogénéisation.

**TABELUL 3**  
*Temperatura de formare a unor minerale și asociații de minerale din mineralizația de la Ruschița*

Orizontul	Asociația de minerale	Nr. probei	nr. determinării	Temperatura °C	
				omogenizare	decrepitarea
820	calcit**	820	32	252—310	—
782	cuart + galenă + calcit	15	45	283—350	310—324
742	cuart + calcit + epidot	40	18	317—324 126—173*	—
			13	31	283—297
705	cuart + epidot cuart + calcit	47	22	392—407	—
658	cuart + calcit	1 331	15	310—351	—
614	blendă + cuart + calcit	1 335	10	317—373 143—178*	—
	cuart + calcit	1 336	12	313—324	—
	calcit	614	16	268—288	—
574	cuart + calcit	1 388	18	321—374	365—370

\* închiziuni secundare, \*\* Determinările geotermometrice au fost obținute pe mineralul subliniat.

**3. Geotermometria mineralelor de neoformare din rocă.** Studiul fenomenelor de alterare, asupra rocilor cristalofiliene și a celor eruptive banalitice, a arătat că în perimetru mineralizației de la Ruschița se găsește o aureolă de contact termic peste care se suprapune, pe o arie mult mai mare, o aureolă hidrotermală. Aporturile hidrotermale, care s-au succedat în diferite stadii, s-au suprapus peste efectele contactului termic și au dus în final la modificarea caracterelor structurale și a compoziției mineralogice a rocilor. În acest sens, drept mărturie sunt suprapunerile repetitive ale fenomenelor de epidotizare, sericitizare, cloritizare, caolinizare, silicifiere, carbonatare, etc.

Fenomenul de epidotizare, s-a manifestat prin transformarea silicăilor aluminoși și feromagnezieni din rocile metamorfice și eruptive.

Datorită dezvoltării cercetărilor cu privire la sinteza unor minerale și a cercetărilor geotermometrice, în literatură sunt menționate unele date și asupra temperaturii de formare a epidotului.

Astfel Raamberg (1949) a arătat că formarea epidotului poate avea loc pe scăma anortitului la presiuni relativ joase și la temperaturi nu mult sub  $470^{\circ}\text{C}$ .

Winkler și Nitsch (1963) au semnalat, în urma unor cercetări experimentale că epidotul se poate forma într-un interval de temperatură cuprins între  $315^{\circ}$  și  $650^{\circ}\text{C}$ .

Hefliec (1966) studiind mineralele din grupa epidotului (epidot, zoizit și clinozoizit) care se găsesc în zona de alterare a rocilor cu un grad mic și mediu de metamorfism, a arătat că formarea acestor minerale depinde, în primul rând de condițiile de temperatură și presiune. După unele date din literatură, autorul arată că zoizitul s-a format între  $400^{\circ}\text{C}$  și  $500^{\circ}\text{C}$ .

Mai târziu Miaz și Koltun (1960), pe baza studiului incluziunilor fluide din epidot, ajung la concluzia că formarea acestui mineral a avut loc într-un interval larg de temperatură cuprins între  $120^{\circ}$  și  $390^{\circ}$  (fără corecții de presiune).

Termodecrepitograma epidotului din zona de skarn de la Ocna-de-Fier după Filipp (citat de Pomărleanu 1971) indică începutul decrepitării epidotului la cca  $360^{\circ}\text{C}$  cu un maxim între  $400^{\circ}$  și  $450^{\circ}\text{C}$ .

În cazul epidotizărilor intense ale rocilor metamorfice și ale rocilor eruptive în care este localizată mineralizația polimetalică de la Ruschița, datele geotermometrice asupra asociației cuarț+epidot, arată că formarea epidotului a avut loc între  $390^{\circ}$  și  $412^{\circ}\text{C}$ .

Cit privește fenomenul de cloritizare, după relațiile de asociere ale cloritului cu epidotul din mineralele rocilor eruptive (hornblendă și mai ales biotit), aceasta s-a manifestat odată cu desăvîrșirea epidotului la temperaturi probabil sub  $400^{\circ}\text{C}$ . În rocile metamorfice supuse cloritizării, s-ar părea că mai întâi a avut loc depunerea cloritului și apoi a epidotului, dăr sătăciile în care depunerea acestor minerale a decurs și în ordine inversă ca în cazul rocilor eruptive. Această constatare denotă că formarea epidotului a avut loc într-un interval larg de temperatură.

Concomitent cu alterarea mineralelor feromagneziene din roci, sub acțiunea intensă a epidotizării și cloritizării s-a produs și alterarea feldspațiilor.

Referitor la produsele de alterare ale feldspațiilor Folk (1947) a elaborat o diagramă din care se pot deduce condițiile de formare ale sericitului și caolinitului. Mai tîrziu, Stringham (1952) dă o diagramă generală cu indicarea cimpurilor de temperatură de formare a multor minerale rezultate prin alterația hidrotermală în funcție de pH-ul soluțiilor hidrotermale. Din ambele diagrame rezultă că sericitul se poate forma într-un interval larg de temperatură. Astfel în medii acide, sericitul se formează la temperaturi ridicate iar în cele ușor alcaline, la temperaturi joase.

În cazul feldspațiilor din andezitele cercetate, conform diagrameelor lui Folk și Stringham, se poate face o evaluare aproximativă a temperaturii de formare a sericitului. În acest sens, cunoscind procentul în anortit la feldspați care variază între 35 și 48%, an eea ce corespunde unui andezit, înseamnă că procentul în  $\text{Al}_2\text{O}_3$  variază între 21 și 28%  $\text{Al}_2\text{O}_3$ . Soluțiile hidrotermale indiferent de pH-ul lor inițial, afectând plagioclazii cu compoziția indicată, devin neutre. În cazul formării sericitului din soluții neutre, conform diagramelor menționate, acesta s-a depus într-un interval aproximativ de  $320^\circ\text{C} - 410^\circ\text{C}$ .

Fenomenele de carbonatare, cu care se încheie suita acțiunii hidrotermale asupra rocilor, a avut ca rezultat depunerea carbonațiilor (calcit, etc.) care mulează celelalte minerale de neoformare din roci (epidot, cuart, etc.) la temperaturi cuprinse între  $250^\circ\text{C}$  și  $300^\circ\text{C}$ .

De asemenea trebuie menționat că atât hematitul cât și magnetitul, fie ca produs al activității vulcanogen-sedimentogene sau al acțiunii de contact, au suferit fenomene de muschetovitizare respectiv de martitizare. Aceste fenomene, după cum indică observațiile microscopice, sunt legate tot de aporturile hidrotermale care au generat mineralizația de polisulfuri.

#### D) Date geochimice

Pentru caracterizarea geochimică a rocilor metamorfice și a rocilor eruptive precum și a mineralizației din cadrul zăcămîntului polimetalic de la Ruschița s-au determinat conținuturile de Fe, Mn, Cu, Zn, Pb, Co, Ni.

De asemenea unde a fost posibil s-au determinat unele microelemente și pe probe monominerale, din mineralizația din volburi și filoane, în scopul de a se vedea cum se comportă chimismul mineralelor din zăcămîntul Ruschița comparativ cu cele din alte zăcămînte hidrotermale.

**I. Chimismul rocilor.** Din mai multe profile cercetate reținem atenția asupra unui profil de la orizontul 742 referitor la distribuția Fe și Mn.

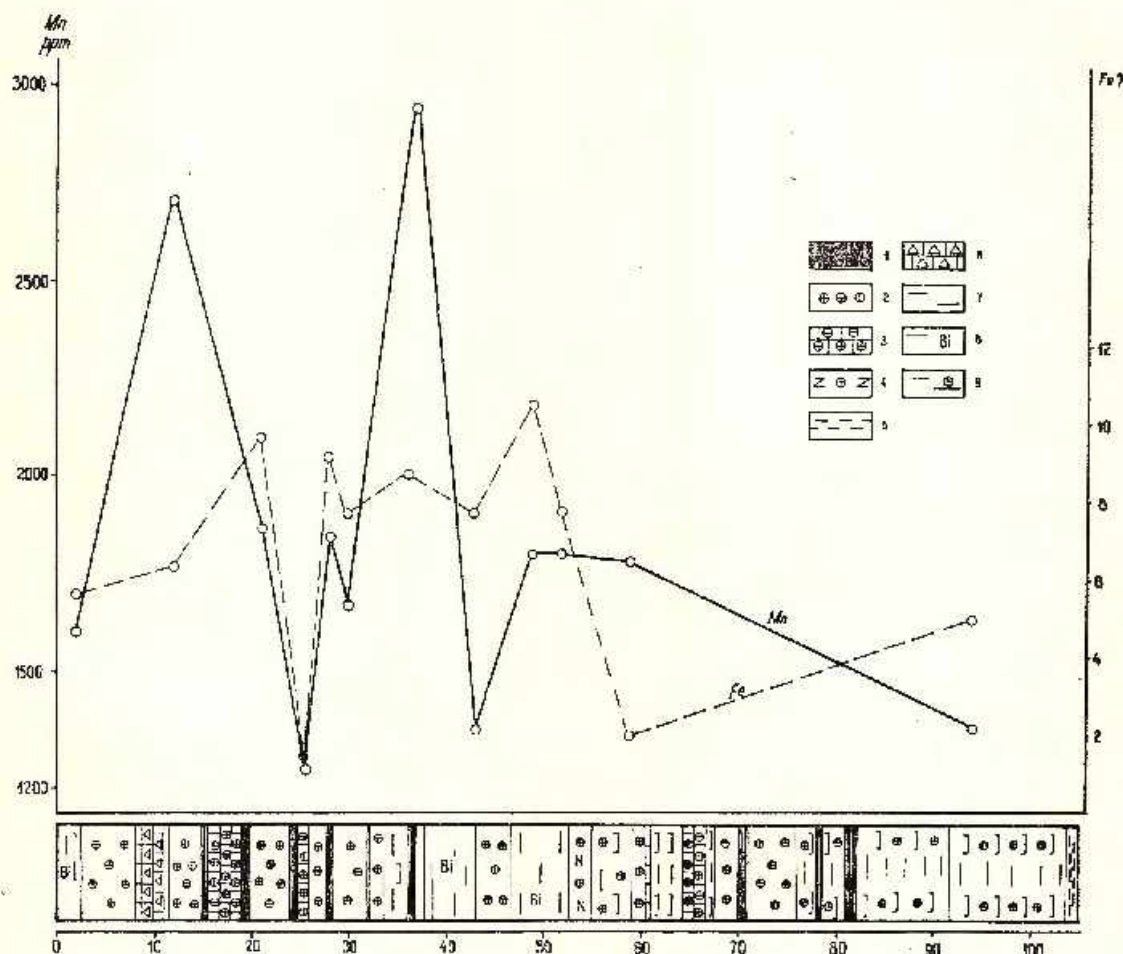


Fig. 7. — Distribuție Fe și Mn în sisturi cristaline alterate, după profilul unui foraj orizontal 742 de la Rusciță.

1, mineralizare; 2, pseudoskarn; 3, calecar skarnificat; 4, sisturi epidotizate; 5, amfibolite; 6, calecar brecciat; 7, sisturi clorito-sericitice; 8, sisturi clorito-biotitice; 9, sisturi cloritice skarnificate.

Distribution du Fe et du Mn dans les schistes cristallins altérés suivant la coupe d'un forage effectué dans l'horizon 742 de Rusciță.

1, minéralisation; 2, pseudoskarn; 3, calcaire skarnifié; 4, schistes épidoctisés; 5, amphibolites; 6, calcaire brécciat; 7, schistes chlorito-séricitiques; 8, schistes chlorito-biotitiques; 9, schistes chloritiques skarnifiés.

În cazul Fe și Mn se evidențiază o corelație, în sensul că odată cu creșterea conținutului unuiu crește și conținutul celuilalt (fig. 7). Această creștere este în funcție de natura petrografică și mineralologică a rocii. Valorile cele mai ridicate în Mn se observă în rocile metamorfice intens epidotizate (epidotite) iar cele mai mici, în calcare.

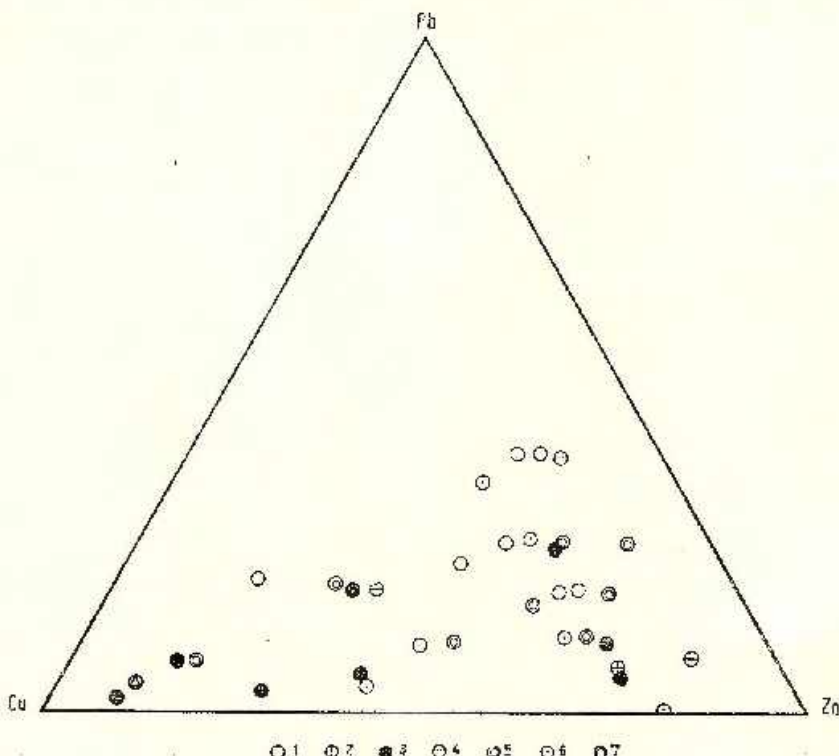


Fig. 8. — Cimpul de distribuție al raportului Cu : Pb : Zn pentru rocile metamorfice și eruptive în care se află mineralizația polymetalică de la Ruschița.

1, antezit; 2, lamprofir; 3, pseudoskarn; 4, epidotit; 5, roch de contact; 6, schist ektorit; 7, eclogit cu epidot.

Domaine de distribution du rapport Cu : Pb : Zn pour les roches métamorphiques et éruptives dans lesquelles est cantonnée la minéralisation polymétallique de Ruschița.

1, antezite ; 2, lamprophyre ; 3, pseudoscarne ; 4, epidotite ; 5, roche de contact ; 6, schiste ektoriteux ; 7, eclogite à epidote.

Concentrația mare în mangan poate fi pusă — după indicațiile date de Savul și Movileanu 1958 — pe seama relației cristalochimice între  $Mn^{2+}$  și  $Fe^{2+}$  a mineralelor componente. Dacă luăm în considerare faptul că, în șisturile cristaline puternic epidotizate, se găsesc minerale din grupa epidotului, este posibil ca valoarea ridicată a conținutului de mangan să fie datorată unui termen manganifer din această grupă.

Cu privire la distribuția Cu : Zn : Pb din rocile cristalofiliene și din rocile eruptive se observă că raportul acestor microelemente variază mai mult de-a lungul laturii Cu—Zn (fig. 8).

**2. Chimismul mineralizației.** Probele analizate provin de la diferite nivele și de la mai multe zone de disseminație și lentile de minereu, concordanțe cu șistozitatea rocilor.

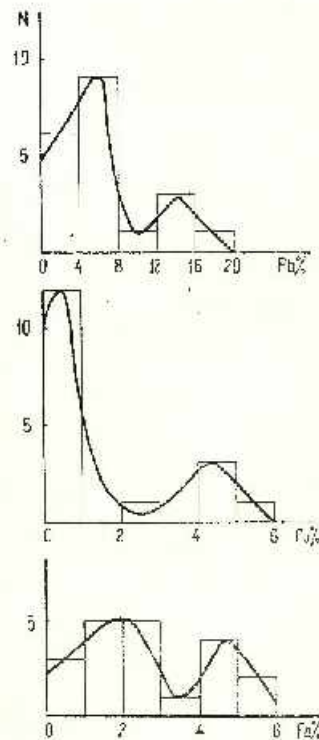


Fig. 9. ... Histogrammele conținuturilor în Fe, Cu, Pb din mineralizația polimetalică sub formă de lentile și zone de disseminare în schisturi.

Histogrammes des teneurs en Fe, Cu, Pb de la minéralisation polymétallique qui apparaît sous forme de lentilles et de zones disséminées dans les schistes.

Conținuturile în Fe, Cu, Pb, sunt reprezentate sub formă de histogramme în fig. 9.

Dacă se compară histogrammele pentru conținuturile acestor elemente se constată o analogie în distribuția lor.

Pentru Fe, Cu și Pb, histogrammele indică o interferență a două maxime bine distințe. Aceasta arată că mineralizația polimetalică din len-

tile strate și zone de diseminatie posedă aceleasi caractere geochemice și aparțin aceluiași ciclu genetic probabil de natură vulcanogen-sedimentogenă.

Asociația intimă a galenei și calcopiritei, după cum indică observațiile mineralogice, arată că între aceste minerale există o parageneză caracteristică. Aceste observații sunt în deplină concordanță, după cum rezultă din fig. 9, și în distribuția Fe, Cu, Pb, din mineralizația studiată.

**3. Chimismul unor minerale.** Pentru obținerea unor criterii suplimentare referitor la caracterizarea geochemicală a mineralizației s-au luat în studiu și unele minerale (galenă și blonda).

**Galenă.** Datele asupra conținuturilor în Ag, Bi, Sb și Cd, în galena din volburi și filoane de la diferite nivele din zăcămîntul Ruschița, comparativ cu ale galenei din alte zăcămînte hidrotermale sunt trecute în tabelul 4. Într-o lucrare anterioară — Pomărleanu et al. (1971) — au pus în evidență o corelație între conținutul de Ag și Bi din galenă. Datele din tabelul 4 au servit la construirea diagramei din fig. 10.

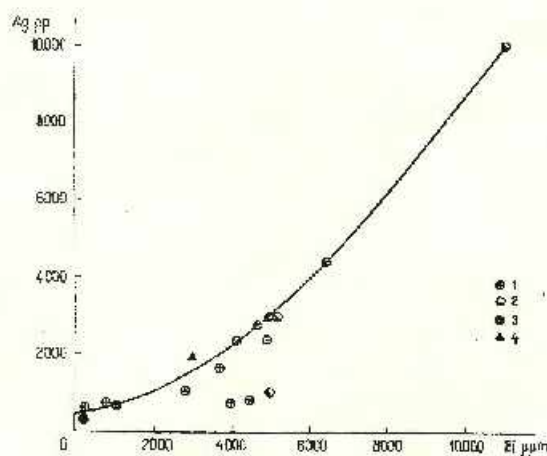


Fig. 10. — Corelația dintre conținutul de Ag și Bi din galenă,  
1. Ruschita; 2. Varatic; 3. Cornwall; 4.  
Rio Tinto.

Corrélation entre la teneur en argent  
et bismuth dans la galène.  
1. Ruschita; 2. Varatic; 3. Cornwall;  
4. Rio Tinto.

Luind în considerare, după cum indică observațiile microscopice, că galena de la Ruschița însoteste parogenezele de minerale tînpuș și cele tardive și ținând cont de datele geotermometrice ale acestor parogeneze se constată că acest mineral se caracterizează printr-o perioadă lungă de

TABELUL 4

*Distribuția Ag, Bi, Sb, Cd, în galenă de la Ruschița comparativ cu alte zăcăminte hidrotermale.*

Zăcămînt	Orizontul	Proba	Compoziția ppm			
			Ag	Bi	Sb	Cd
Ruschița	742	40	16.00	3.700	100	800
		1.332	22.00	4.900	100	157
		658	350	2.140	100	210
	614	1.337	630	4.000	100	250
		1.335	920	1.800	100	70
		15	2.440*	4.074	..	n.d.
	574	724*	845	103	..	..
		574	8.200	4.500	100	210
		1.058	3.000	5.000	1.900	110
Văratic	0	1.060	3.000	5.200	880	120
		1.100	2.800	4.700	900	120
		1.125	4.400	6.800	700	110
	-125	1.055	1.000	5.000	1.900	900
	-175	1.066	10.000	11.000	280	120
Rio Tinto** (Spania)			2.000	3.000	500	..
Liskeard ** (Cornwall)			300	150	400	..
Wheal Mary Consols** (Cornwall)			700	1.000	200	..

\* D. Giușcă, Ernestina Volanschi (1968); \*\* E. M. E. Shazly, J. S. Webb, D. Williams (1956).

cristalizare într-un interval de temperatură cuprins între 250°C și 370°C. Această constatare confirmă presupunerile lui Schroll (1955), potrivit căroro conținuturi ridicate în Ag și Bi sunt specifice galenei de temperatură ridicată.

Este posibil ca argintul și bismutul să se găsească în galenă sub formă de matildit ca dezamestec al soluției solide  $(Ag, Bi)_2S_2 - PbS$ .



Dacă admitem prezența matilditului, trebuie să ne așteptăm la modificarea cubică a acestui mineral specifică unei temperaturi mai ridicate de  $225^{\circ}\text{C}$ , fapt care se confirmă prin datele geotermometrice.

*Blenda.* S-a văzut că Ag, Bi, Sb, au o afinitate mai mare pentru galenă, în timp ce Fe, Mn și Cd pentru blendă. În tabelul 5 sunt date cîteva analize pentru blenda de la Ruschița comparativ cu o blendă de la Cavnic.

Blenda de la Ruschița din punct de vedere cristalografic prezintă aceleași forme dar este mai deschisă la culoare. Sub aspect geochimic se deosebește însă, printr-un conținut relativ mic de fier și mangan și un conținut mult mai ridicat în cadmiu și cobalt (tab. 5). Ca o particularitate

TAHTELUL 5  
*Distribuția unor elemente din blenda de la Ruschița comparativ cu cea de la Cavnic*

Zăcămîntul	Orizontul	Localizare	nr. probei	Conținutul				Co
				%	ppm	Fe	Mn	
Ruschița	614	Z.I.61.	1335	1,50	450	n.d.	n.d.	340
	614 <sup>1</sup>	Volv. 3	37	n.d.	497	7 000	580	590
	702 <sup>1</sup>	Volv. 1	1	n.d.	832	4 900		
Cavnic	-100 <sup>2</sup>	Cristofor	779	3,99	1 500	1 300		
		Kelemen	708	1,90	2 700	1 700		
		Iosif	799	1,99	5 930	1 400		

<sup>1</sup> D. Giușcă, Ernestina Volanschi (1968); <sup>2</sup> V. Pomărleanu et al. (1968).

a blendei de la Ruschița se poate menționa că cea din volburi are un conținut mai ridicat în cobalt (580-590 ppm Co) iar cea filoniană un conținut mai mic 340 ppm Co).

Conținutul de cobalt relativ ridicat este posibil să fie datorat substituției zincului și nu unor minerale bogate în cupru care se găsesc ca incluziuni în blendă (Schalzly et al. 1956-1957).

În cazul blendei de la Ruschița, dacă se ia în considerare conținutul în cobalt (tab. 5) și datele geotermometrice (tab. 3) observăm că se confirmă indicațiile lui Fleischer (1955) Giușcă și Volanschi (1968), potrivit cărora, blenda cu conținutul ridicat în cobalt s-a format din soluții hidrotermale la temperatură înaltă.

### E) Concluzii

Observațiile în subteran și cele microscopice arată că aspectul complex și variat al rocilor cristalofiliene se datoră existenței unor variații mari în natura rocilor efusivo-sedimentogene inițiale precum și acțiunii succesive ale mai multor tipuri de metamorfism.

Soluțiile care au înlesnit alterarea rocilor sunt specifice nu numai acțiunii hidrotermale și efectelor de contact ei și acțiunii pneumatolitice. Ultima acțiune este controlată și de prezența inclusiunilor preponderent gazoase în cristalele de cuart ale rocilor metamorfice și eruptive.

Dyke-urile de andezite și dacite precum și filoanele de lamprofire, din cadrul perimetruului sunt diferențiatele unui corp magmatic banatice de profunzime.

Minralele de neoformare din roci, s-au format în cea mai mare parte, sub acțiunea soluțiilor hidrotermale în următoarele condiții de temperatură: epidotul între  $390^{\circ}\text{C}$  și  $412^{\circ}\text{C}$ , cloritul într-un interval mai larg în jurul lui  $400^{\circ}\text{C}$ , sericitul între  $320^{\circ}$  și  $410^{\circ}\text{C}$  iar calcitul între  $250^{\circ}\text{C}$  și  $300^{\circ}\text{C}$ .

Minralele din volburi și filoane s-au depus între  $412^{\circ}\text{C}$  și  $250^{\circ}\text{C}$ . După punerea în loc, mineralizația a mai fost afectată de soluții hidrotermale care au cicatrizarat fisurile din cristalele unor minerale la temperaturi între  $200^{\circ}\text{C}$  și  $120^{\circ}\text{C}$ , fapt constatat prin studiul inclusiunilor fluide secundare din cuart, blendă, calcit, etc.

Temperaturile mai ridicate în cuartul II din filoane, s-ar putea să fie datorate unor fenomene de recurență.

Ceroetările geochimice arată că raportul pentru plumb este mai mare în andezite și mai mic în rocile seriei cristalofiliene.

Distribuția Ag și Bi în galena din volburi și filioane arată o corelație între aceste elemente. Conținuturile ridicate în Ag și Bi sunt atribuite prezenței matilditului ca dezamestec al soluției solide  $(\text{Ag}, \text{Bi})_2\text{S}_2 - \text{PbS}$ . Dacă admitem prezența matilditului în galenă, trebuie să ne așteptăm la modificarea cubică de temperatură superioară lui  $225^{\circ}\text{C}$ , fapt ce se confirmă prin datele geotermometrice obținute.

În cazul blendei de la Ruschița, dacă se ia în considerare conținutul în cobalt (tab. 5) și rezultatele geotermometrice (tab. 3) observăm că se confirmă presupunerile din literatură privind cărora, blenda cu conținut ridicat în cobalt s-a format la temperaturi ridicate.

Histogramele pentru conținuturile de fier, cupru și plumb din mineralizarea stratiformă și microcristalată sunt analoge și se caracterizează prin interferența a două maxime bine distințe. Aceasta arată că mineralizarea

respectivă posedă aceeași caracter geochimic și aparține acelaiași cielu genetic de natură vulcanogen-sedimentogenă.

Relațiile dintre corporile de minereu, rocile seriei cristalofiliene și rocile eruptive banatitice precum și observațiile asupra texturilor și strukturilor mineralizației arată că o parte din mineralizația de sulfuri polimetaleice aparține unei metalogeneze premetamorfice și altă parte unei metalogeneze postmetamorfice.

Distribuția stratiformă a agregatelor granulare de blendă, galenă și calecopirită de-a lungul șistozitatii rocilor metamorfice microcuteate, arată că această mineralizație aparține unei metalogeneze premetamorfice.

Prezența structurilor de coroziune în mineralizația polimetalică vulcanogen-sedimentogenă, metamorfozată regional, arată că această mineralizație a fost supusă acțiunii soluțiilor hidrotermale care au dus la modificarea aspectelor structurale inițiale, dind naștere la structuri caracteristice acțiunii hidrotermale.

În alte părți ale zăcământului, unde mineralizația apare sub formă de volburi și filoane și se caracterizează prin texturi brecioase și în benzi paralele este caracteristică numai acțiunii hidrotermale.

#### BIBLIOGRAFIE

- Codarcea A., Pavelescu L. (1964) Cercetări geologice în reg. Ruschița. *D.S. Com. Geol.* XXXVIII, 13-17, București.
- Fleischer M. (1955) Minor elements in some sulfide minerals. *Econ. Geol. Fifteenth Ann.*, II, 970-1024, Urbana (Illinois).
- Folk R. L. (1947) The alteration of feldspar and its products as studied in the laboratory. *Amer. Jour. Sci.* 245, 388-394, Connecticut.
- Giugea D., Bîlciu M., Bădulescu D., Stiopol Victoria, Dimitrescu R. (1956) Studiu petrografic al Masivului Poiana Rusca de Sud-Vest. *D.S. Com. Geol.* XL (1952-1953), 98-111, București.
- Voianachi Ernestina (1968) Contribuții la studiul geochimic al zăcământului de sulfuri polimetaleice de la Ruschița. *Stud. cerc. geol., geogr., geof., ser. geol.*, 13, 33-42, București.
- Heller W. (1966) Minerals of the epidote group from Jordánów and Sobótka (Lower Silesia). *Bul. Acad. Pol. ser. geol.* XIX, 3, 131-135, Warszawa.
- Kräutner H. (1964) Privire generală asupra metalogenezei din masivul Poiana Rusca. *Stud. cerc. geol., geogr., geof. ser. geol.*, 9, 1, 101-124, București.
- Miazi N. I., Koltun I. I. (1960) Vkljucenja mineraloobrazujuščih rastvorov v epidote. *Min. Sbornik, Lovv. Un-ta.*, 14, 325-327, Lvov.
- Pavelescu L. (1958) Geologia și petrografia regiunii Ruschița. *An. Com. Geol.* XXXI, 295-375, București.

- Maier O., Kräutner H., Kräutner Florentina, Mureșan M. (1964) Structura și stratigrafia șisturilor cristaline din regiunea Ruschița (Poiana Ilusă). *An. Com. Geol.* XXXIV, I, 115—147, București.
- Pomărleanu V., Movileanu Aurelia, Bonea L., Mihálka S. (1968) Sfalerit iz hidrotermalnogo mestorojdenija Capnic (Baia Mare), *Geochimia*, 9, 1087—1106, Moscova.
- (1971) Geotermometria și aplicarea ei la unele minerale din România. Ed. Acad. R.S.R., București.
- Movileanu Aurelia, Mihálka S. (1972) Beitrag zum Studium der hydrothermalen Erzlagerstätte Văratic (Baia Mare). *Chemie der Erde*, 31, Jena.
- Ramberg H. (1949) The facies classification of rocks: A clue to the origin of quartzofeldspathic massifs and veins. *Journ. Geol.*, 59, 18—54, Chicago.
- Savul M., Movileanu Aurelia (1958) Manganul, cuprul, zincul și plumbul, ca elemente minore în șisturile cristaline din Carpații orientali. *Stud. cerc. șt. chimice*, IX, 2, 229—250, București.
- Schroll E. (1955) Über das Vorkommen einiger Spurenlemente in Blei-Zink-Erzten der ostalpinen Metallprovinz. *Min. Petr. Mitt. (Tschermak)* 5, 183—208, Wien.
- Shazly E. M., Webb J. S., Williams D. (1956—57) Trace elements in sphalerite, galena and associated minerals from the British Isles. *Transaction of Institution of Mining and Metallurgy*, 66, 6, 241—271, London.
- Stringham B. (1952) Fields of formation of some common hydrothermal alteration minerals. *Econ. Geol.* 47, 661—684, Urbana (Illinois).
- Winkler H. G. F., Nitsch K. H. (1963) Bildung von Epidot. *Die Naturwissenschaften*, 50 Jahrg., 19, 612—613, Berlin.

## CONTRIBUTION À L'ÉTUDE DE LA MINÉRALISATION POLYMÉTALLIQUE DE RUSCHIȚA (MASSIF DE POIANA RUSCĂ)

(Résumé)

La minéralisation polymétallique de Ruschița est cantonnée dans des schistes cristallins. Les roches de la série cristallophylliennes sont recoupées transversalement par des dykes et par des filons de roches banatiques.

Les roches cristallophylliennes sont représentées par des différents types de schistes chloriteux, schistes sériciteux, calcaires cristallins, amphibolites etc.

Les dykes éruptifs sont constitués d'andésite et de dacites.

À maintes reprises les roches cristallophylliennes et éruptives ont été sujettes à des altérations hydrothermales provoquées par les solutions engendrées par un corps magmatique banatique dont la présence est présumée en profondeur. Les phénomènes d'altération hydrothermale des roches sont représentés par des transformations en: epidote, chlorite, silice séricite, kaolin, carbonate, pyrite etc.

Vu les associations avec les roches encalantes, les structures, les textures et la composition minéralogique la minéralisation, des sulfures polymétallique du gisement de Ruschița revient à deux métallogénèses: pré métamorphique et post métamorphique.

La minéralisation pré-métamorphique sous forme de zones disséminées, de couches et de lentilles concordantes, souvent microplissées ensemble avec la suite de roches métamorphiques d'origine volcanogène-sédimentaire, ayant subi le métamorphisme régional, a été affectée par les solutions hydrothermales produites par une intrusion banatique profonde. Les textures en couches microplissées de la minéralisation, la composition minéralogique, les structures de corrosion des minéraux etc. attestent le caractère pré-métamorphique de ces minéralisations.

La minéralisation post-métamorphique sous forme de stockwerks et de filons à textures brècheuses, parallèles et massives s'est constituée sous l'influence des solutions hydrothermales engendrées par une intrusion banatique.

Des distinctions frappantes entre les minéralisations pré-métamorphique et post-métamorphique sont observables aussi au point de vue de la composition minéralogique. La minéralisation volcanogène-sédimentaire affectée par le métamorphisme régional et sujette ensuite à l'action hydrothermale contient outre la blende, la galène et la chalcopyrite aussi, en abondance, de la pyrite, de la magnétite, et de la hématite. La mushkétoïtisation de la hématite et la martitisation de la magnétite tout comme la présence fréquente des structures de corrosion (fig. 4) dénotent que cette minéralisation a été affectée par les solutions hydrothermales engendrées par le magma banatique. Un argument supplémentaire de l'influence de l'action de ces solutions est la présence des fissures et des cavités remplies de cristaux de quartz et de calcite qui traversent la minéralisation stratifiée.

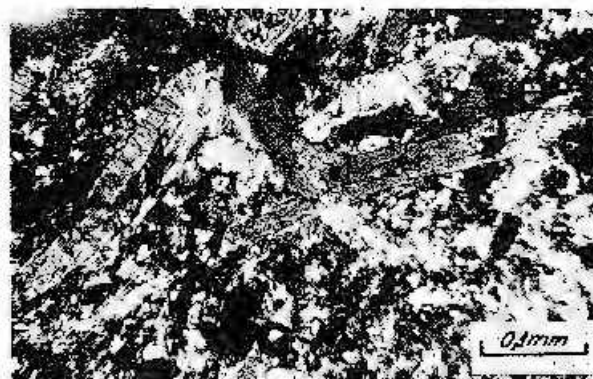
Les données géothermométriques indiquent que les minéraux de néoformation des roches se sont accumulés en conditions de température comme il suit : l'épidote entre 390°C et 412°C; le chlorite dans un plus large intervalle aux environs, de 400°C, le sérécite entre 320°C et 410°C et la calcite entre 250°C et 300°C.

Dans la minéralisation qui apparaît sous forme de stockwerks et de filon les minéraux se sont formés entre 250°C et 412°C. À des températures allant jusqu'à 120°C se sont déposées quelques variétés de calcite, de quartz etc.

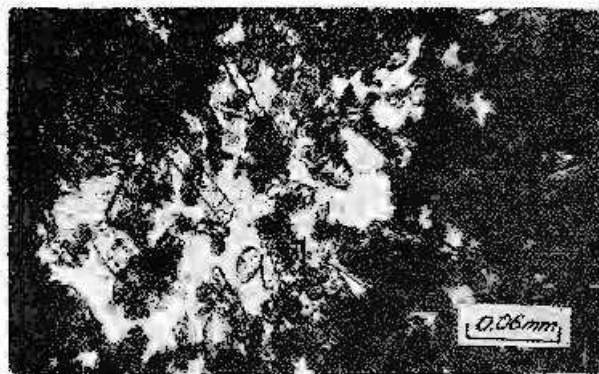
Les données géothermométriques sur la minéralisation filonienne nous portent à des corrélations entre la succession du dépôt des minéraux, le degré de remplissage des inclusions et la température d'homogénéisation (fig. 6). Les données géochimiques révèlent une corrélation entre la teneur en Ag et en Bi de la galène (fig. 10).

Les recherches géochimiques, microscopiques et géothermométriques confirment l'hypothèse suivant laquelle la blende à teneur élevée en cobalt s'est formée à des températures élevées. Les teneurs élevées en Ag et Bi de la galène doivent probablement être mises sur le compte de la présence du mathildite, notamment de la modification cubique de ce minéral inféré à une température supérieure à 225°C.

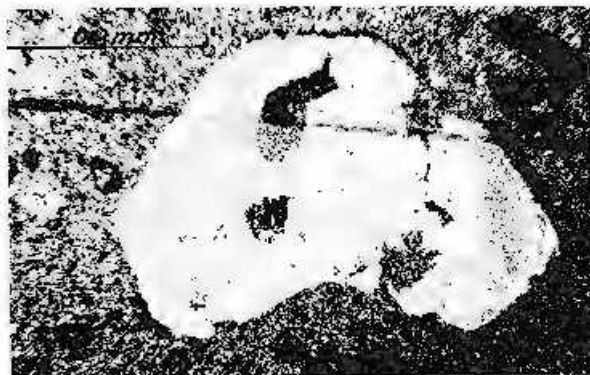
V. POMĂRLEANU et al. Mineralizația polimetalică de la Ruschița. Pl. I.



1



2



3

Institutul Geologic. Dări de seamă ale ședințelor, vol. LIX/2.



Institutul Geologic al României

## PLANŞA II

- Fig. 1. — Fenocristal de biotit complet chlorizat; marginal conține cristale externe de pirită.  
Phénocristal de biotite complètement chloritisé; vers la périphérie apparaissent des cristaux idiomorphes de pyrite.
- Fig. 2. — Incluziuni fluide primare înblendă filoniană de la Ruschita.  
Inclusions fluides pseudosecondaires dans la blendé filonienne de Ruschita.
- Fig. 3. — Incluziuni fluide primare în cuarțul filonian (Ruschita). Inclusiuni fluides pseudosecondaires dans le quartz filonien (Ruschita).

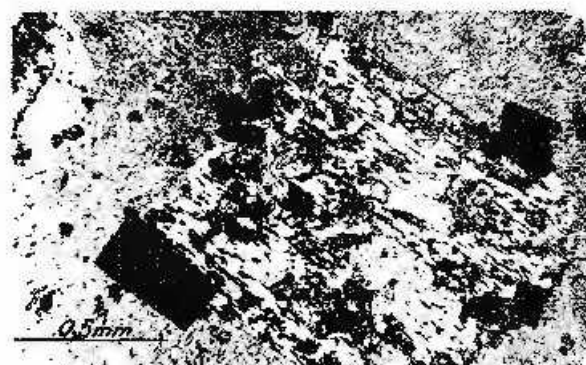


2



Institutul Geologic al României

V. POMĂRLEANU et al. Mineralizația polimetalică de la Ruschița. Pl. II.



1



2



3

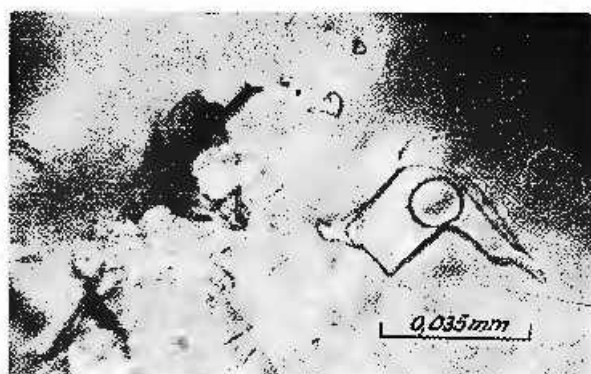
Institutul Geologic. Dări de seamă ale sedimentelor, vol. LIX/2.

### PLANŞA III

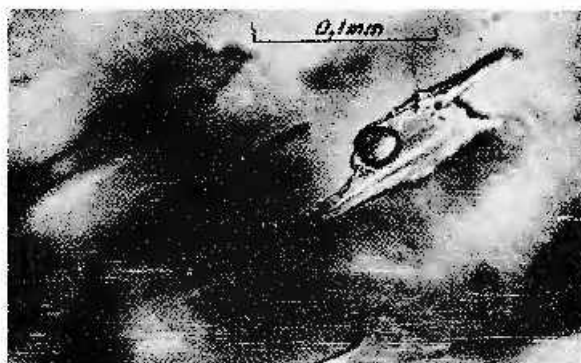
- Fig. 1. — Incluzuni fluide primare în cristalele de calcit. Inclusions fluides pseudosecondaires dans les cristaux de calceite.
- Fig. 2. — Incluzuni fluide secundare în cristalele de quart. Inclusions fluides secondaires dans les cristaux de quartz.
- Fig. 3. — Incluzuni fluide secundare în cristalele de calcit. Inclusions fluides secondaires dans les cristaux de calcite.



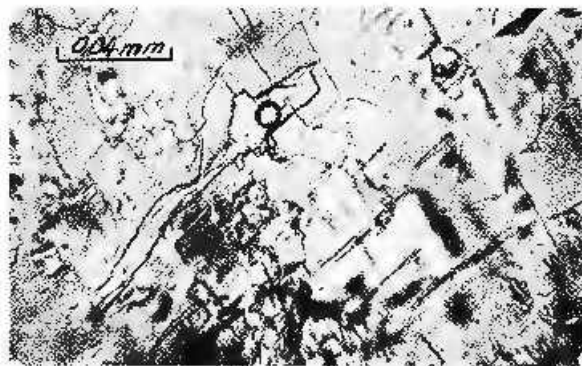
V. POMÂRLEANU et al. Mineralizația polimetalică de la Ruschița. Pl. III.



1



2



3

Institutul Geologic. Dări de seismă ale ședințelor, vol. LIX/2.

## CUPRINSU

### ZĂCĂMINTE

	<u>pag.</u>
1. Gurău A. Zonalitatea geochemicală a elementelor majore din zăcămintul de sulfuri polimetaleice și magnetit de la Altin Tepe (Dobrogea Centrală) . . . . .	5
2. Irtoșureanu L., Popescu Maria. Contribuții la cunoașterea minereazării de bor din zăcămintul de la Băisoara (muștii Apuseni) . . . . .	39
3. Panaite M., Bordea R., Bită I., Matsch Erika, Ilurezeanu E. Mineralizarea polimetalică de la Serind Răcălțele – muștii Vlădeasa . . . . .	63
4. Pieptea Vasilica, Ciornoi A., Weingartner R. Mineralizarea cu priseră de tip disseminat din corpul subvulcanic Suvorov (Moldova Nouă) . . . . .	65
5. Tomărleanu V., Movileanu Aurelia, Murariu T., Mihăilă S. Contribuții la studiul mineralizației polimetaleice de la Buschița . . . . .	81



## CONTENU (Résumés)

### GISEMENTS

	<u>PAGE.</u>
1. Gurău A. Zonalité géochimique des éléments majeurs du gisement à sulphures polymétalliques et à magnétite de Altin Tepe (Dobrogea Centrale) . . . . .	34
2. Intorsurcanu I., Popescu Maria. Contributions à la connaissance de la minéralisation de bore du gisement de Băișoara (Monts Apuseni) . . . . .	51
3. Panaite M., Bordea R., Bită I., Matsch Erika, Hurezeanu E. Minéralisation polymétallique de Scind-Răchițele . . . . .	62
4. Pieptea Vasilica, Ciornoi A., Weingärtner R. Minéralisation cuprifère de type disséminé dans le corps subvolcanique de Suvorov (Moldova Nouă)	70
5. Pomarileanu V., Movileanu Aurelia, Murariu T., Mihăilă S. Contributions à l'étude de la minéralisation polymétallique de Ruschița (Massif Poiana Rusă) . . . . .	103

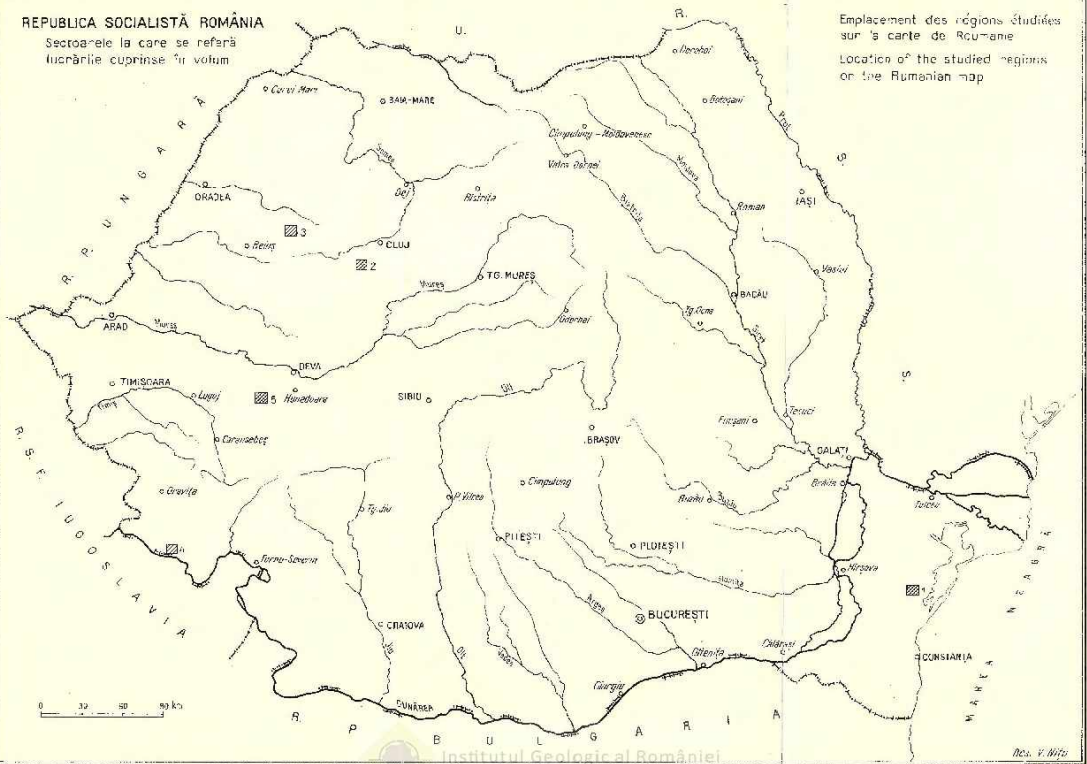




**REPUBLICA SOCIALISTĂ ROMÂNIA**

Sectorurile la care se referă  
lucrările cuprinse în volum

Emplacement des régions étudiées  
sur la carte de Roumanie  
Location of the studied regions  
on the Rumanian map



Redactori: MARGARETA PELTZ, OVIDIU RIVASAT  
Traduceri: MARGARETA HĂRJEU, MARIANA SAULEA, MARIA BORCOS  
Illustrații: VIRGIL NITU

---

Dat la caiet marile 1973. Eroi de luptă. Octombrie 1973. Tiraj: 1.000 exemplare,  
Birtelești /A. Format: 70 x 100/56 g. Coli de luptă: 7. Comanda: 528; Pentru  
bibliotecă indicată de clasificare: 55 (063)

---

Interprădarea poligrafică „Informația”, str. Brezoianu 23–25,  
București—România



Institutul Geologic al României





95486



Institutul Geologic al României

**Responsabilitatea asupra conținutului articolelor  
revine în exclusivitate autorilor**



Institutul Geologic al României

INSTITUT GÉOLOGIQUE

COMPTES RENDUS DES SÉANCES

TOME LIX

1972

2. GISEMENTS



Institutul Geologic al României